

11 Anhang

11.1 Abbildungen

11.1.1 30° IR-Reflexionsspektren

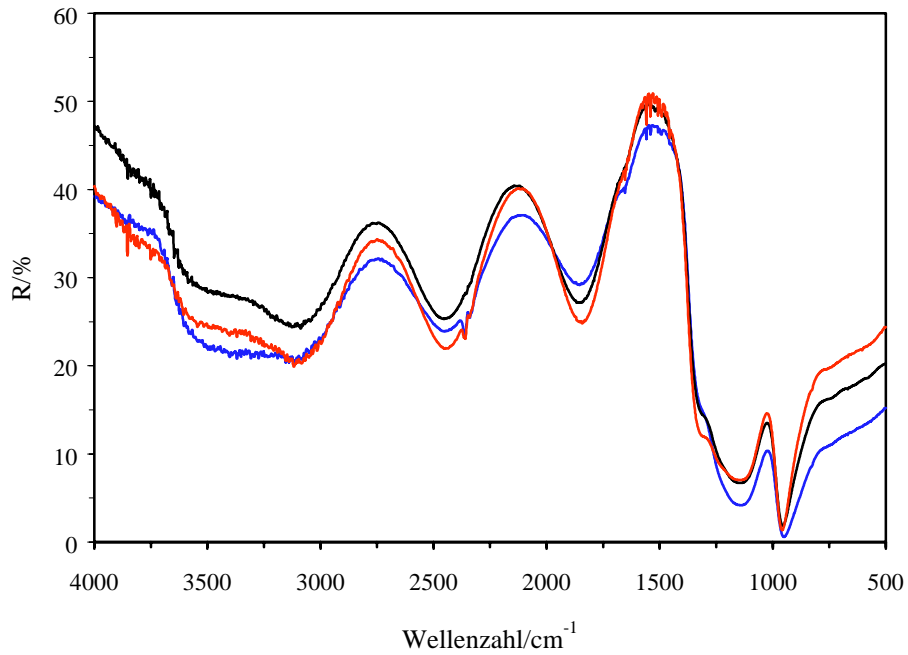


Abbildung 11-1: 30° IR-Reflexionsspektren der Probe Dün-1 (ohne Polarisator (schwarz), senkrecht (rot), parallel polarisiert (blau)).

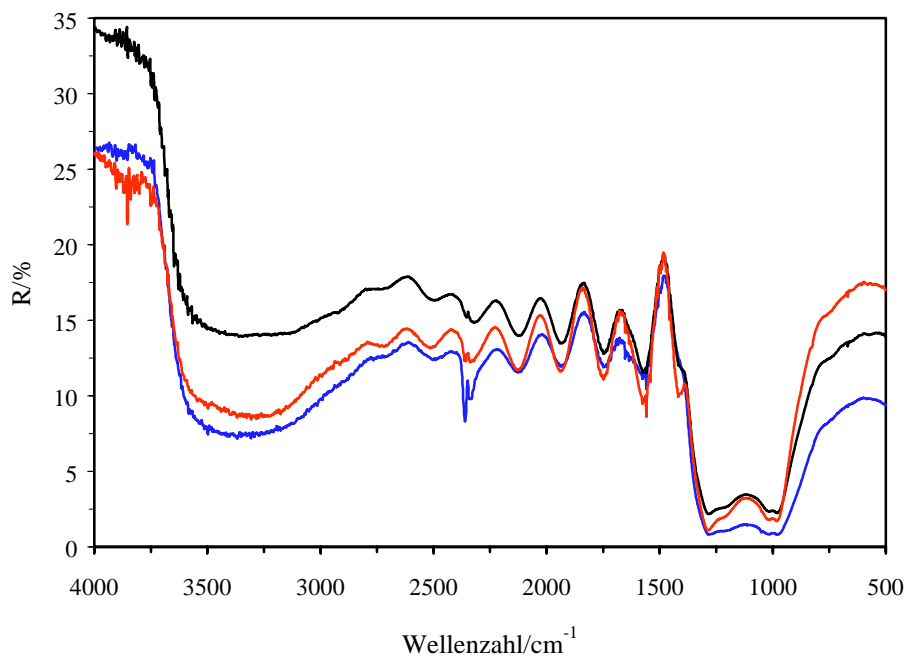


Abbildung 11-2: 30° IR-Reflexionsspektren der Probe GS-1 (ohne Polarisator (schwarz), senkrecht (rot), parallel polarisiert (blau)).

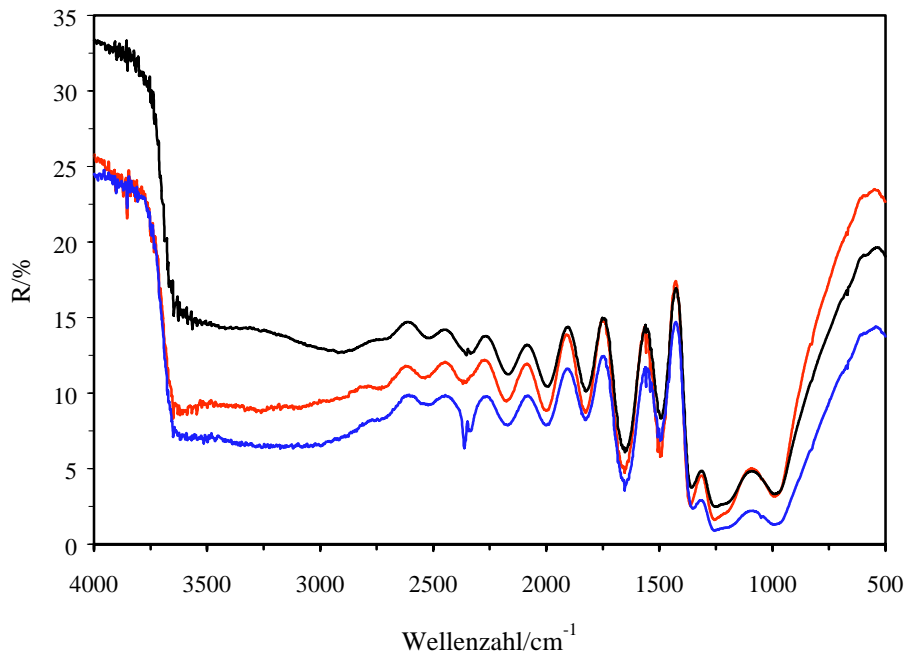


Abbildung 11-3: 30° IR-Reflexionsspektren der Probe GS-2 (ohne Polarisator (schwarz), senkrecht- (rot), parallel polarisiert (blau)).

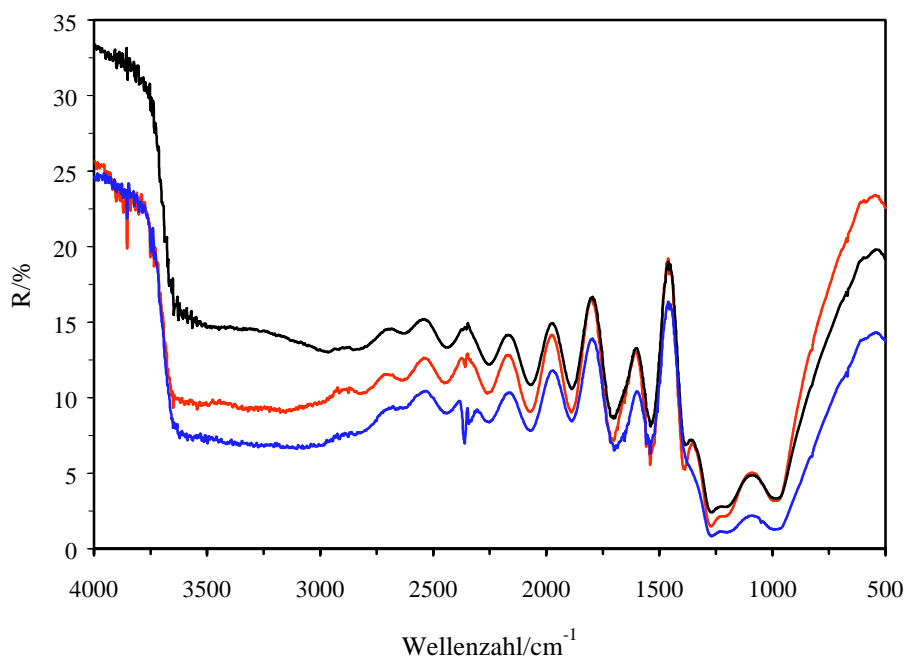


Abbildung 11-4: 30° IR-Reflexionsspektren der Probe GS-3 (ohne Polarisator (schwarz), senkrecht- (rot), parallel polarisiert (blau)).

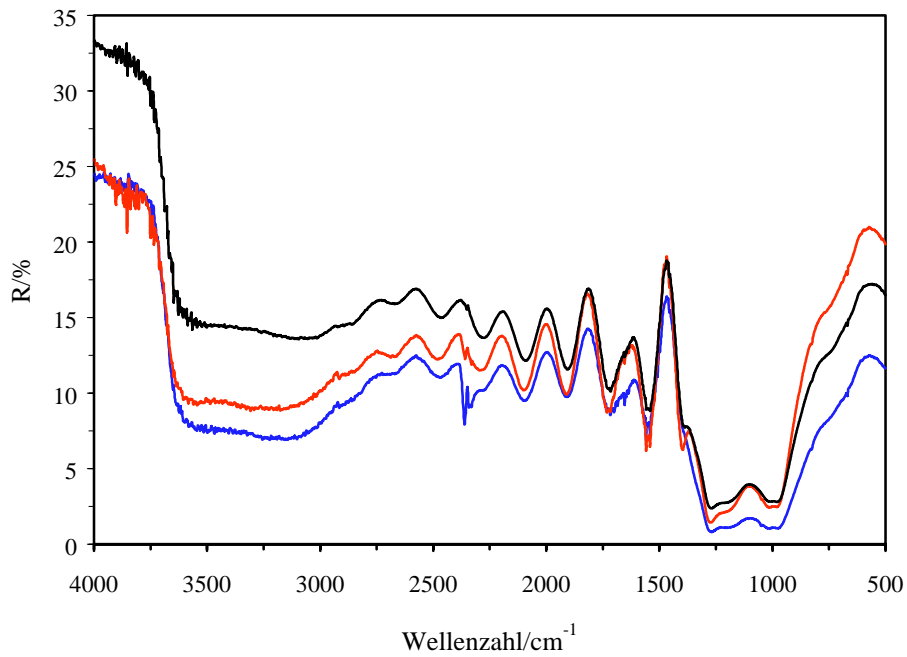


Abbildung 11-5: 30° IR-Reflexionsspektren der Probe GS-4 (ohne Polarisator (schwarz), senkrecht (rot), parallel polarisiert (blau)).

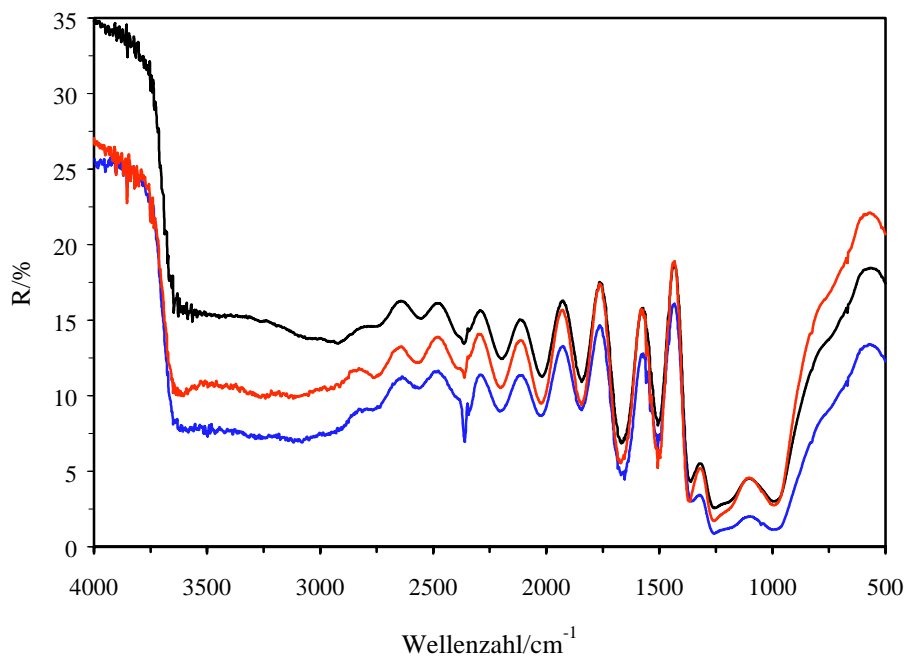


Abbildung 11-6: 30° IR-Reflexionsspektren der Probe GS-5 (ohne Polarisator (schwarz), senkrecht (rot), parallel polarisiert (blau)).

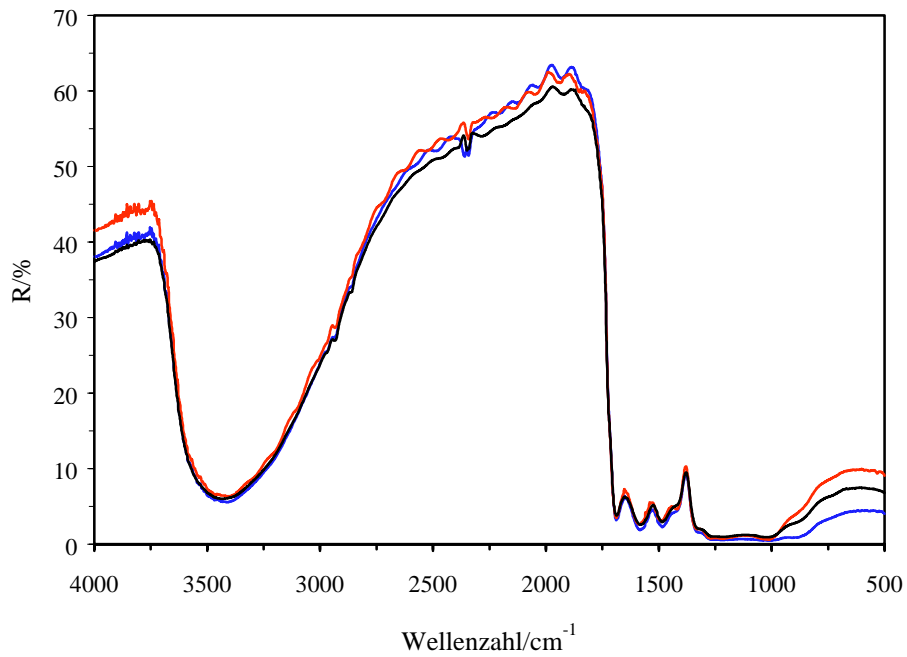


Abbildung 11-7: 30° IR-Reflexionsspektren der Probe Weiß-1 (ohne Polarisator (schwarz), senkrecht- (rot), parallel polarisiert (blau)).

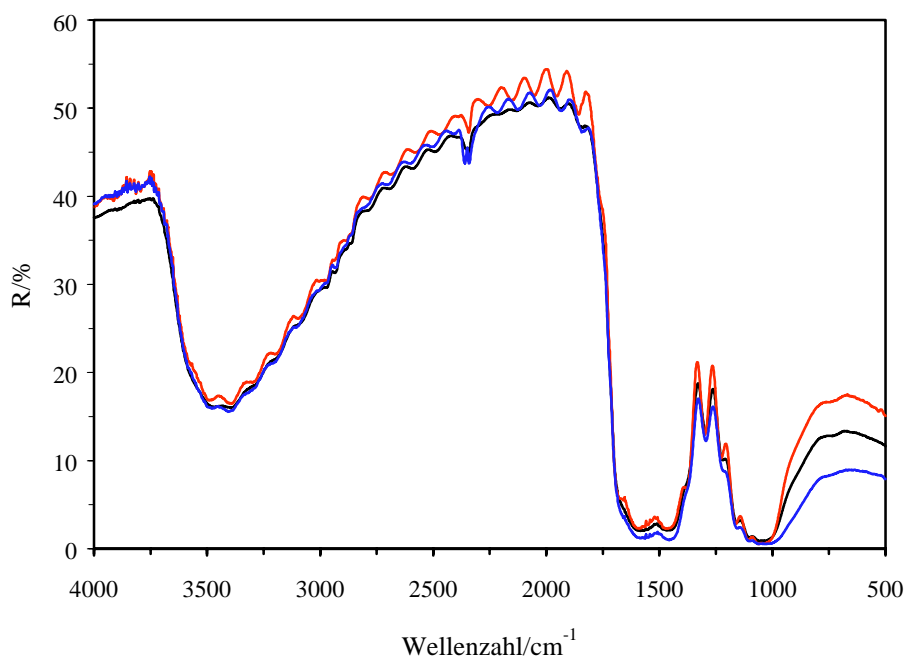


Abbildung 11-8: 30° IR-Reflexionsspektren der Probe Weiß-2 (ohne Polarisator (schwarz), senkrecht- (rot), parallel polarisiert (blau)).

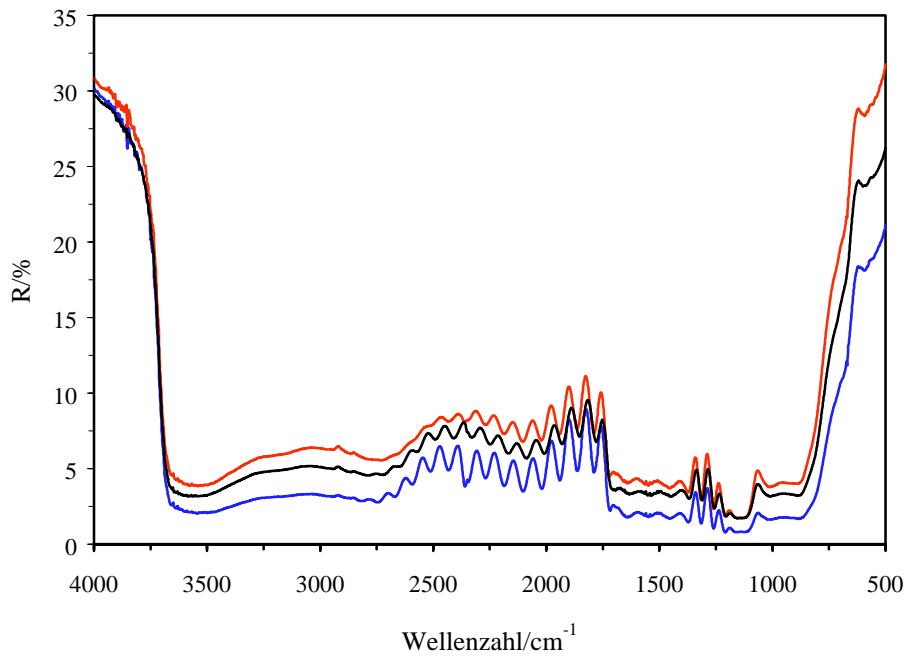


Abbildung 11-9: 30° IR-Reflexionsspektren der Probe Weiß-3 (ohne Polarisator (schwarz), senkrecht- (rot), parallel polarisiert (blau)).

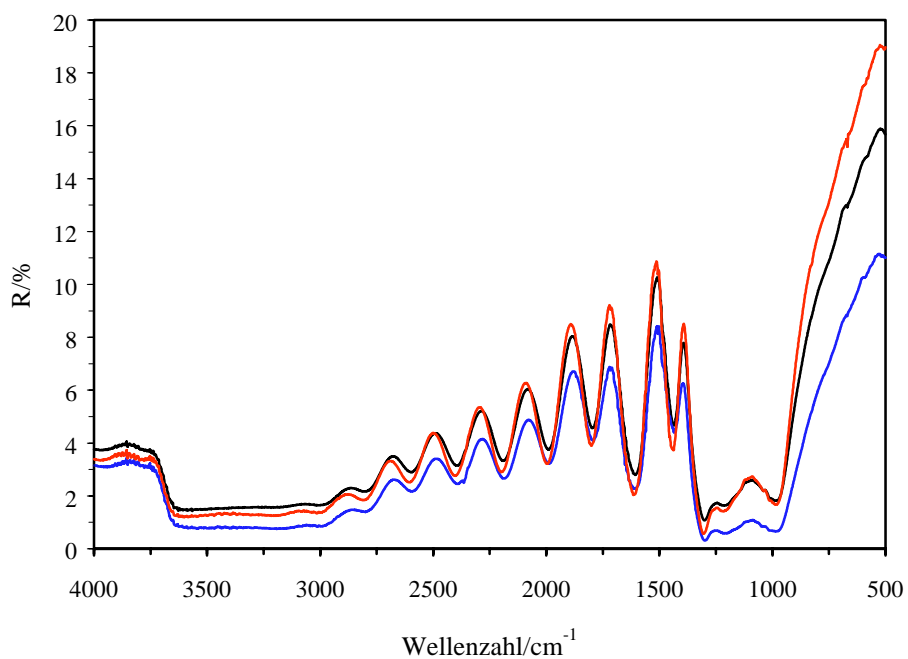


Abbildung 11-10: 30° IR-Reflexionsspektren der Probe Color-A (ohne Polarisator (schwarz), senkrecht- (rot), parallel polarisiert (blau)).

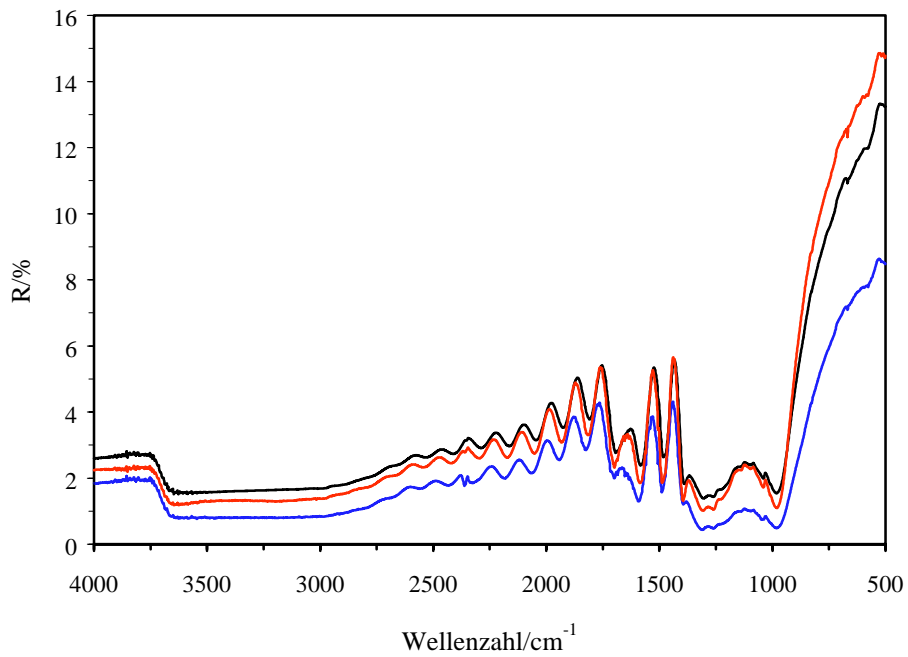


Abbildung 11-11: 30° IR-Reflexionsspektren der Probe Color-B (ohne Polarisator (schwarz), senkrecht- (rot), parallel polarisiert (blau)).

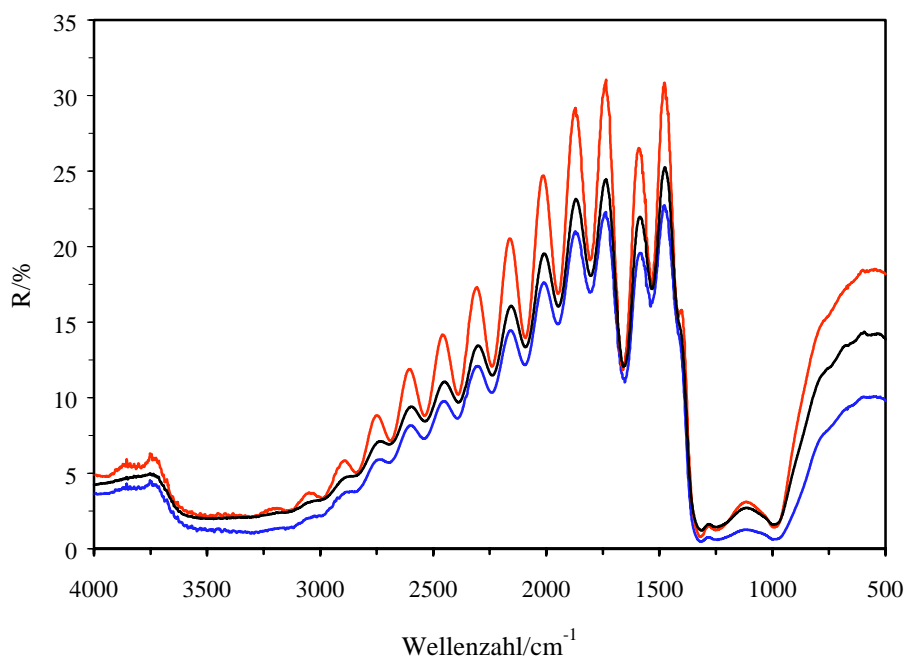


Abbildung 11-12: 30° IR-Reflexionsspektren der Probe Color-C (ohne Polarisator (schwarz), senkrecht- (rot), parallel polarisiert (blau)).

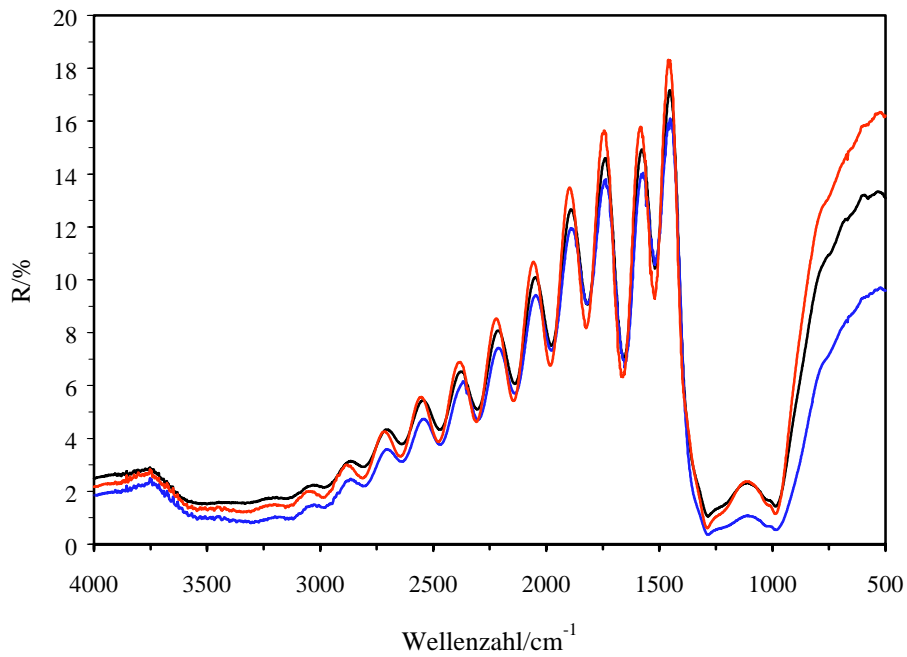


Abbildung 11-13: 30° IR-Reflexionsspektren der Probe Color-D (ohne Polarisator (schwarz), senkrecht- (rot), parallel polarisiert (blau)).

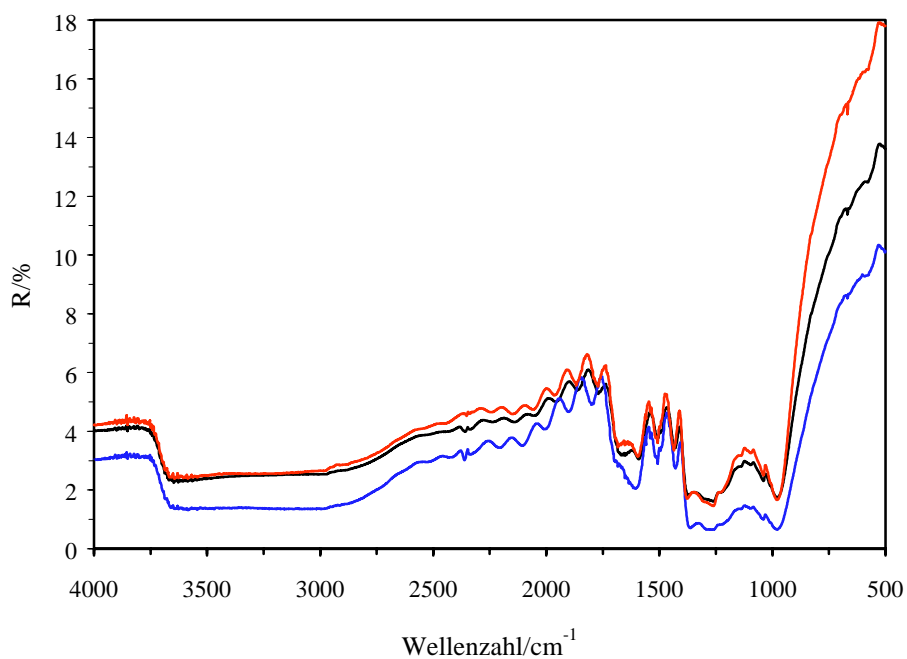


Abbildung 11-14: 30° IR-Reflexionsspektren der Probe Color-E (ohne Polarisator (schwarz), senkrecht- (rot), parallel polarisiert (blau)).

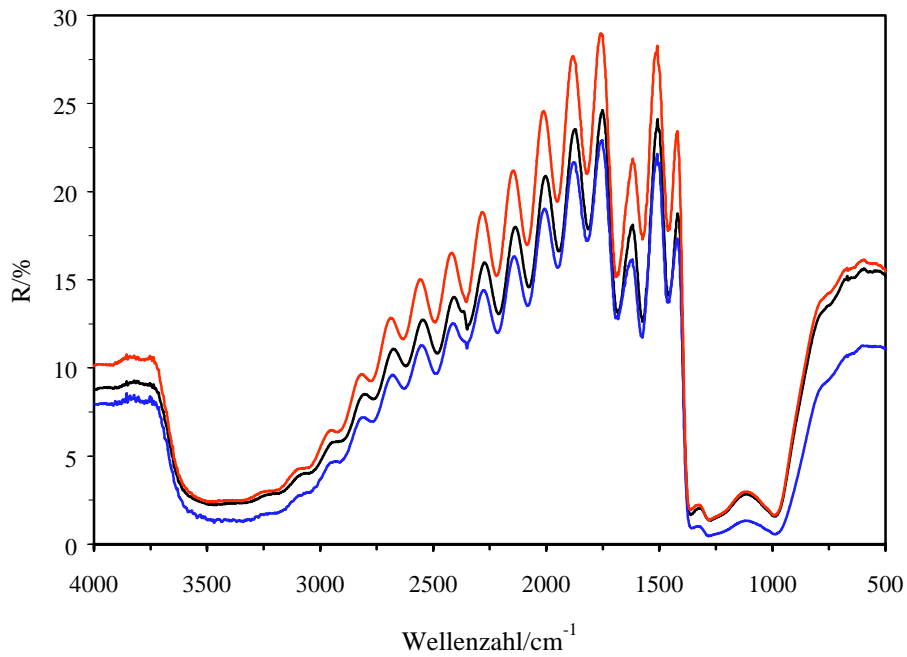


Abbildung 11-15: 30° IR-Reflexionsspektren der Probe Color-0 (ohne Polarisator (schwarz), senkrecht- (rot), parallel polarisiert (blau)).

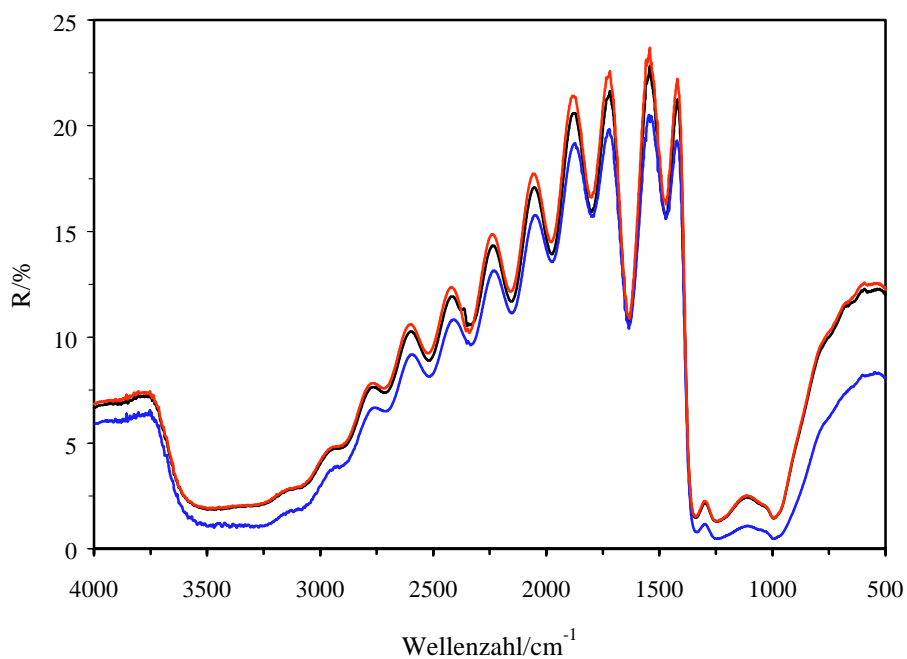


Abbildung 11-16: 30° IR-Reflexionsspektren der Probe Color-1 (ohne Polarisator (schwarz), senkrecht- (rot), parallel polarisiert (blau)).

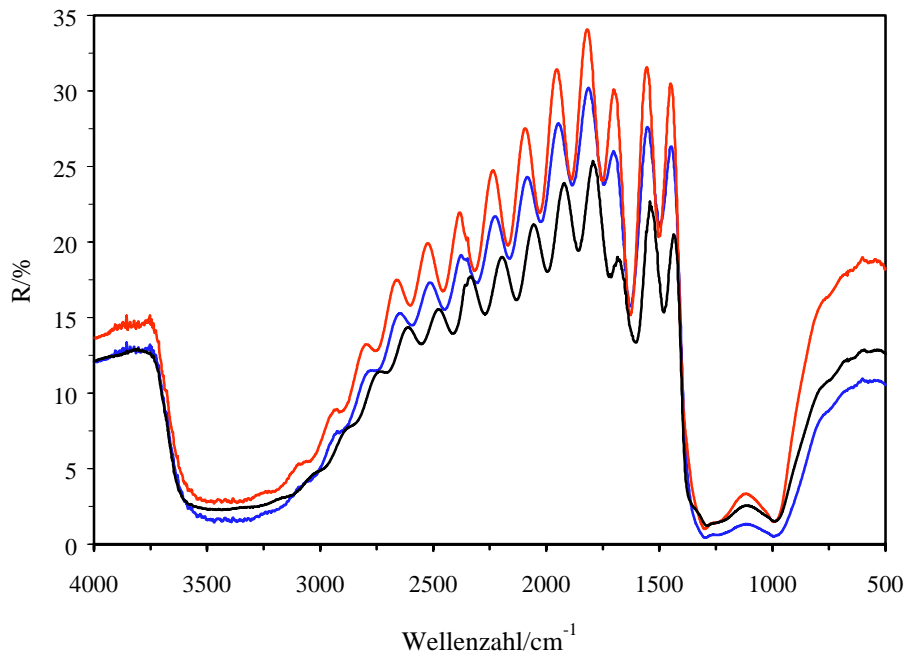


Abbildung 11-17: 30° IR-Reflexionsspektren der Probe Color-2 (ohne Polarisator (schwarz), senkrecht- (rot), parallel polarisiert (blau)).

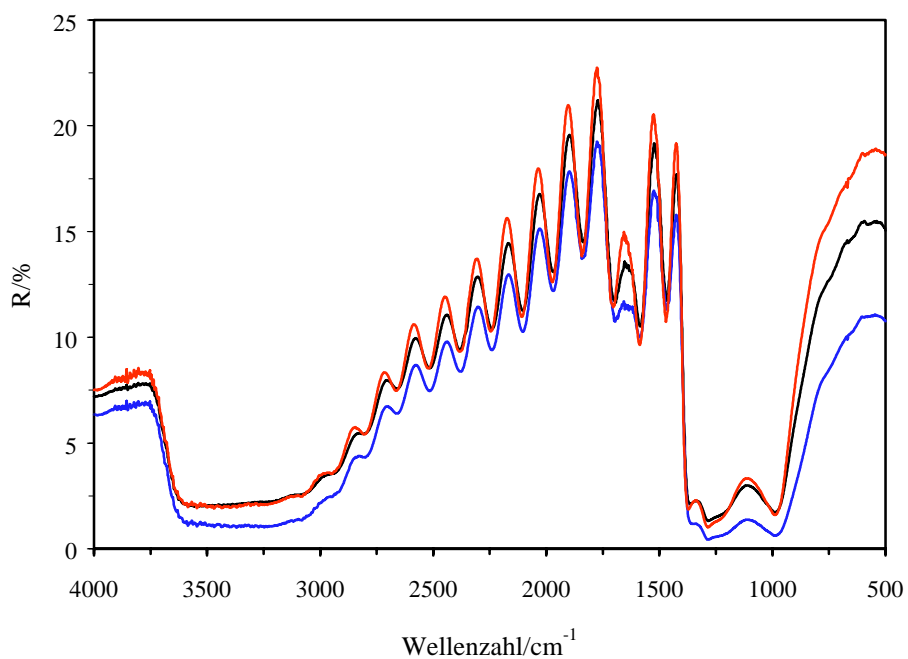


Abbildung 11-18: 30° IR-Reflexionsspektren der Probe Color-3 (ohne Polarisator (schwarz), senkrecht- (rot), parallel polarisiert (blau)).

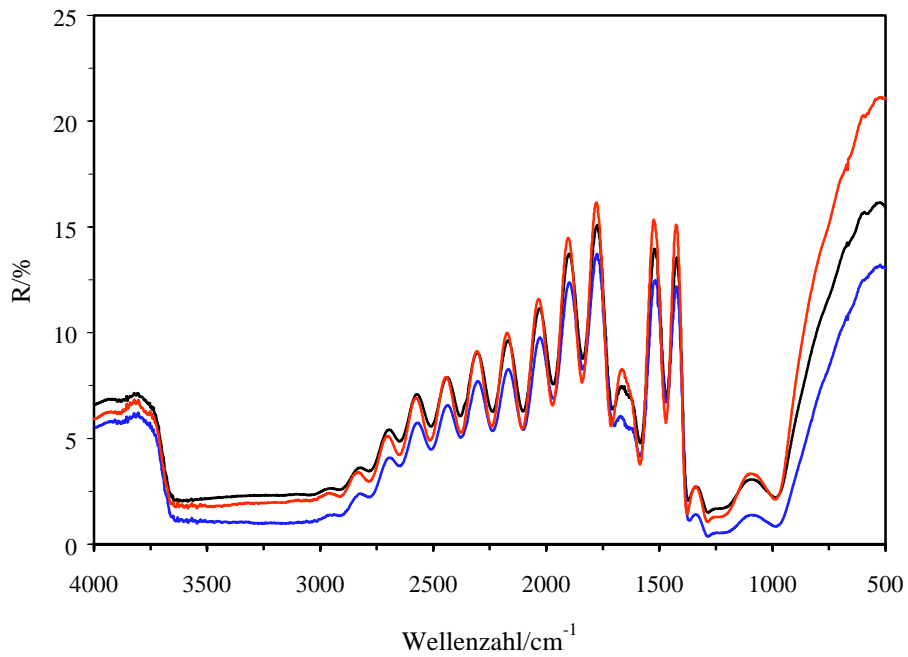


Abbildung 11-19: 30° IR-Reflexionsspektren der Probe Color-3v (ohne Polarisator (schwarz), senkrecht- (rot), parallel polarisiert (blau)).

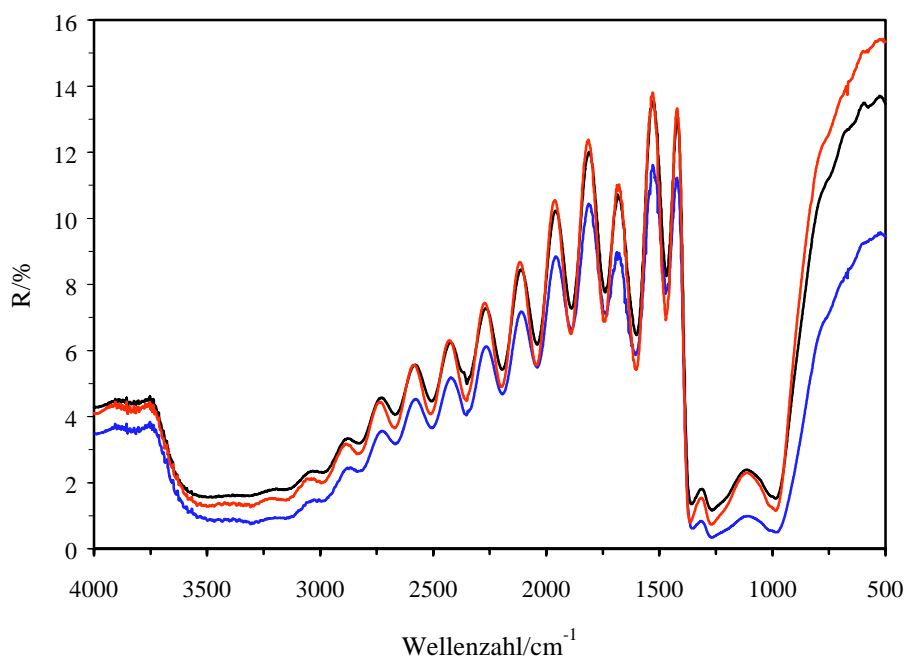


Abbildung 11-20: 30° IR-Reflexionsspektren der Probe Color-4 (ohne Polarisator (schwarz), senkrecht- (rot), parallel polarisiert (blau)).

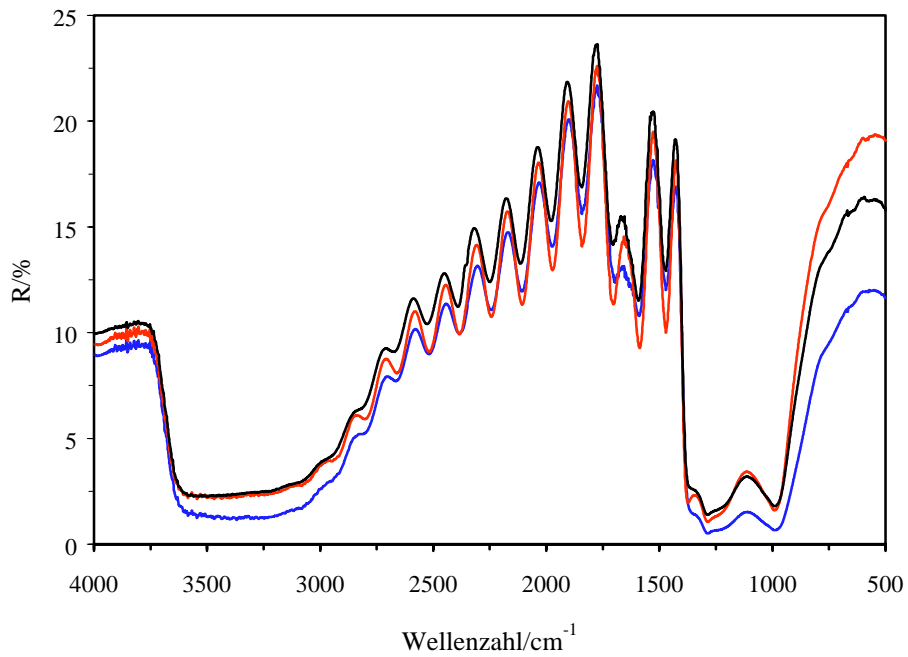


Abbildung 11-21: 30° IR-Reflexionsspektren der Probe Color-5 (ohne Polarisator (schwarz), senkrecht- (rot), parallel polarisiert (blau)).

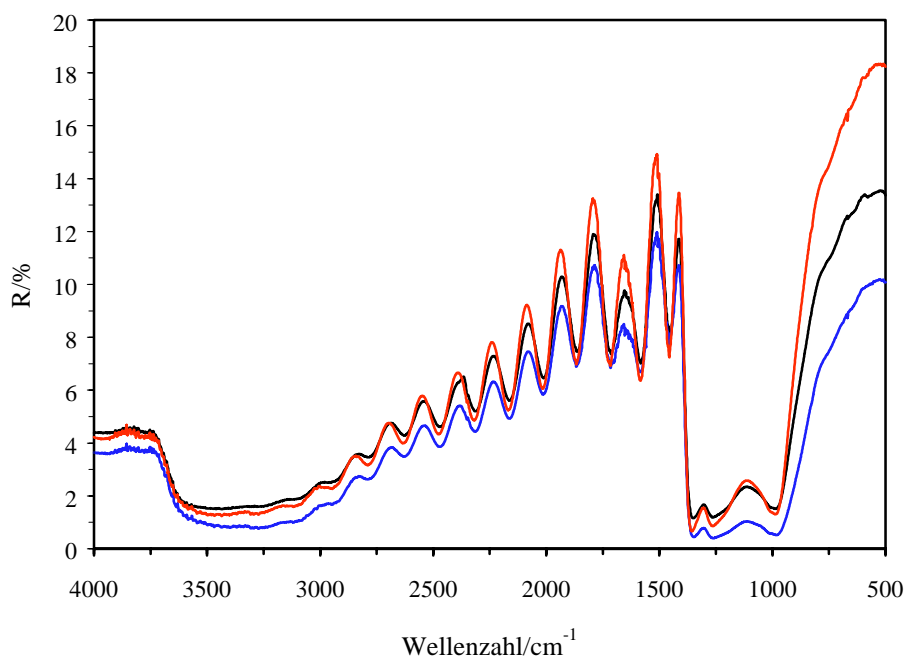


Abbildung 11-22: 30° IR-Reflexionsspektren der Probe Color-6 (ohne Polarisator (schwarz), senkrecht- (rot), parallel polarisiert (blau)).

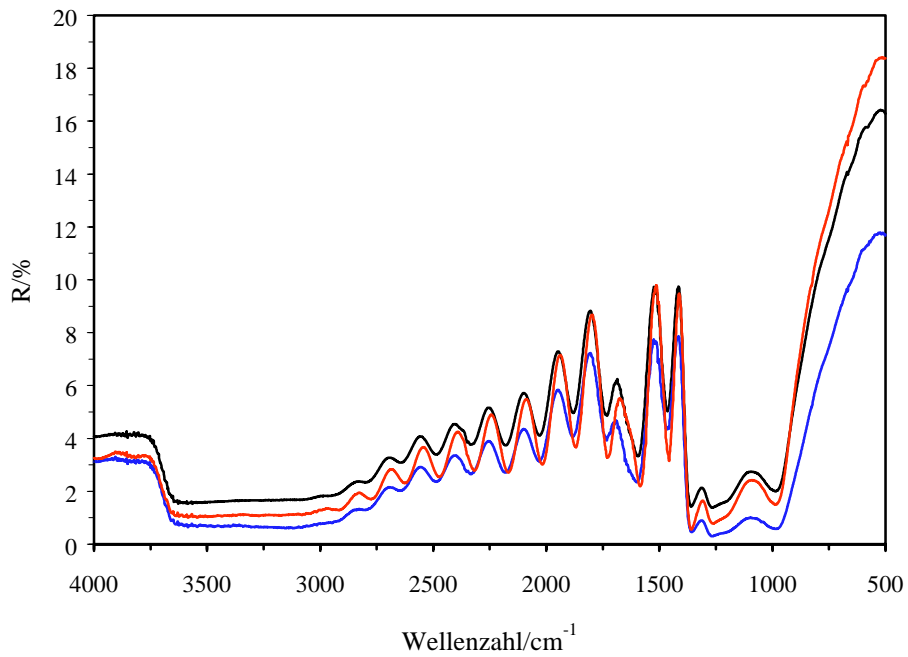


Abbildung 11-23: 30° IR-Reflexionsspektren der Probe Color-6v (ohne Polarisator (schwarz), senkrecht- (rot), parallel polarisiert (blau)).

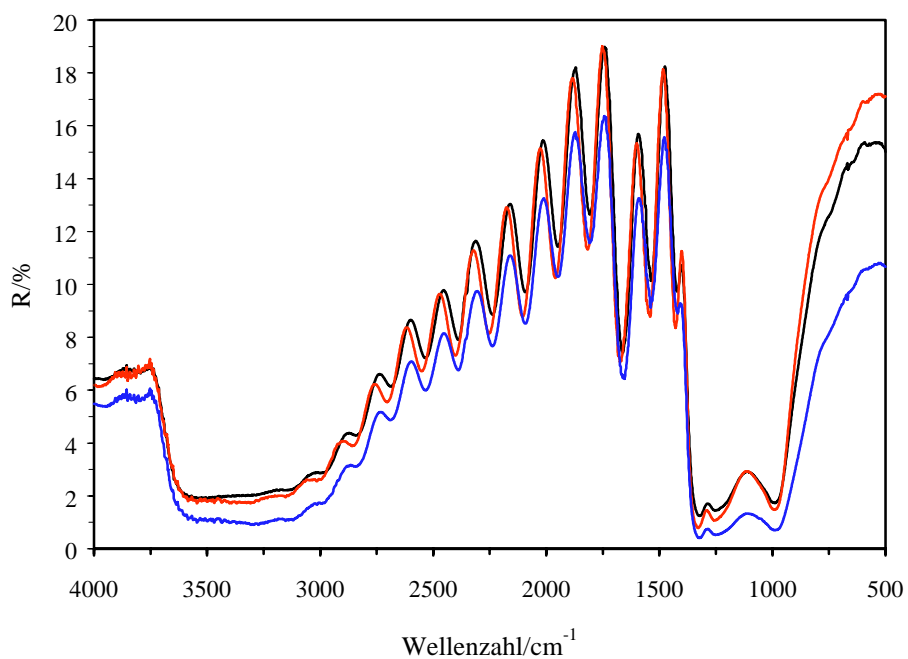


Abbildung 11-24: 30° IR-Reflexionsspektren der Probe Color-7 (ohne Polarisator (schwarz), senkrecht- (rot), parallel polarisiert (blau)).

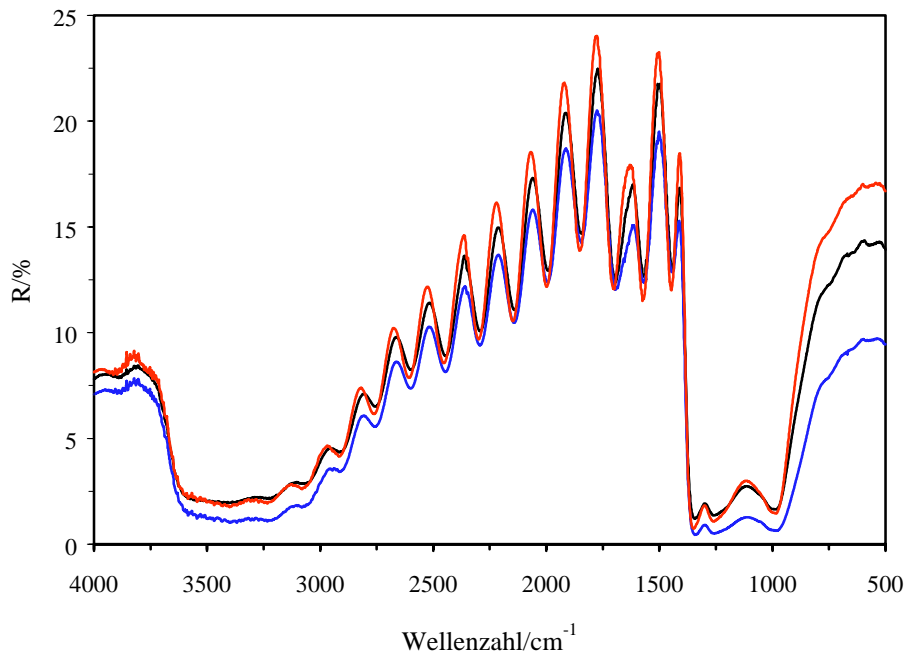


Abbildung 11-25: 30° IR-Reflexionsspektren der Probe Color-8 (ohne Polarisator (schwarz), senkrecht- (rot), parallel polarisiert (blau)).

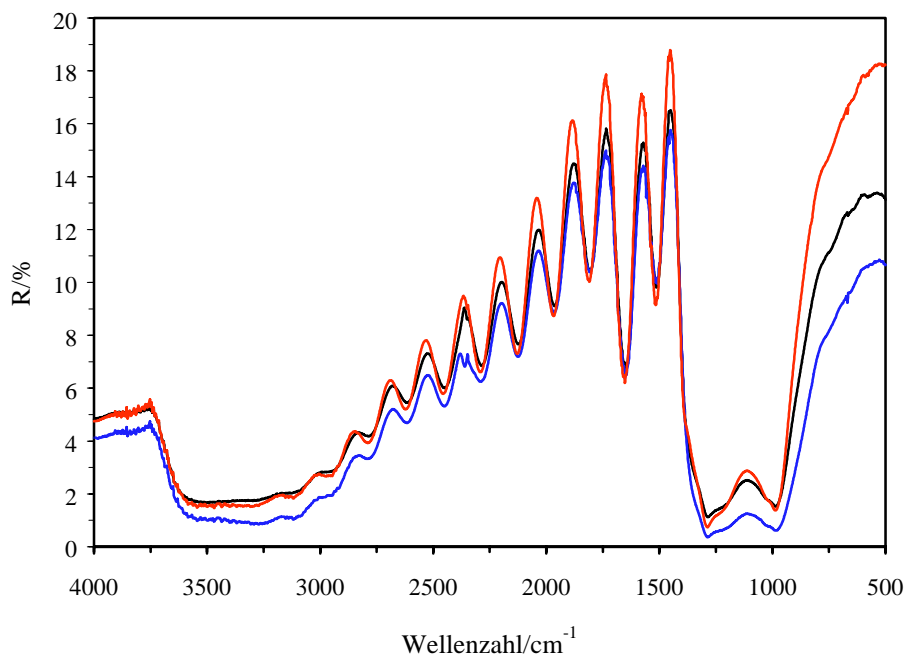


Abbildung 11-26: 30° IR-Reflexionsspektren der Probe Color-9 (ohne Polarisator (schwarz), senkrecht- (rot), parallel polarisiert (blau)).

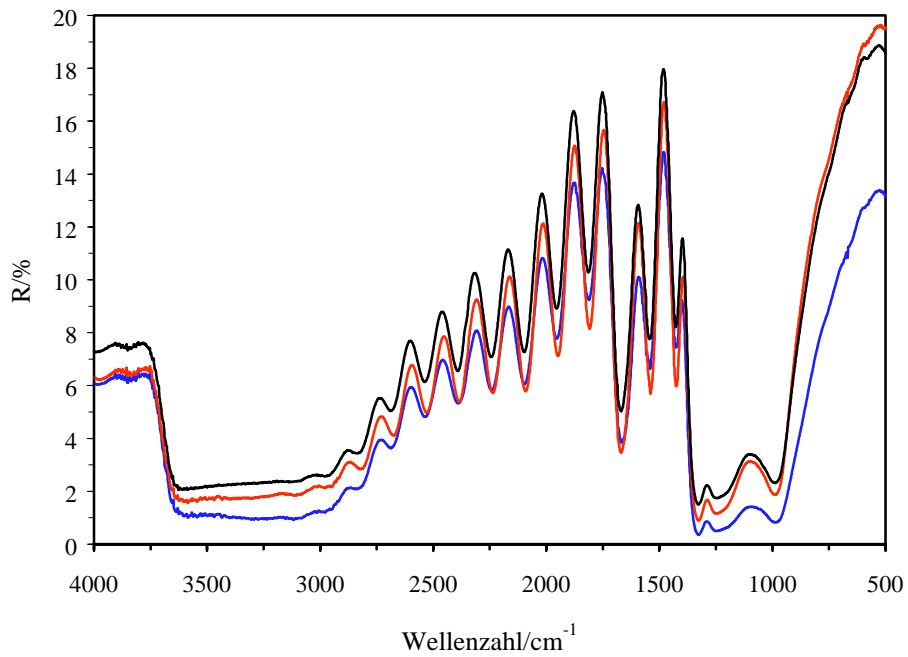


Abbildung 11-27: 30° IR-Reflexionsspektren der Probe Color-9v (ohne Polarisator (schwarz), senkrecht- (rot), parallel polarisiert (blau)).

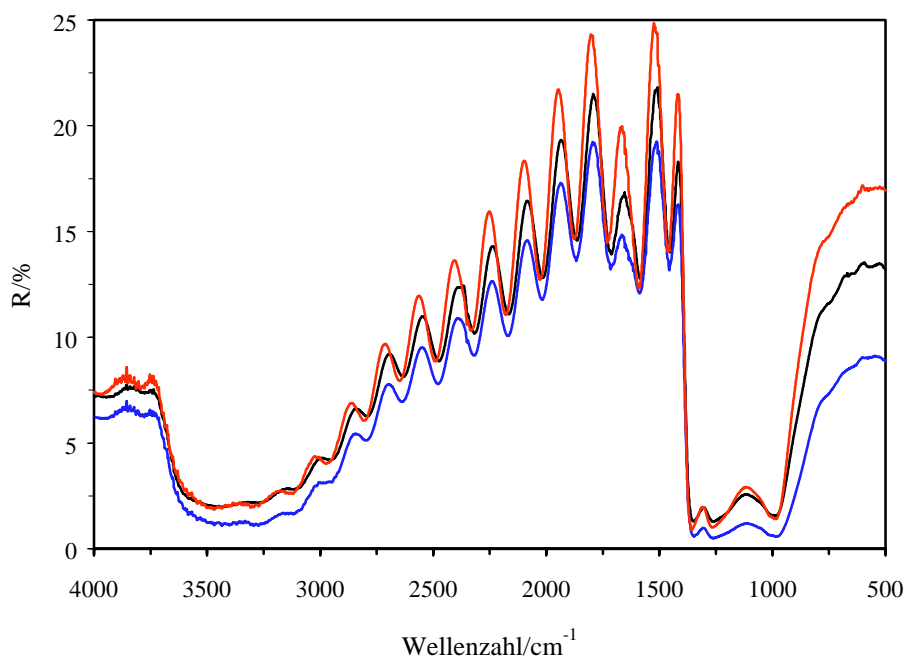


Abbildung 11-28: 30° IR-Reflexionsspektren der Probe Color-10 (ohne Polarisator (schwarz), senkrecht- (rot), parallel polarisiert (blau)).

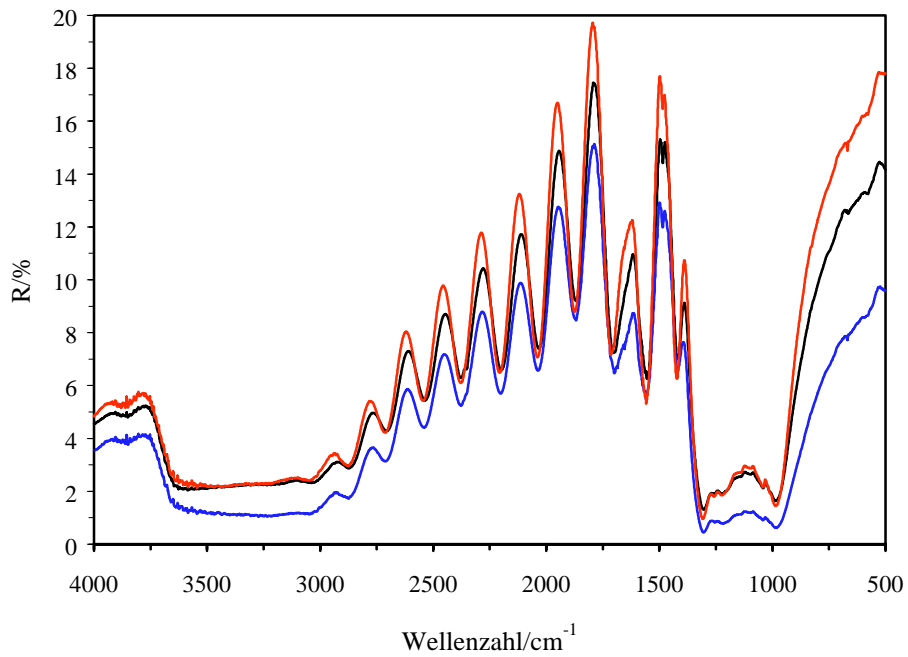


Abbildung 11-29: 30° IR-Reflexionsspektren der Probe Color-11 (ohne Polarisator (schwarz), senkrecht- (rot), parallel polarisiert (blau)).

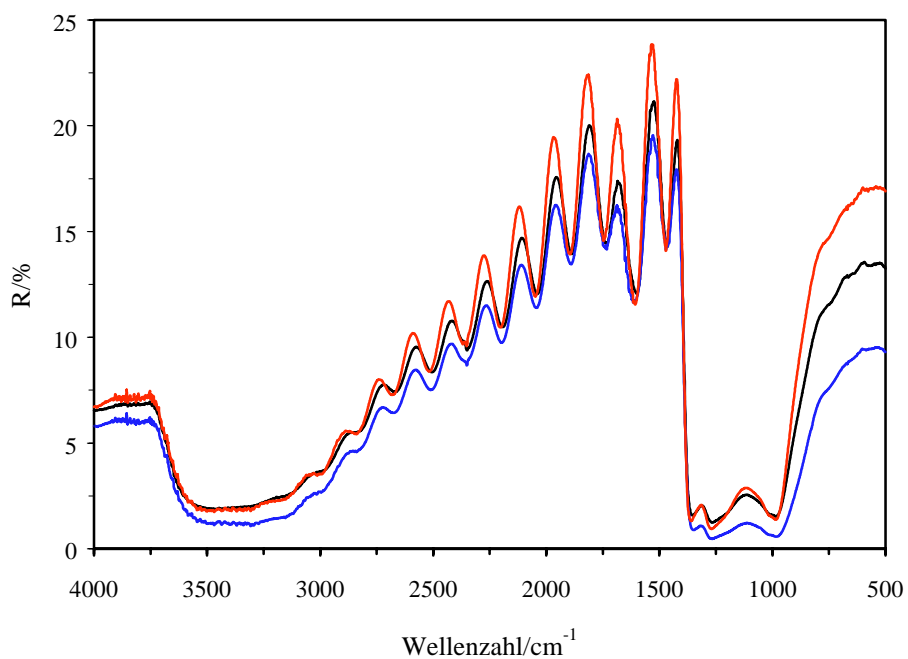


Abbildung 11-30: 30° IR-Reflexionsspektren der Probe Color-12 (ohne Polarisator (schwarz), senkrecht- (rot), parallel polarisiert (blau)).

11.1.2 80° IR-Reflexionsspektren

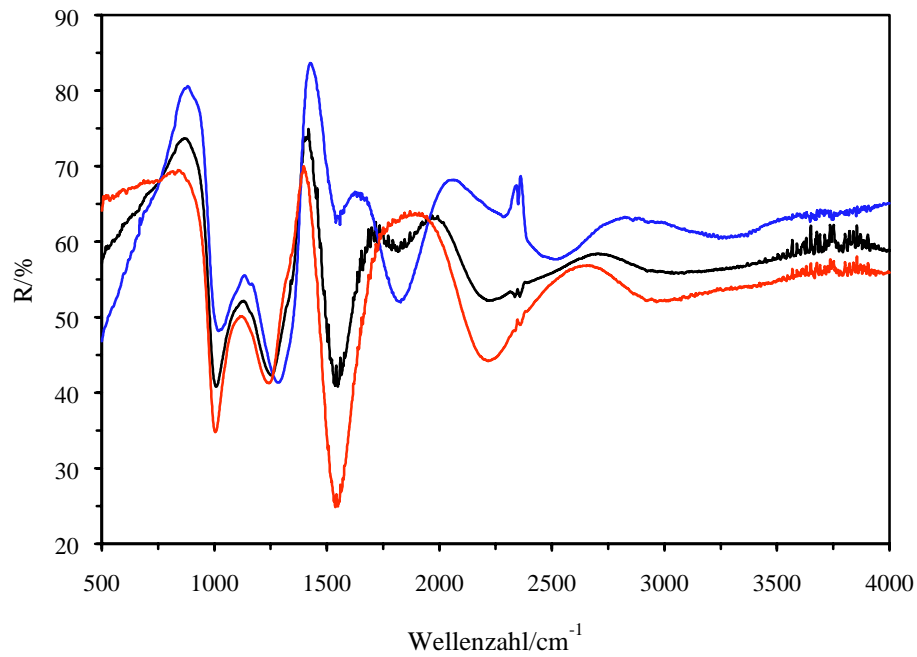


Abbildung 11-31: 80° IR-Reflexionsspektren der Probe Dün-1 (ohne Polarisator (schwarz), senkrecht- (rot), parallel polarisiert (blau)).

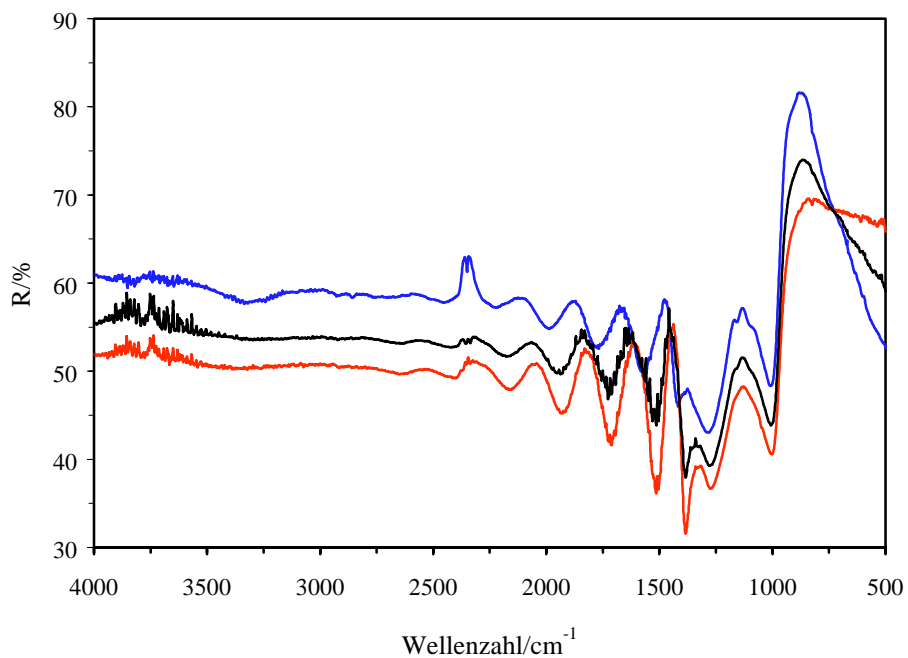


Abbildung 11-32: 80° IR-Reflexionsspektren der Probe GS-1 (ohne Polarisator (schwarz), senkrecht- (rot), parallel polarisiert (blau)).

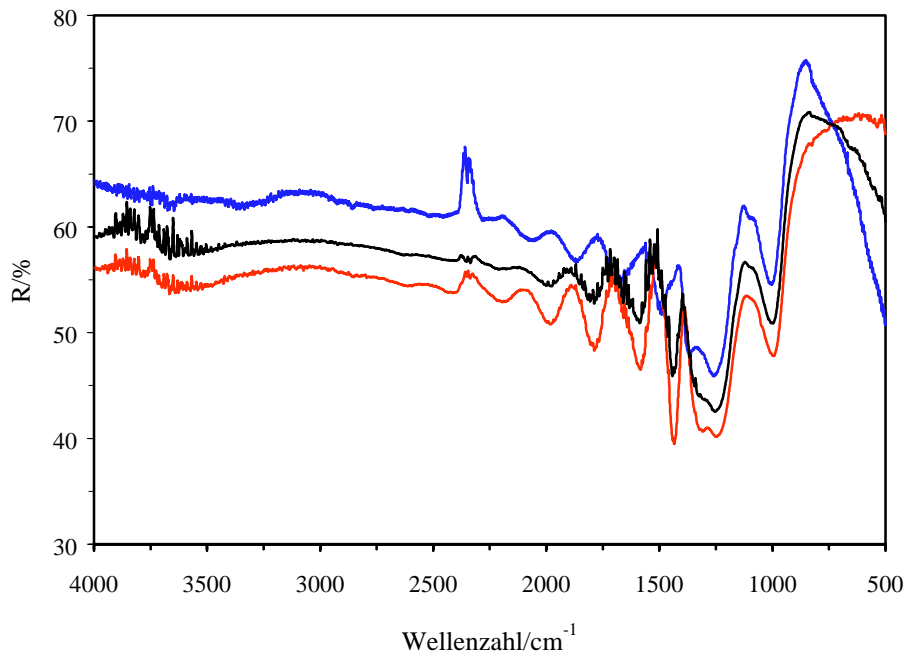


Abbildung 11-33: 80° IR-Reflexionsspektren der Probe GS-2 (ohne Polarisator (schwarz), senkrecht- (rot), parallel polarisiert (blau)).

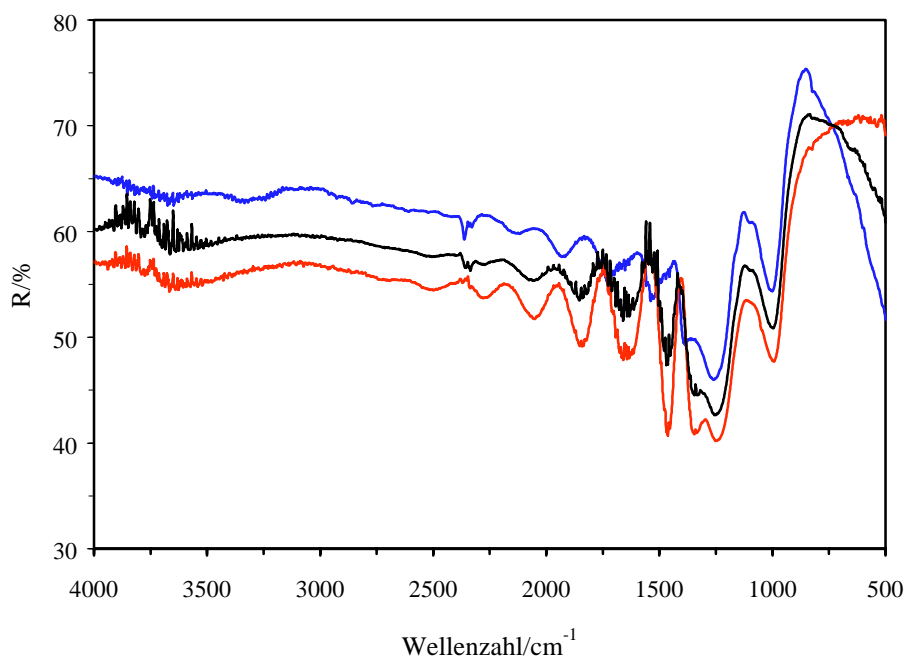


Abbildung 11-34: 80° IR-Reflexionsspektren der Probe GS-3 (ohne Polarisator (schwarz), senkrecht- (rot), parallel polarisiert (blau)).

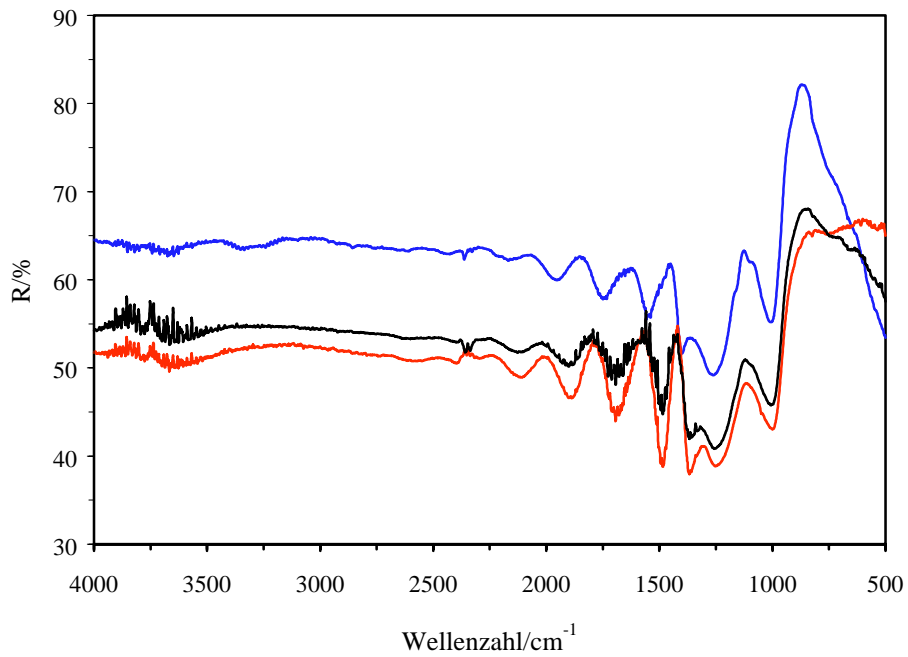


Abbildung 11-35: 80° IR-Reflexionsspektren der Probe GS-4 (ohne Polarisator (schwarz), senkrecht- (rot), parallel polarisiert (blau)).

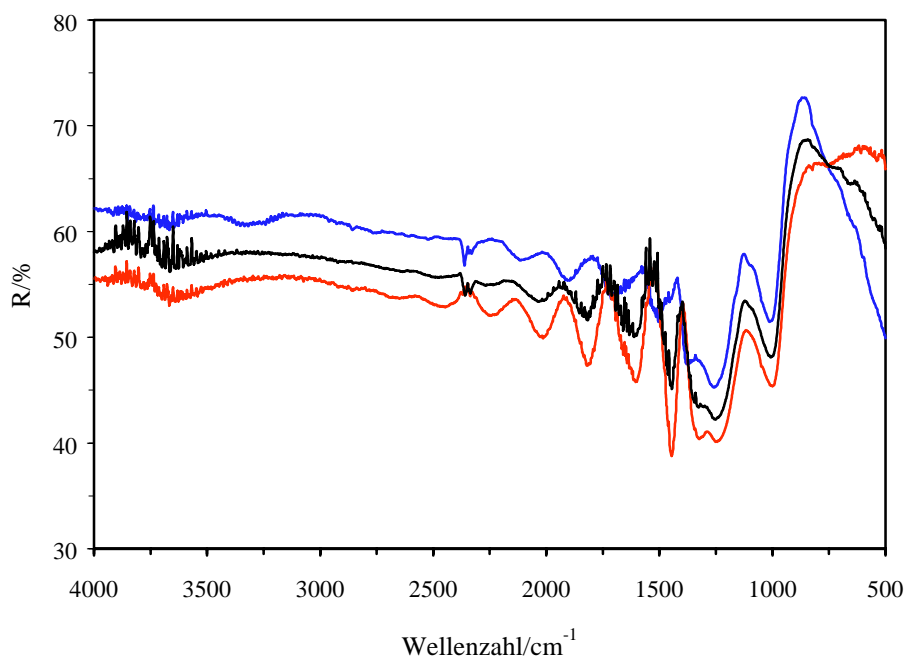


Abbildung 11-36: 80° IR-Reflexionsspektren der Probe GS-5 (ohne Polarisator (schwarz), senkrecht- (rot), parallel polarisiert (blau)).

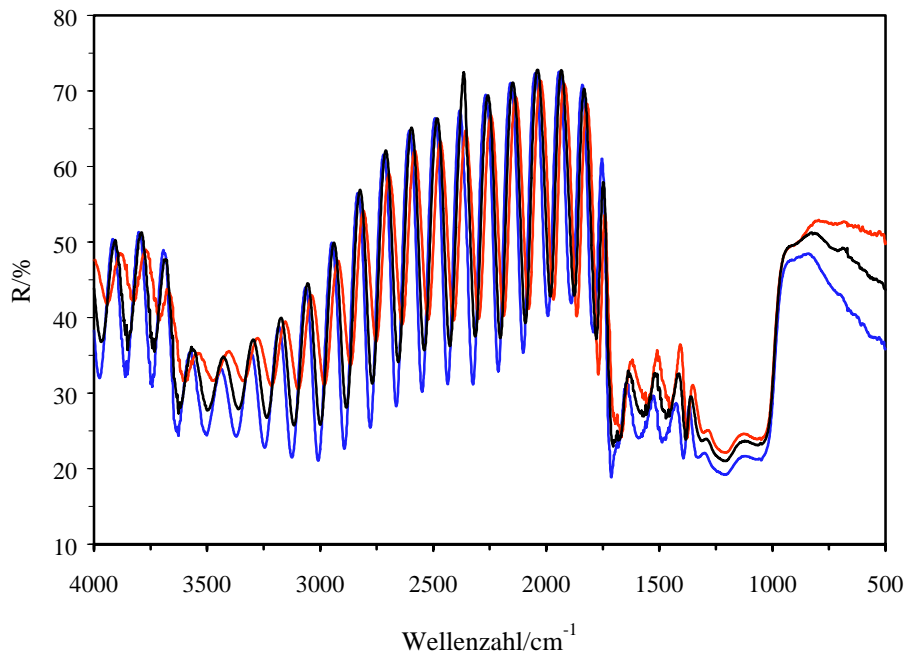


Abbildung 11-37: 80° IR-Reflexionsspektren der Probe Weiß-1 (ohne Polarisator (schwarz), senkrecht- (rot), parallel polarisiert (blau)).

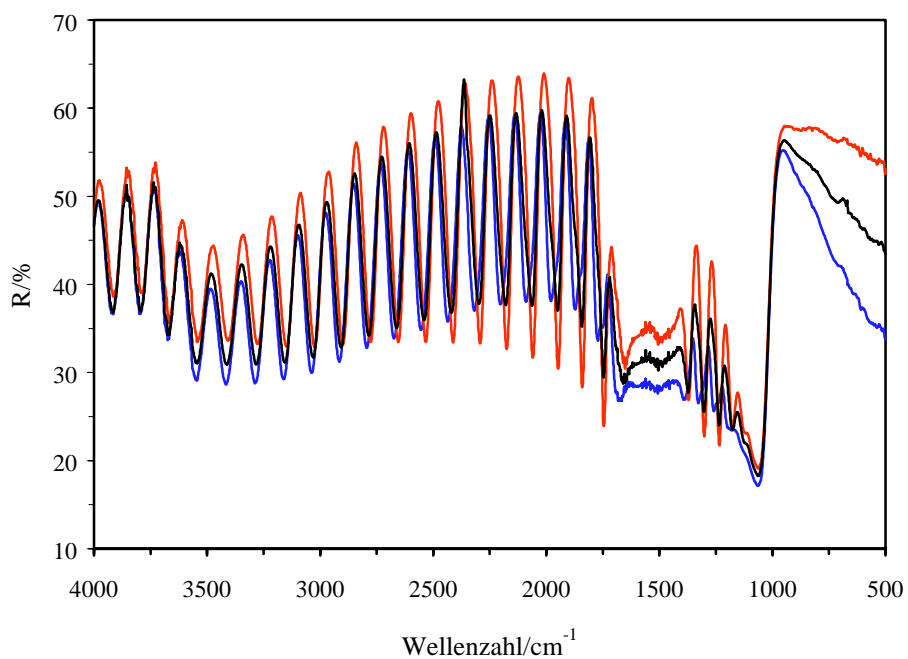


Abbildung 11-38: 80° IR-Reflexionsspektren der Probe Weiß-2 (ohne Polarisator (schwarz), senkrecht- (rot), parallel polarisiert (blau)).

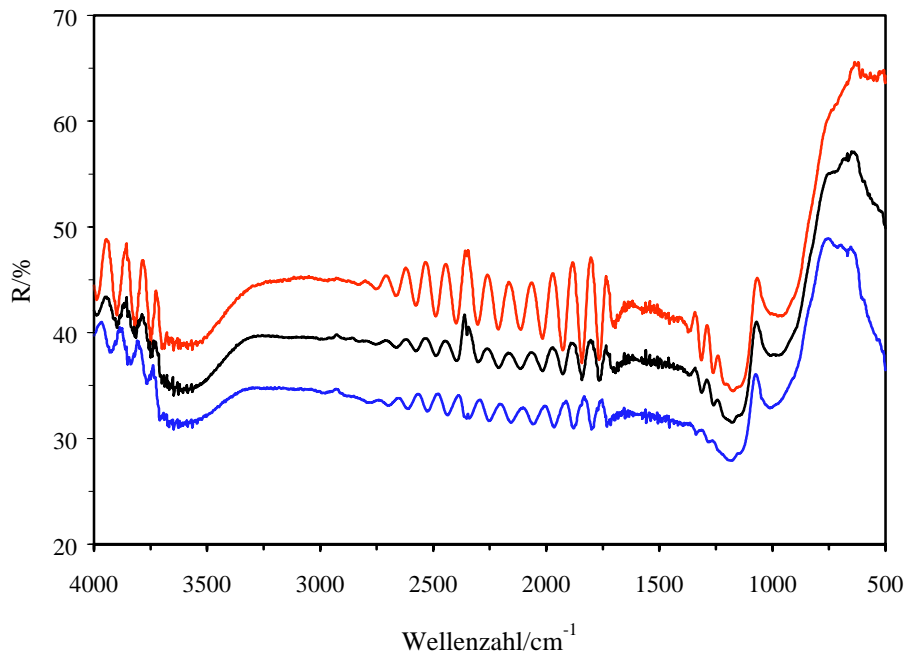


Abbildung 11-39: 80° IR-Reflexionsspektren der Probe Weiß-3 (ohne Polarisator (schwarz), senkrecht- (rot), parallel polarisiert (blau)).

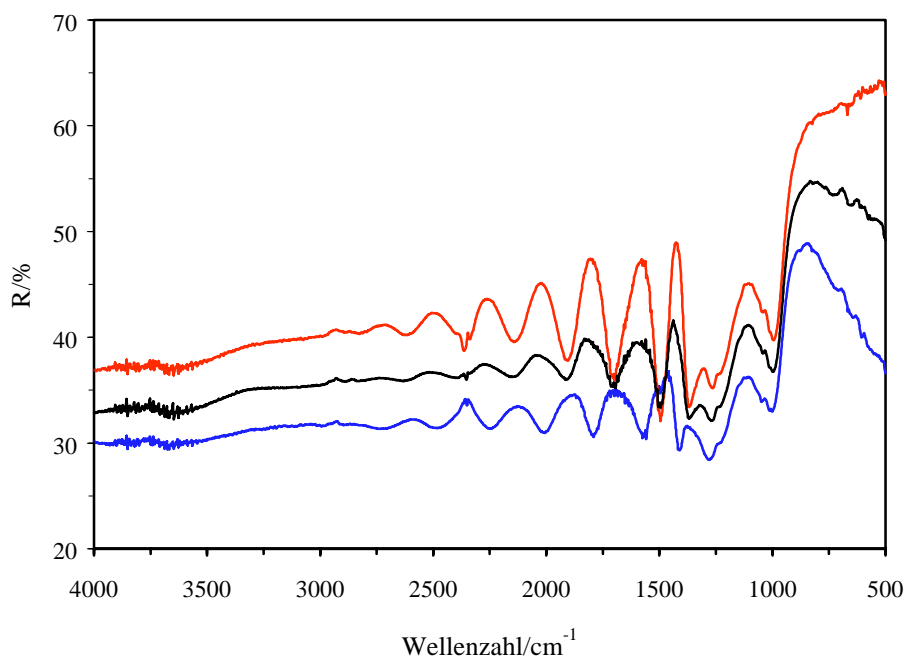


Abbildung 11-40: 80° IR-Reflexionsspektren der Probe Color-A (ohne Polarisator (schwarz), senkrecht- (rot), parallel polarisiert (blau)).

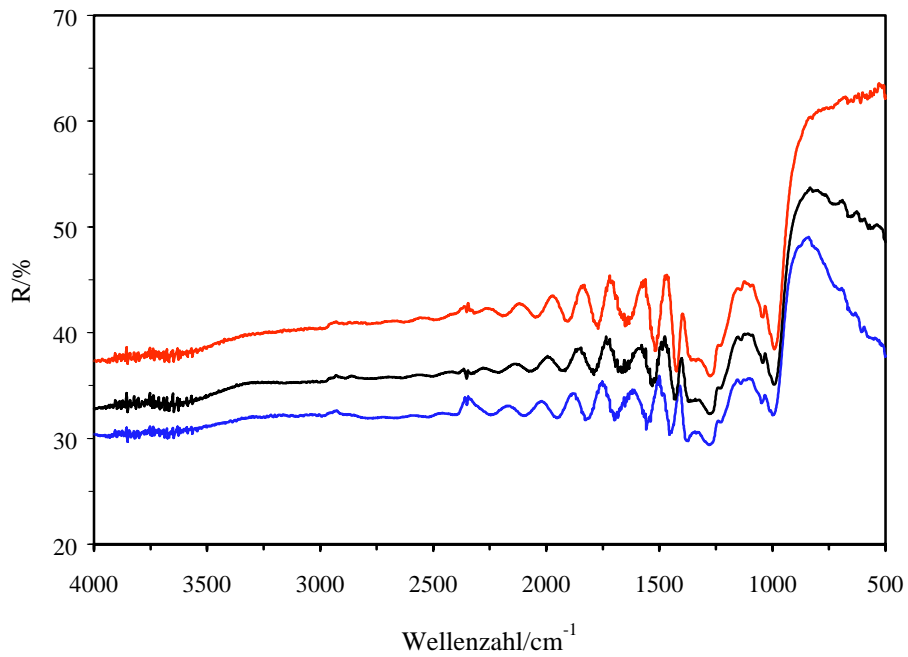


Abbildung 11-41: 80° IR-Reflexionsspektren der Probe Color-B (ohne Polarisator (schwarz), senkrecht- (rot), parallel polarisiert (blau)).

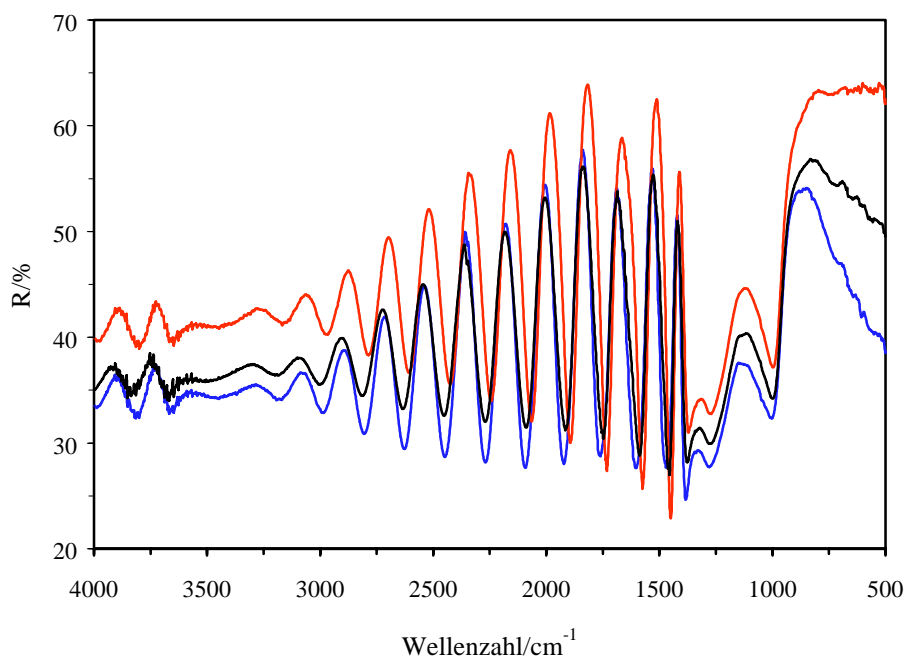


Abbildung 11-42 80° IR-Reflexionsspektren der Probe Color-C (ohne Polarisator (schwarz), senkrecht- (rot), parallel polarisiert (blau)).

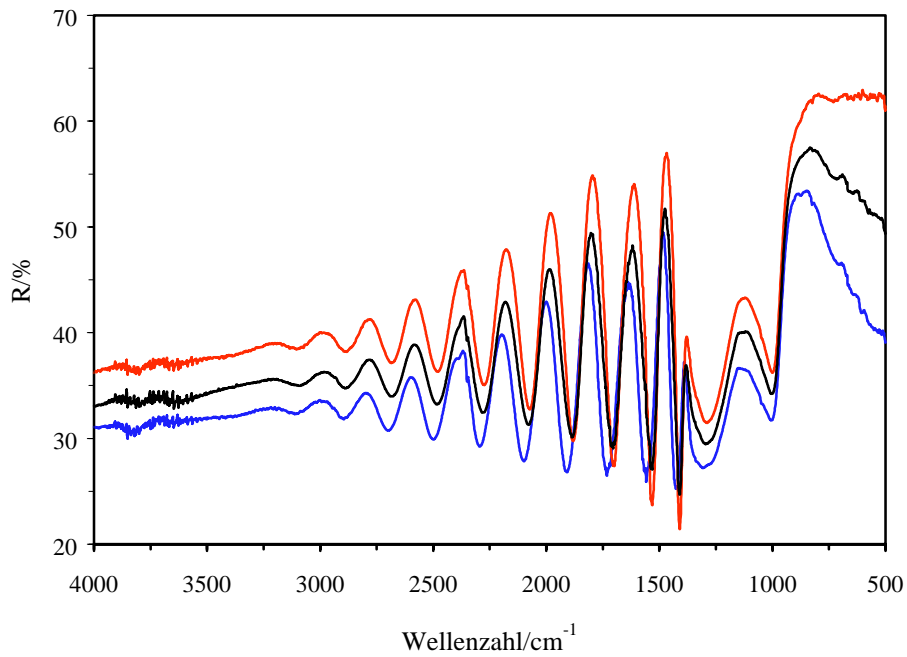


Abbildung 11-43: 80° IR-Reflexionsspektren der Probe Color-D (ohne Polarisator (schwarz), senkrecht- (rot), parallel polarisiert (blau)).

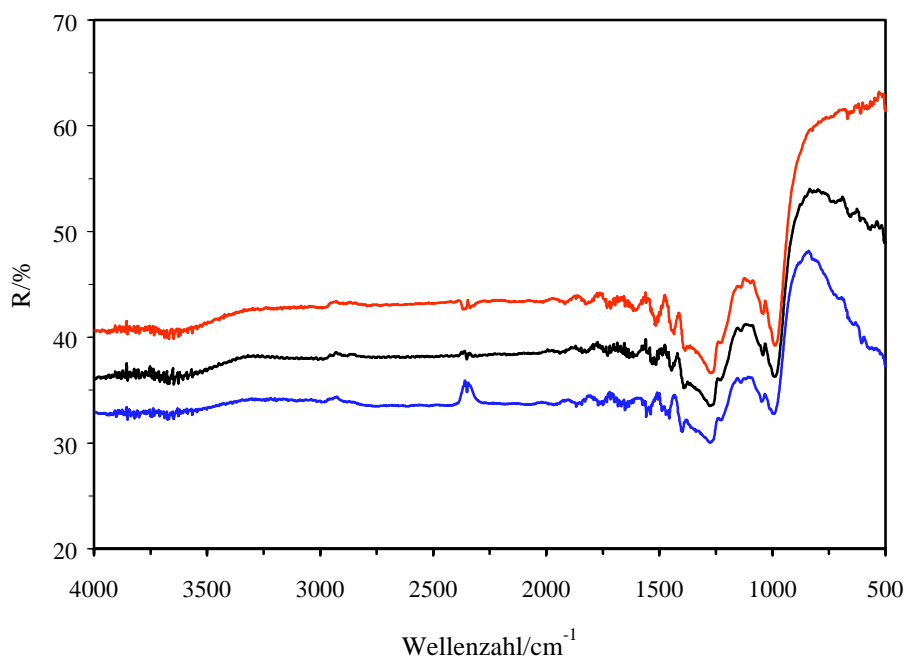


Abbildung 11-44: 80° IR-Reflexionsspektren der Probe Color-E (ohne Polarisator (schwarz), senkrecht- (rot), parallel polarisiert (blau)).

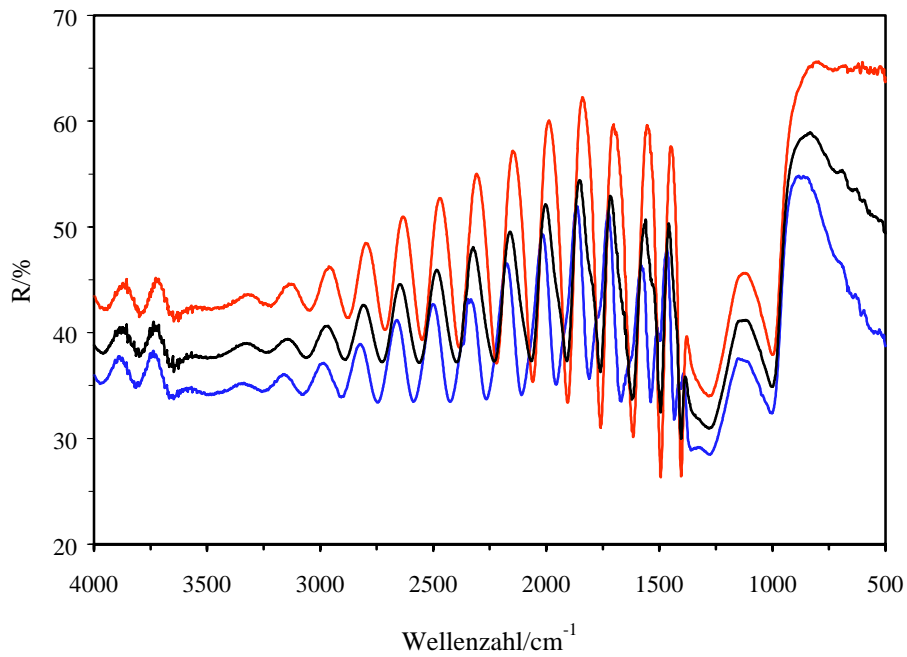


Abbildung 11-45: 80° IR-Reflexionsspektren der Probe Color-0 (ohne Polarisator (schwarz), senkrecht- (rot), parallel polarisiert (blau)).

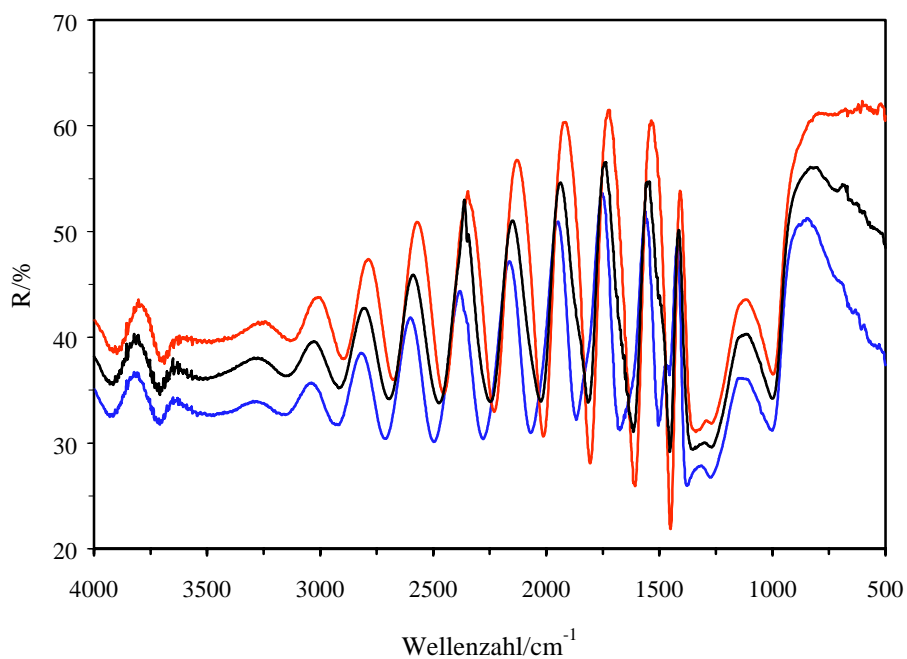


Abbildung 11-46: 80° IR-Reflexionsspektren der Probe Color-1 (ohne Polarisator (schwarz), senkrecht- (rot), parallel polarisiert (blau)).

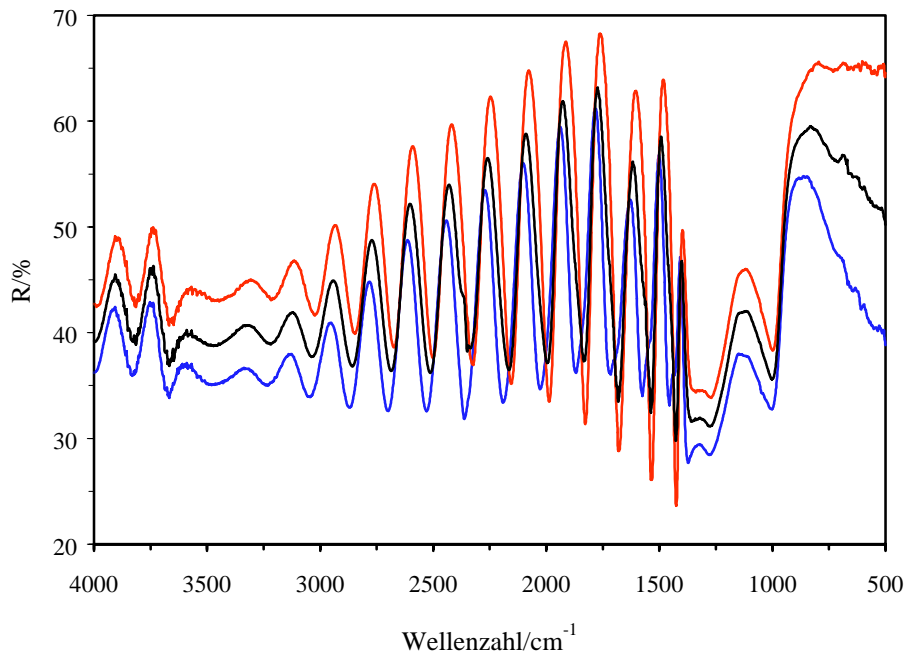


Abbildung 11-47: 80° IR-Reflexionsspektren der Probe Color-2 (ohne Polarisator (schwarz), senkrecht- (rot), parallel polarisiert (blau)).

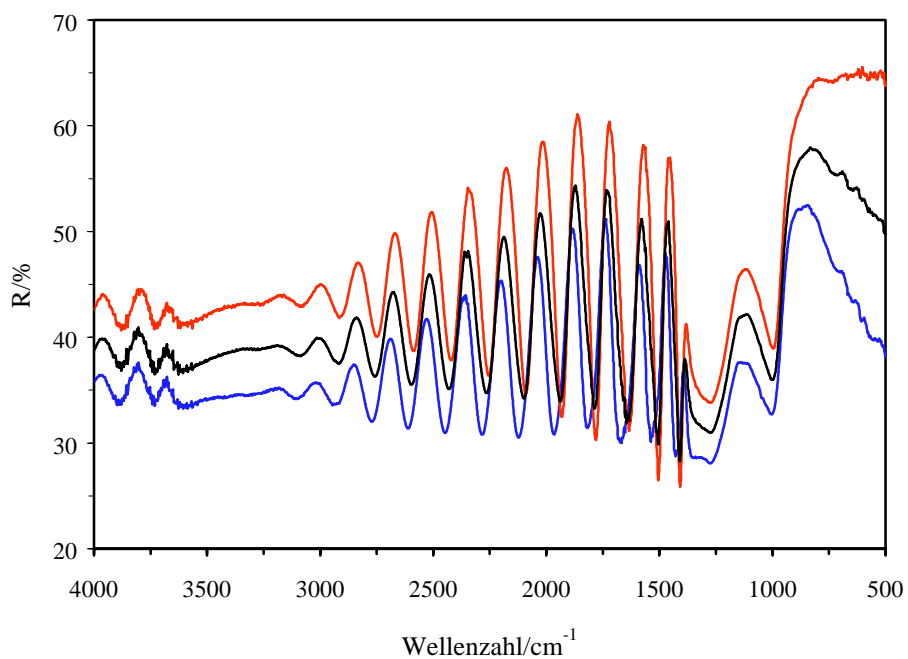


Abbildung 11-48: 80° IR-Reflexionsspektren der Probe Color-3 (ohne Polarisator (schwarz), senkrecht- (rot), parallel polarisiert (blau)).

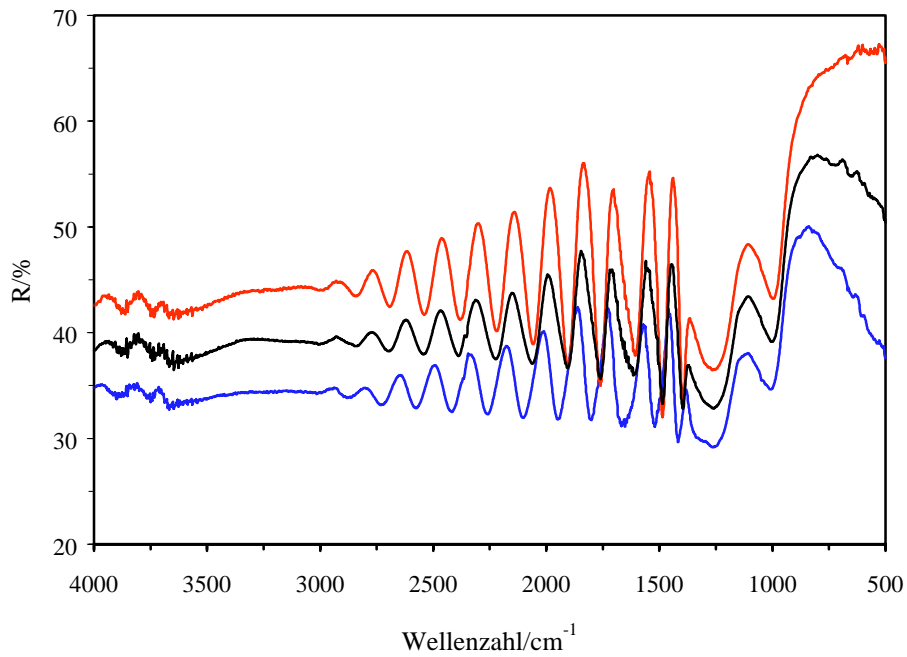


Abbildung 11-49: 80° IR-Reflexionsspektren der Probe Color-3v (ohne Polarisator (schwarz), senkrecht-(rot), parallel polarisiert (blau)).

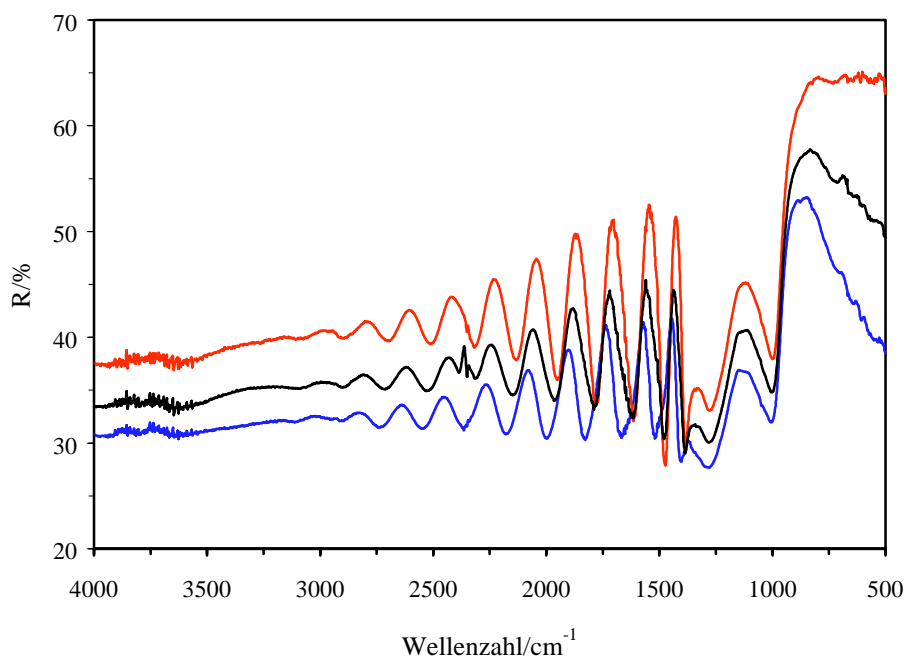


Abbildung 11-50: 80° IR-Reflexionsspektren der Probe Color-4 (ohne Polarisator (schwarz), senkrecht- (rot), parallel polarisiert (blau)).

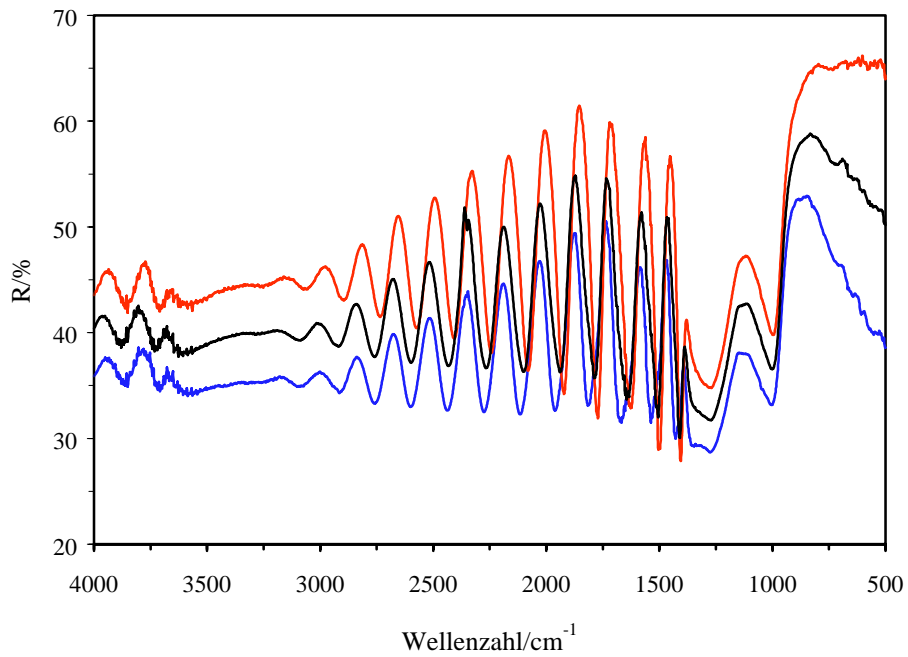


Abbildung 11-51: 80° IR-Reflexionsspektren der Probe Color-5 (ohne Polarisator (schwarz), senkrecht- (rot), parallel polarisiert (blau)).

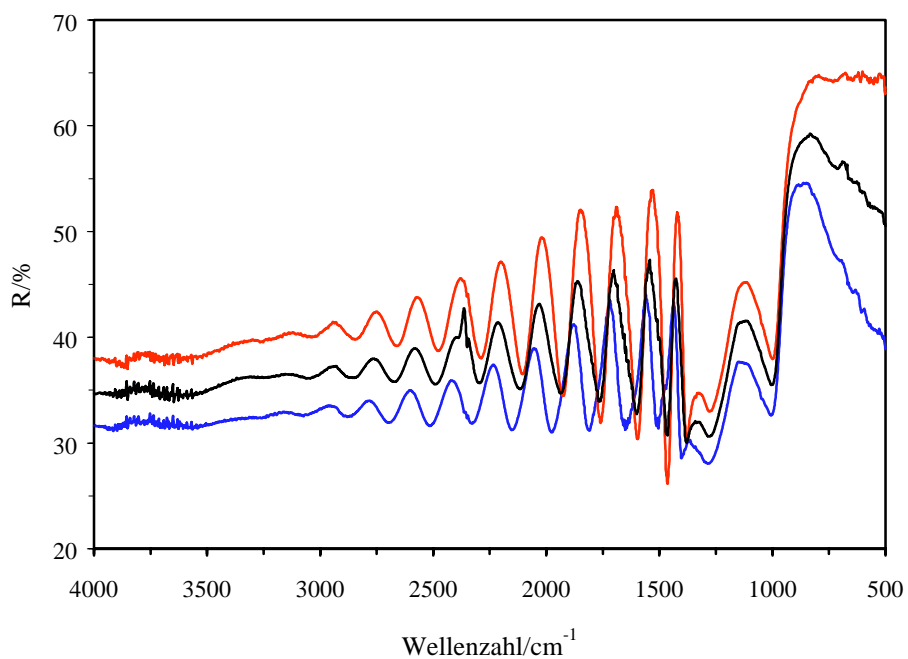


Abbildung 11-52: 80° IR-Reflexionsspektren der Probe Color-6 (ohne Polarisator (schwarz), senkrecht- (rot), parallel polarisiert (blau)).

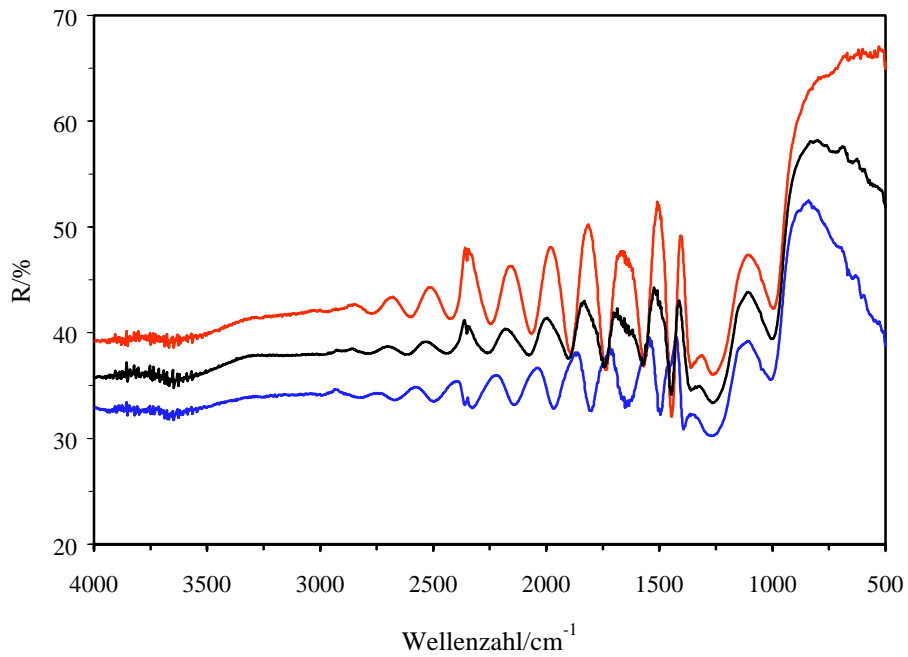


Abbildung 11-53: 80° IR-Reflexionsspektren der Probe Color-6v (ohne Polarisator (schwarz), senkrecht- (rot), parallel polarisiert (blau)).

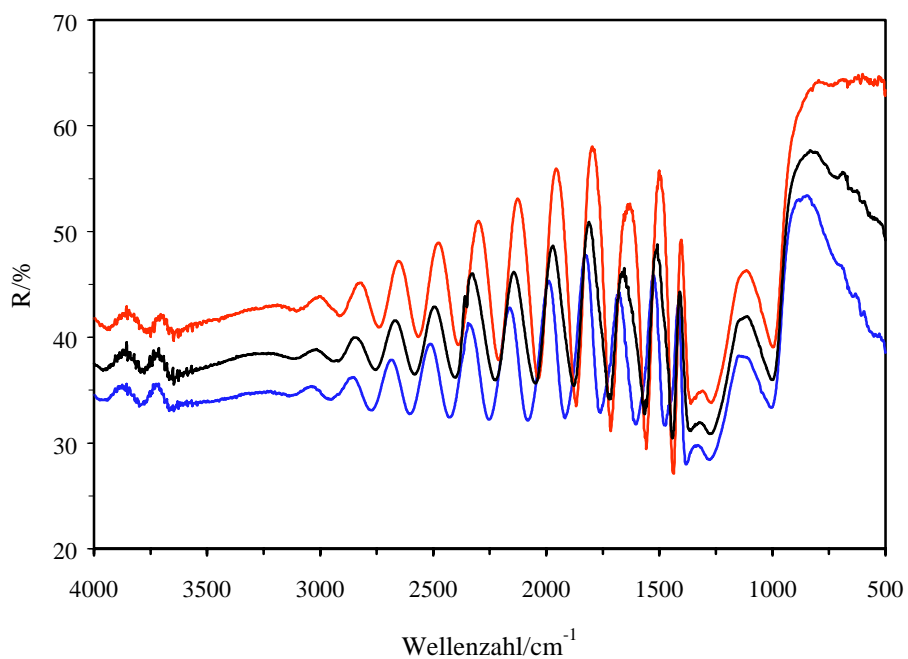


Abbildung 11-54: 80° IR-Reflexionsspektren der Probe Color-7 (ohne Polarisator (schwarz), senkrecht- (rot), parallel polarisiert (blau)).

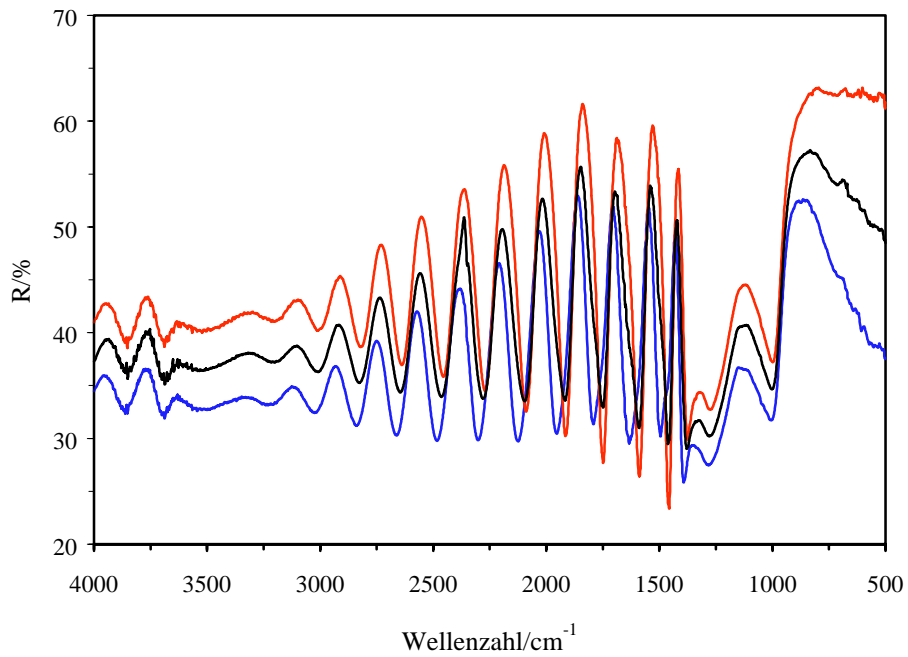


Abbildung 11-55: 80° IR-Reflexionsspektren der Probe Color-8 (ohne Polarisator (schwarz), senkrecht- (rot), parallel polarisiert (blau)).

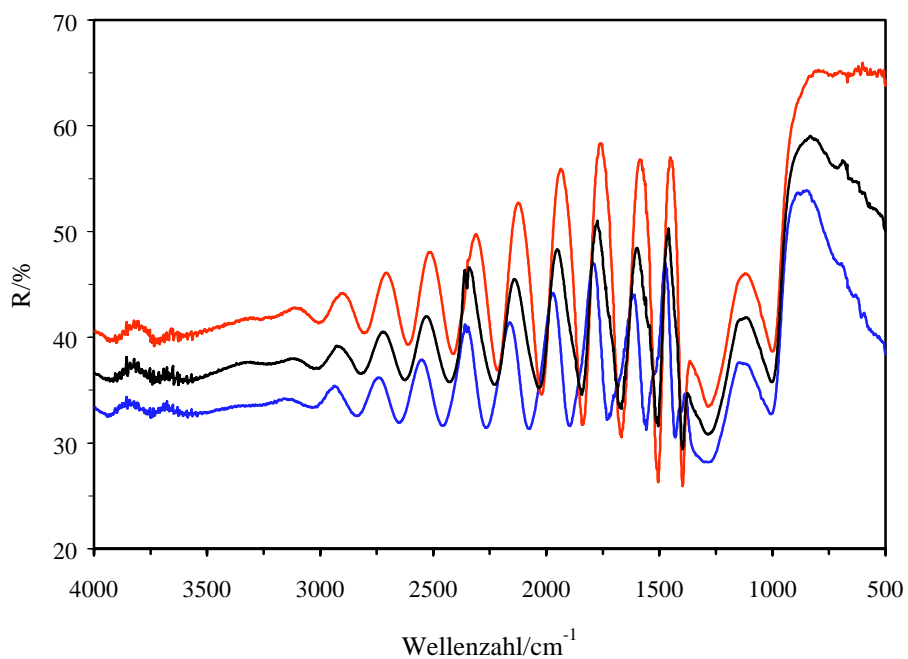


Abbildung 11-56: 80° IR-Reflexionsspektren der Probe Color-9 (ohne Polarisator (schwarz), senkrecht- (rot), parallel polarisiert (blau)).

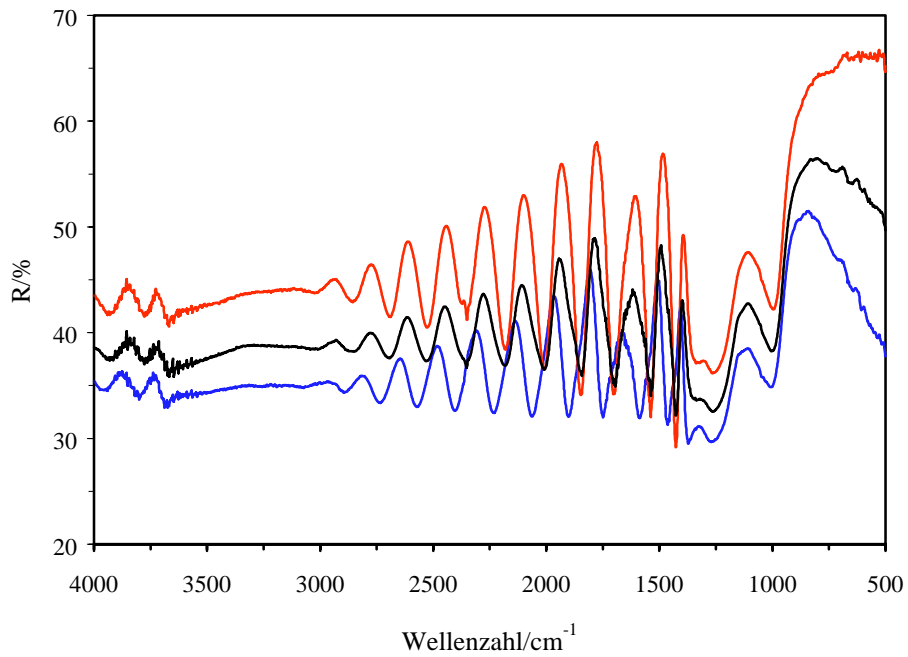


Abbildung 11-57: 80° IR-Reflexionsspektren der Probe Color-9v (ohne Polarisator (schwarz), senkrecht- (rot), parallel polarisiert (blau)).

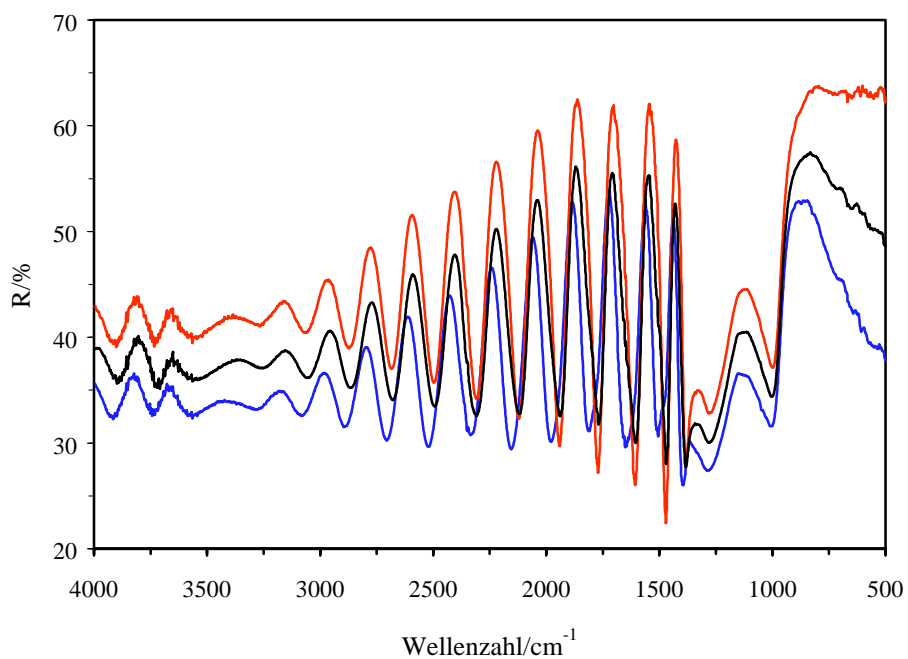


Abbildung 11-58: 80° IR-Reflexionsspektren der Probe Color-10 (ohne Polarisator (schwarz), senkrecht- (rot), parallel polarisiert (blau)).

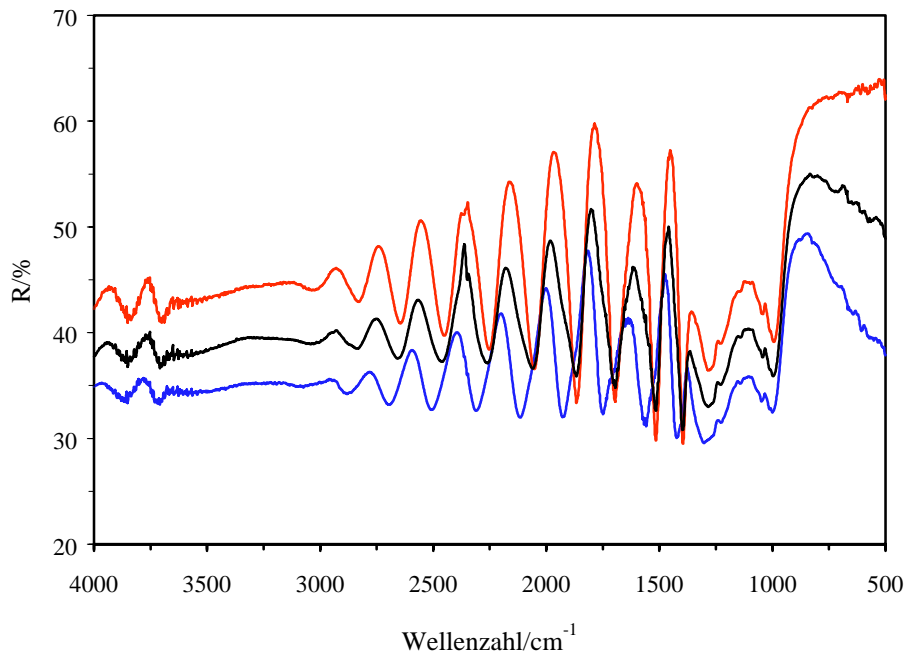


Abbildung 11-59: 80° IR-Reflexionsspektren der Probe Color-11 (ohne Polarisator (schwarz), senkrecht- (rot), parallel polarisiert (blau)).

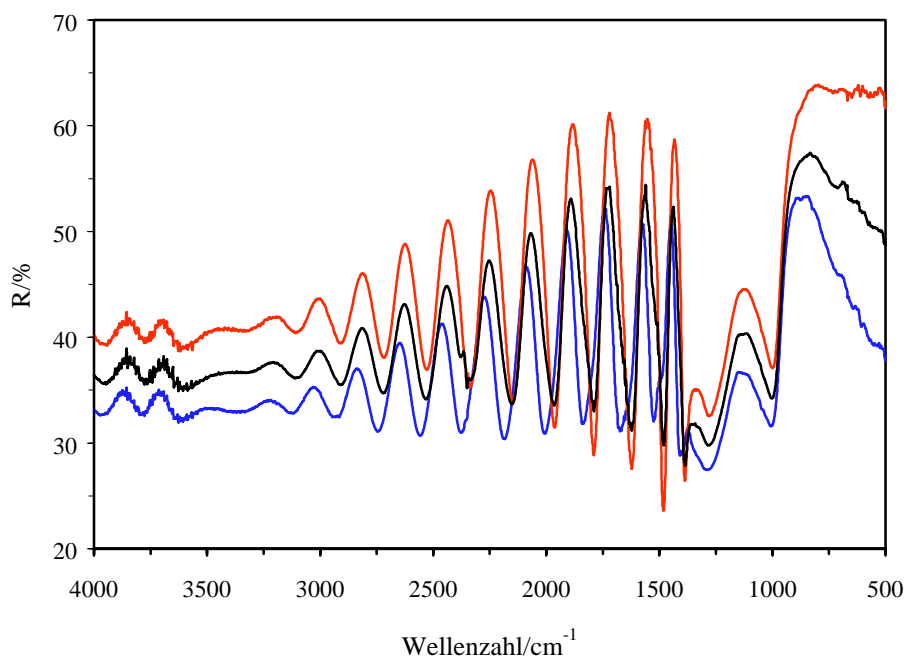


Abbildung 11-60: 80° IR-Reflexionsspektren der Probe Color-12 (ohne Polarisator (schwarz), senkrecht- (rot), parallel polarisiert (blau)).

11.1.3 Ellipsometriespektren

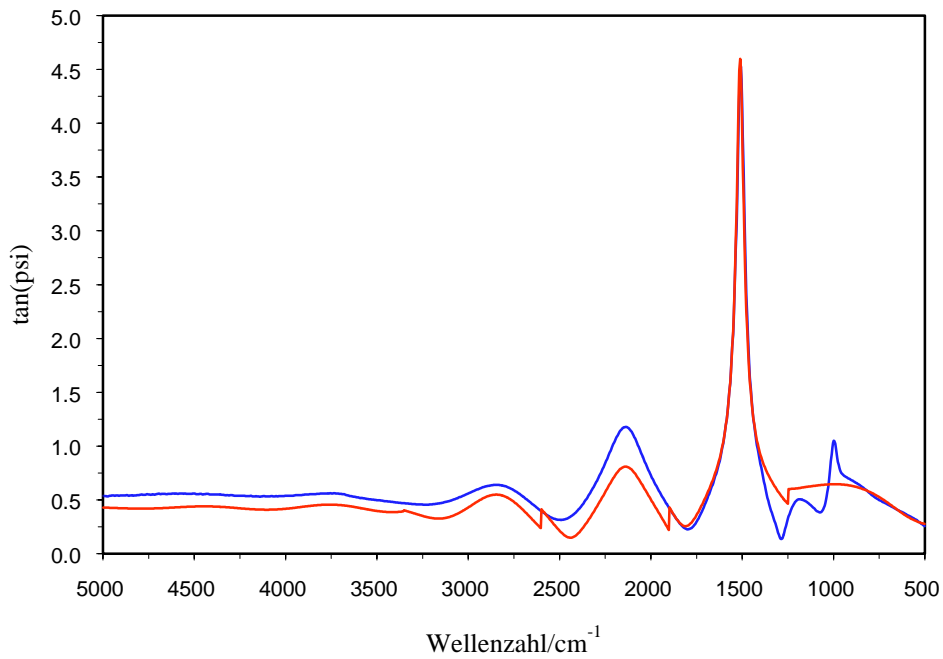


Abbildung 11-61: Experimentelles (blau) und berechnetes (rot) $\tan\Psi$ -Spektrum der Probe Dün-1.

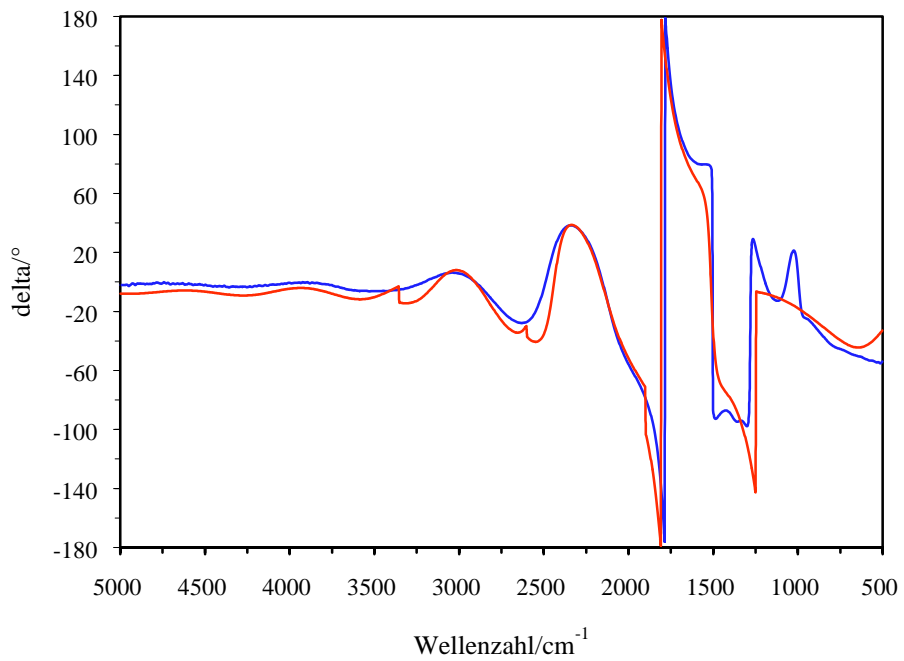


Abbildung 11-62: Experimentelles (blau) und berechnetes (rot) Δ -Spektrum der Probe Dün-1.

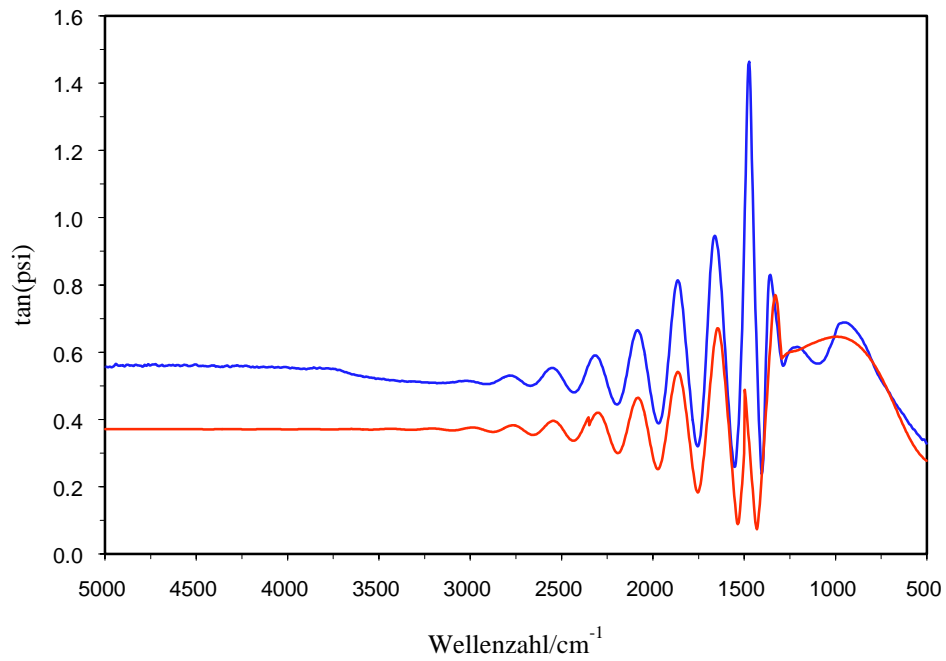


Abbildung 11-63: Experimentelles (blau) und berechnetes (rot) $\tan\Psi$ -Spektrum der Probe GS-1.

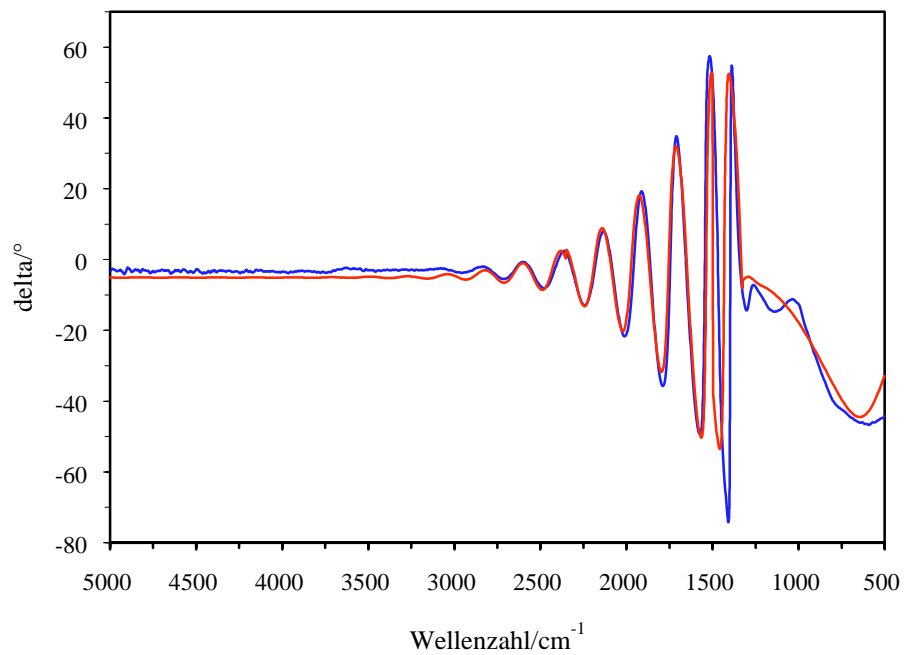


Abbildung 11-64: Experimentelles (blau) und berechnetes (rot) Δ -Spektrum der Probe GS-1.

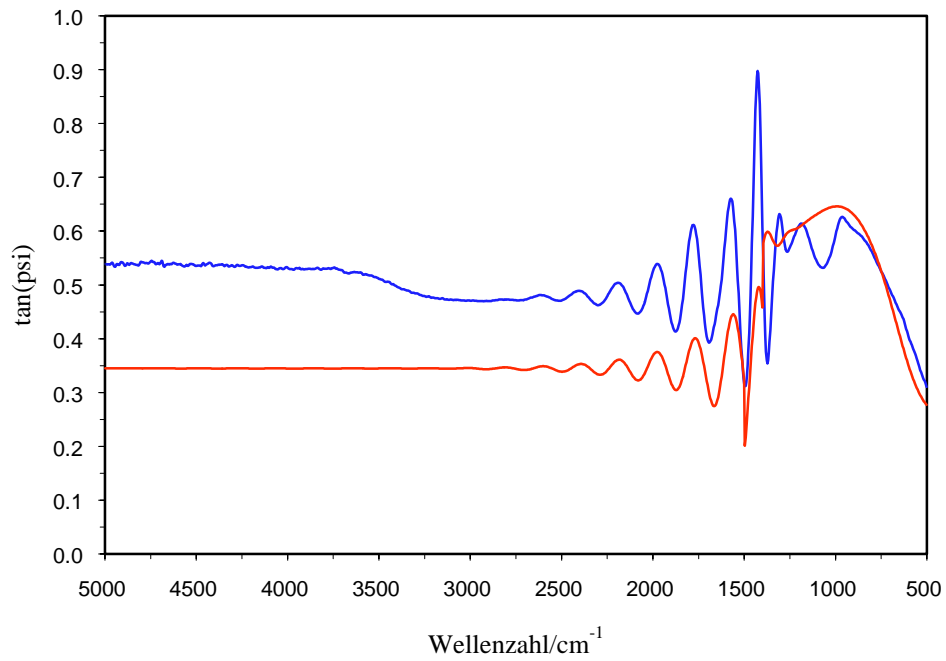


Abbildung 11-65: Experimentelles (blau) und berechnetes (rot) $\tan\Psi$ -Spektrum der Probe GS-2.

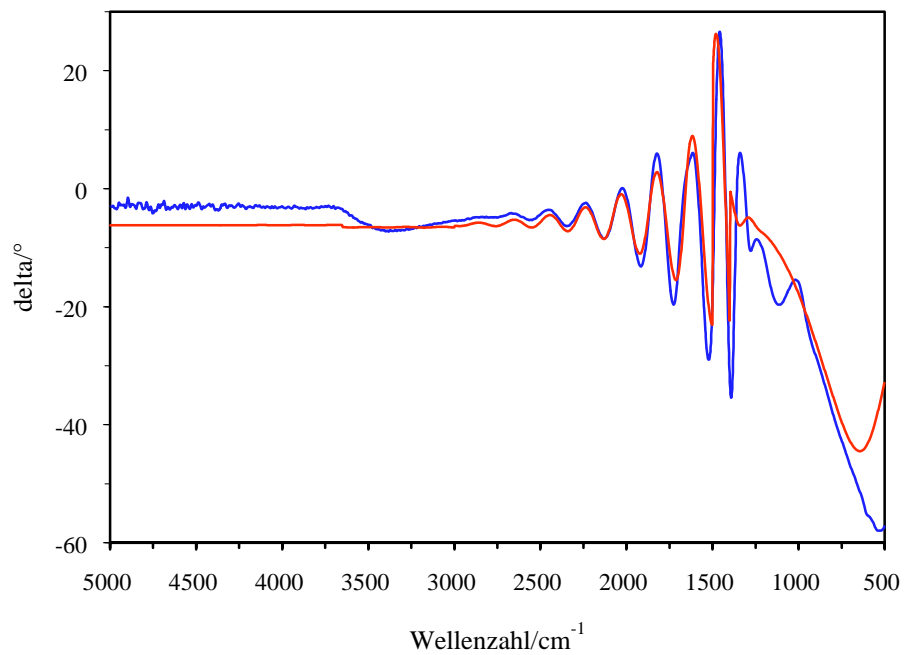


Abbildung 11-66: Experimentelles (blau) und berechnetes (rot) Δ -Spektrum der Probe GS-2.

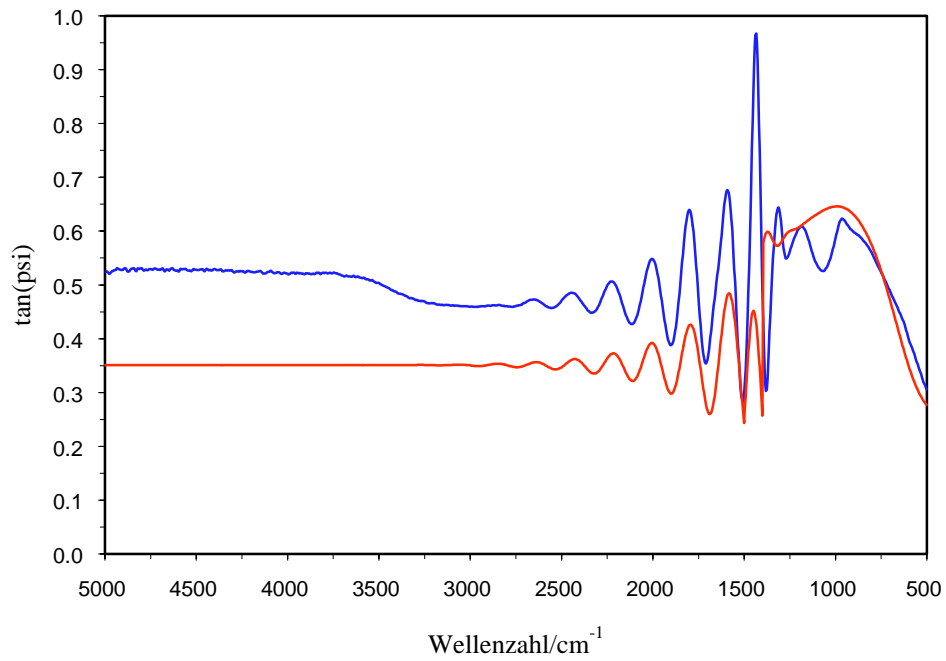


Abbildung 11-67: Experimentelles (blau) und berechnetes (rot) $\tan\Psi$ -Spektrum der Probe GS-3.

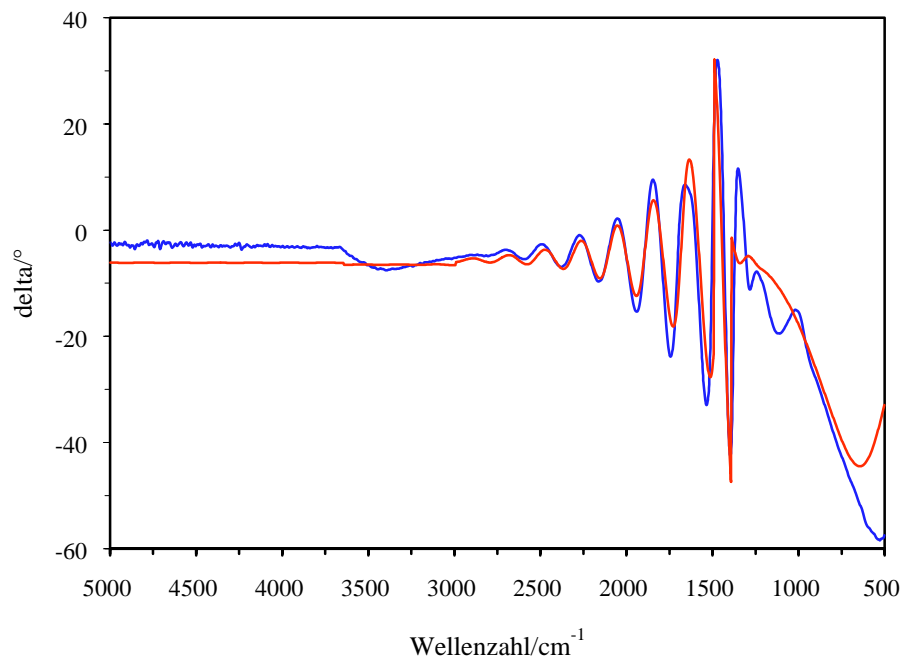


Abbildung 11-68: Experimentelles (blau) und berechnetes (rot) Δ -Spektrum der Probe GS-3.

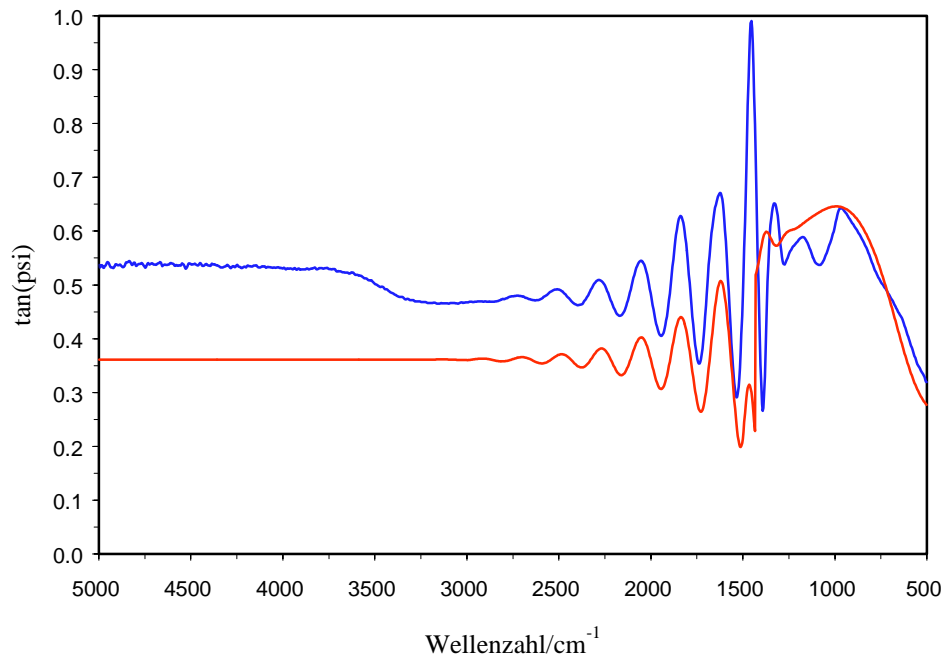


Abbildung 11-69: Experimentelles (blau) und berechnetes (rot) $\tan\Psi$ -Spektrum der Probe GS-4.

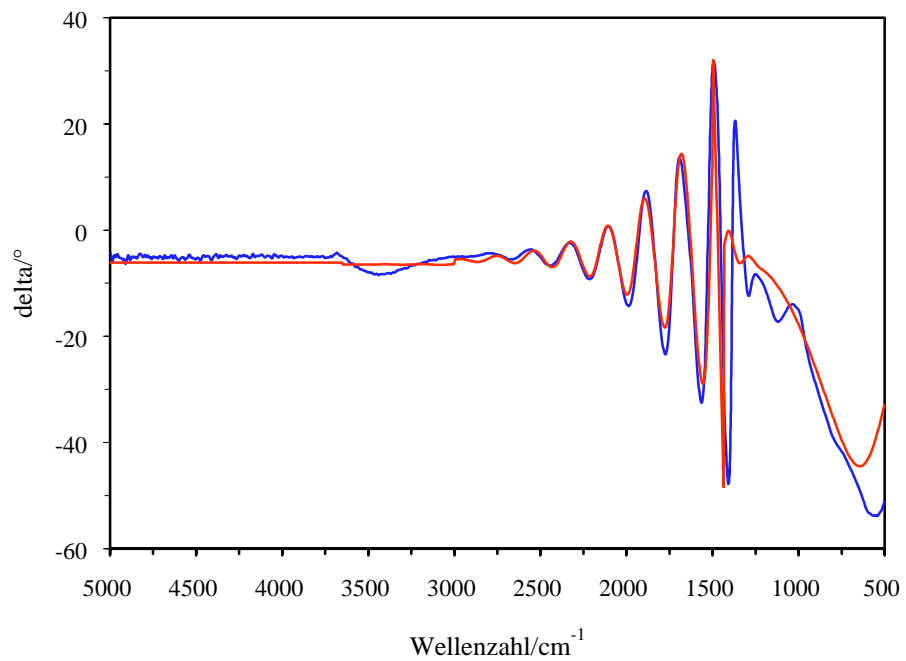


Abbildung 11-70: Experimentelles (blau) und berechnetes (rot) Δ -Spektrum der Probe GS-4.

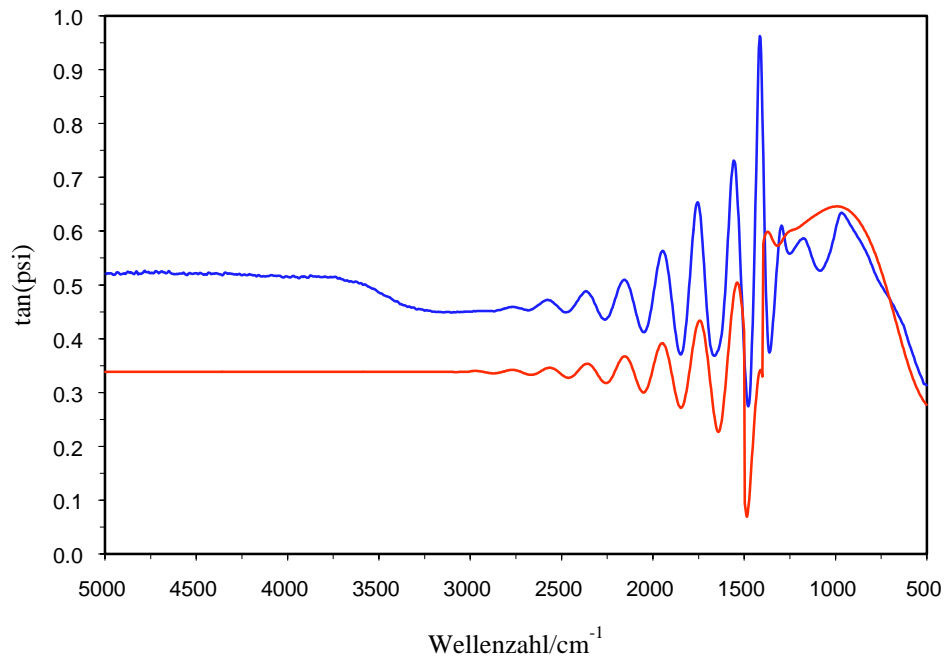


Abbildung 11-71: Experimentelles (blau) und berechnetes (rot) $\tan\Psi$ -Spektrum der Probe GS-5.

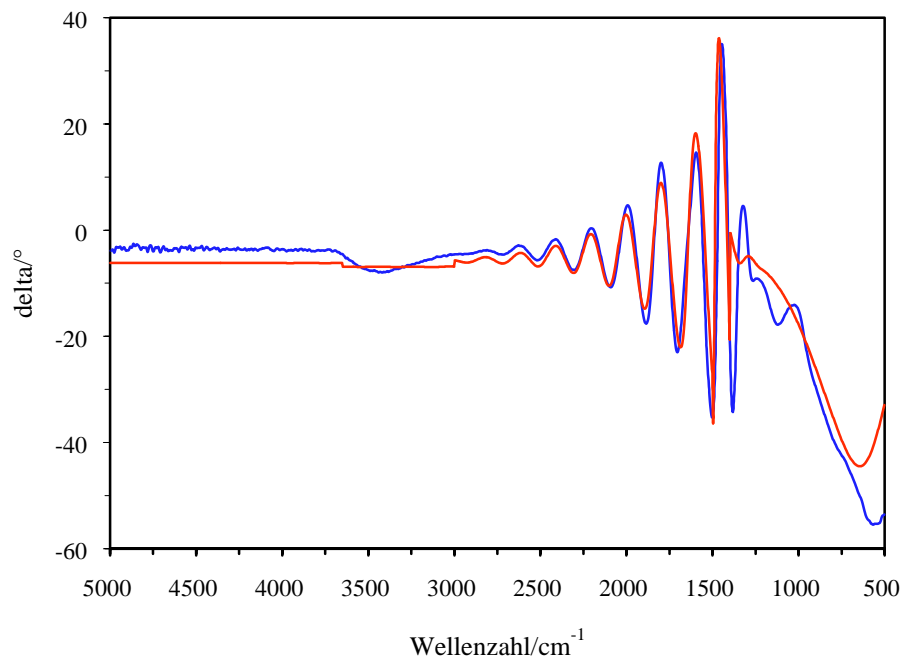


Abbildung 11-72: Experimentelles (blau) und berechnetes (rot) Δ -Spektrum der Probe GS-5.

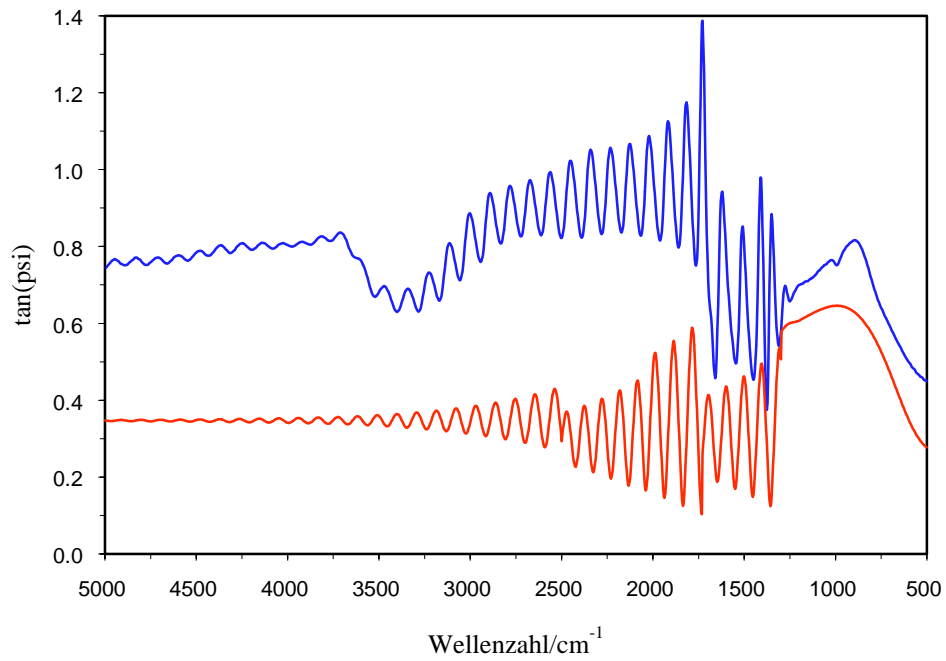


Abbildung 11-73: Experimentelles (blau) und berechnetes (rot) $\tan\Psi$ -Spektrum der Probe Weiß-1

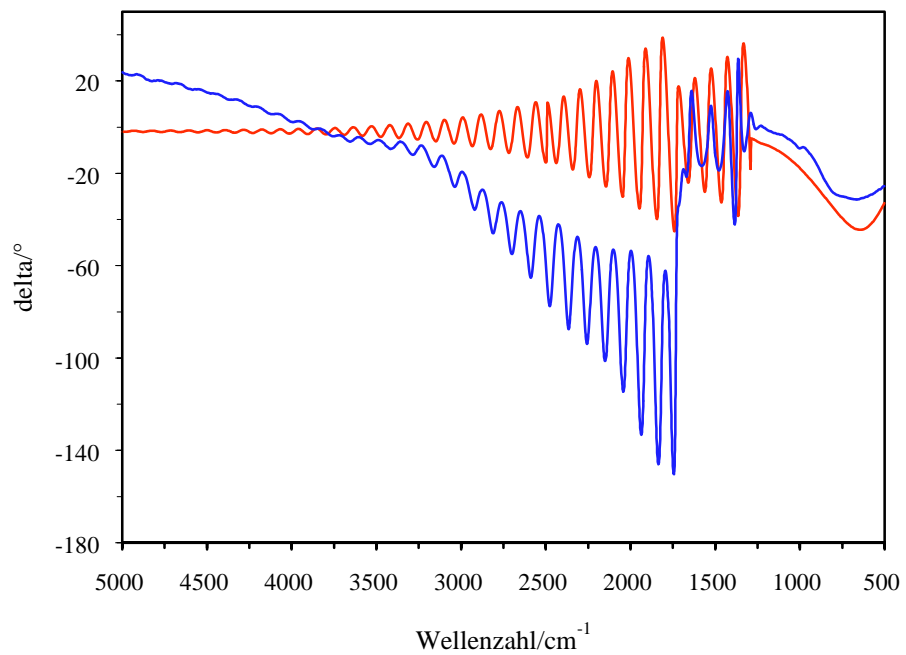


Abbildung 11-74: Experimentelles (blau) und berechnetes (rot) Δ -Spektrum der Probe Weiß-1.

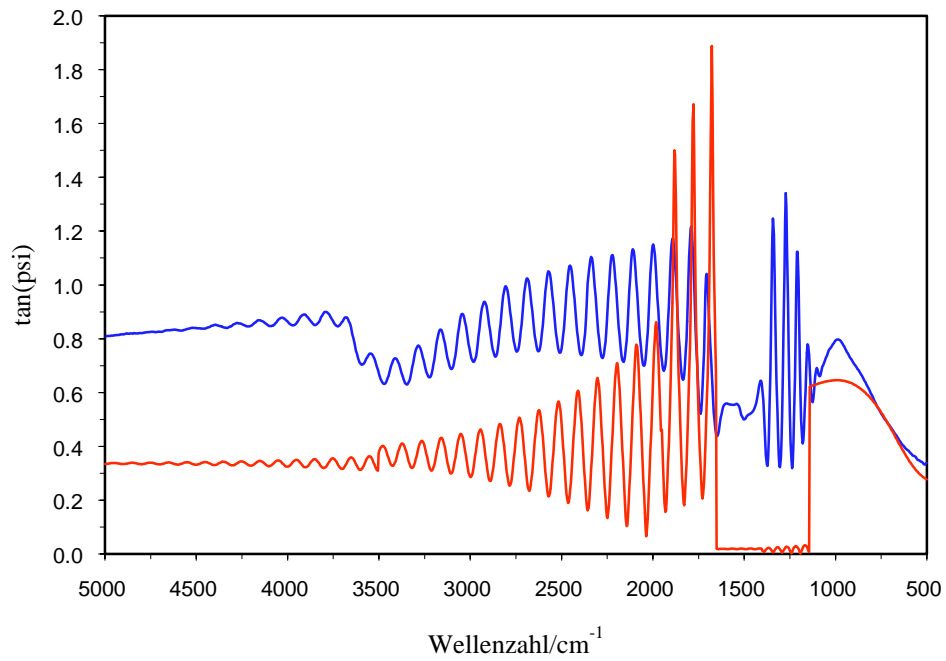


Abbildung 11-75: Experimentelles (blau) und berechnetes (rot) $\tan\Psi$ -Spektrum der Probe Weiß-2.

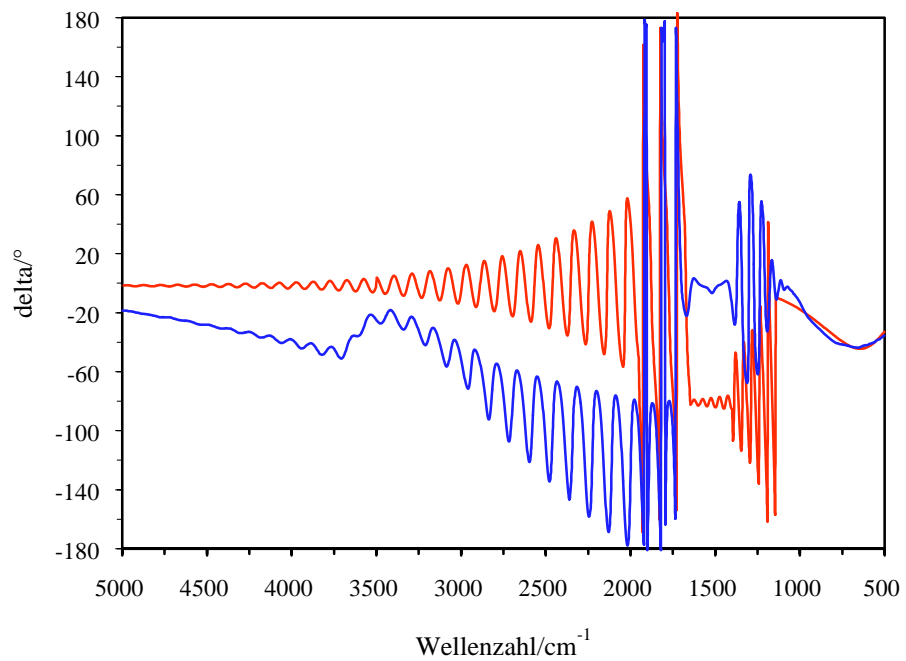


Abbildung 11-76: Experimentelles (blau) und berechnetes (rot) Δ -Spektrum der Probe Weiß-2.

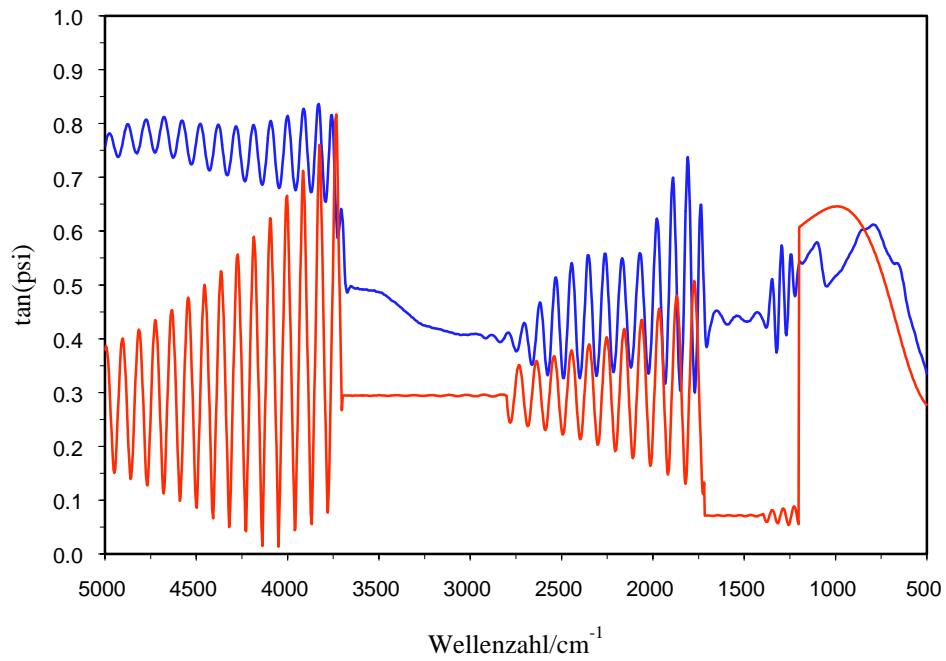


Abbildung 11-77: Experimentelles (blau) und berechnetes (rot) $\tan\Psi$ -Spektrum der Probe Weiß-3.

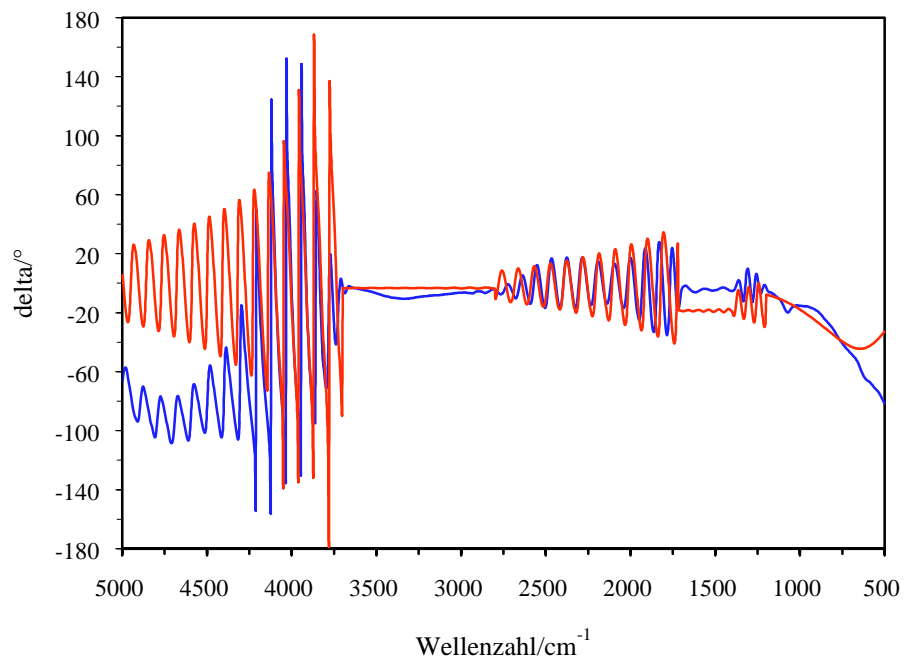


Abbildung 11-78: Experimentelles (blau) und berechnetes (rot) Δ -Spektrum der Probe Weiß-3.

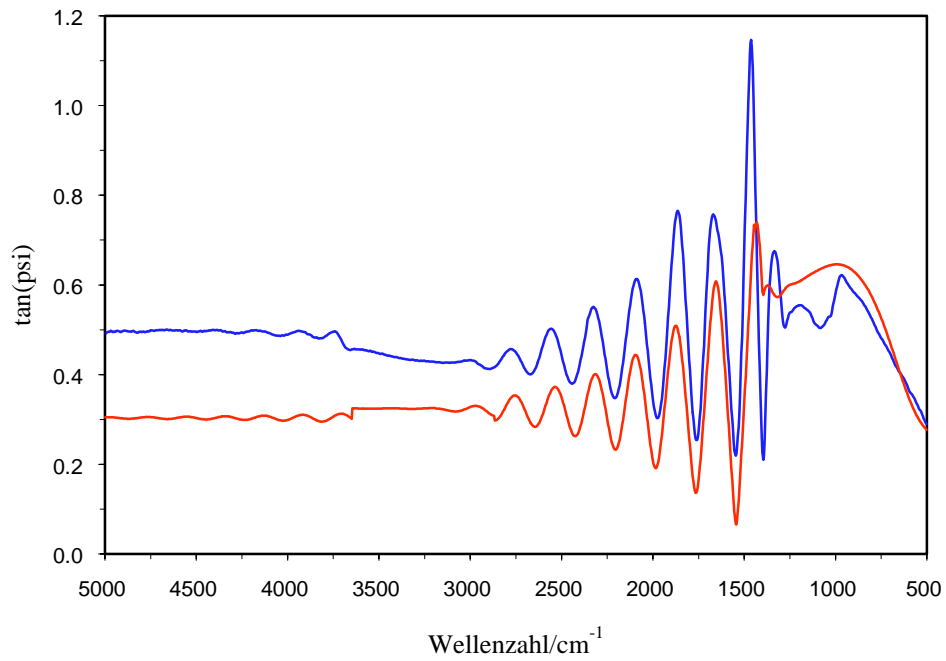


Abbildung 11-79: Experimentelles (blau) und berechnetes (rot) $\tan\Psi$ -Spektrum der Probe Color-A.

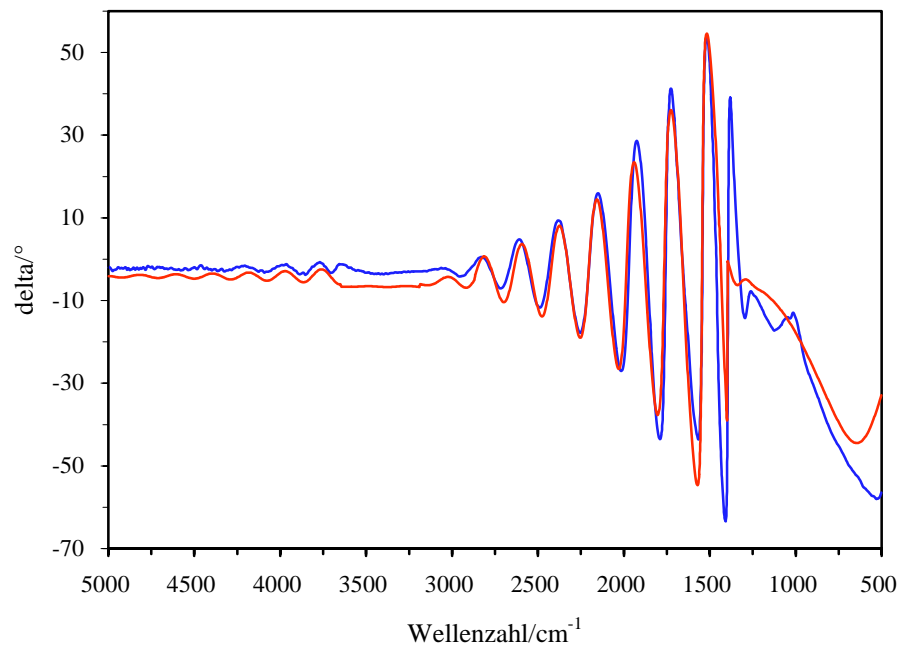


Abbildung 11-80: Experimentelles (blau) und berechnetes (rot) Δ -Spektrum der Probe Color-A.

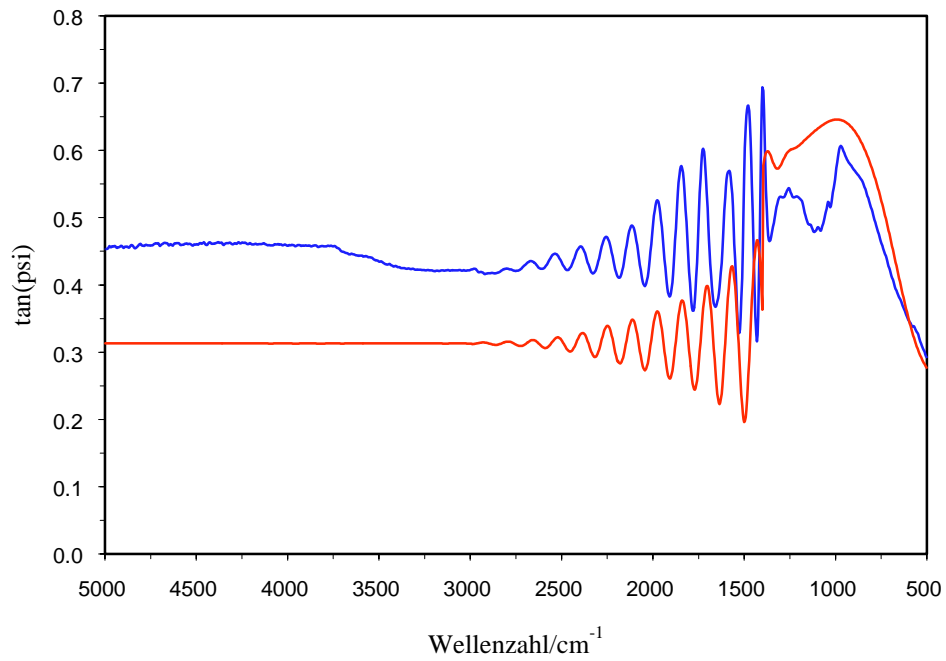


Abbildung 11-81: Experimentelles (blau) und berechnetes (rot) $\tan\Psi$ -Spektrum der Probe Color-B.

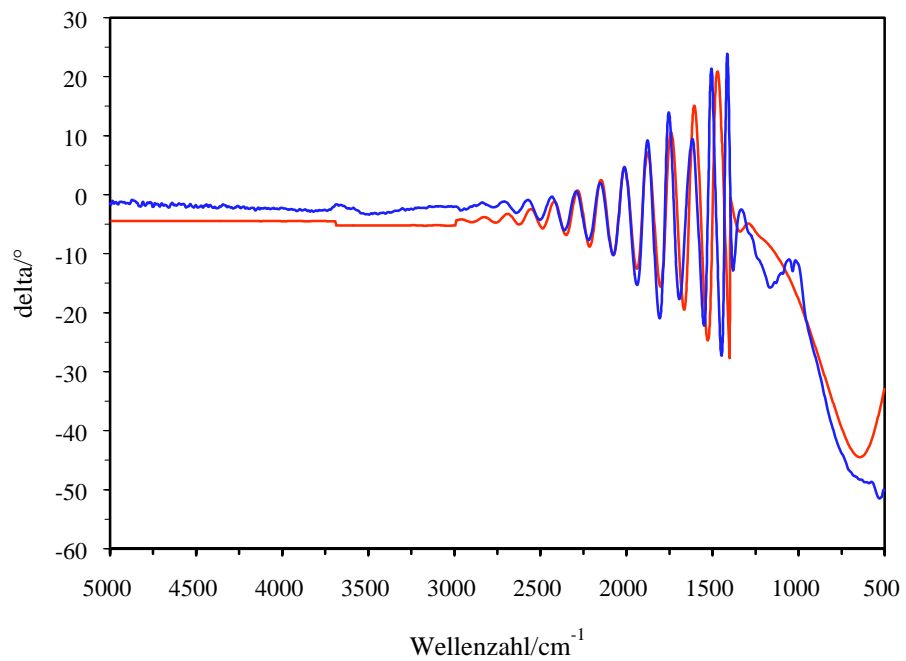


Abbildung 11-82: Experimentelles (blau) und berechnetes (rot) Δ -Spektrum der Probe Color-B.

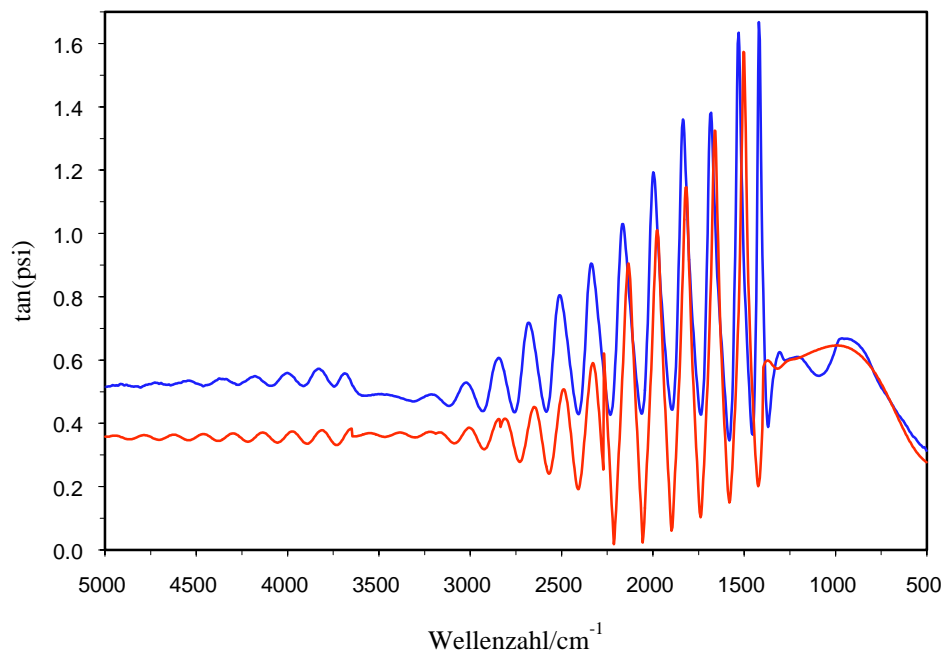


Abbildung 11-83: Experimentelles (blau) und berechnetes (rot) $\tan\Psi$ -Spektrum der Probe Color-C.

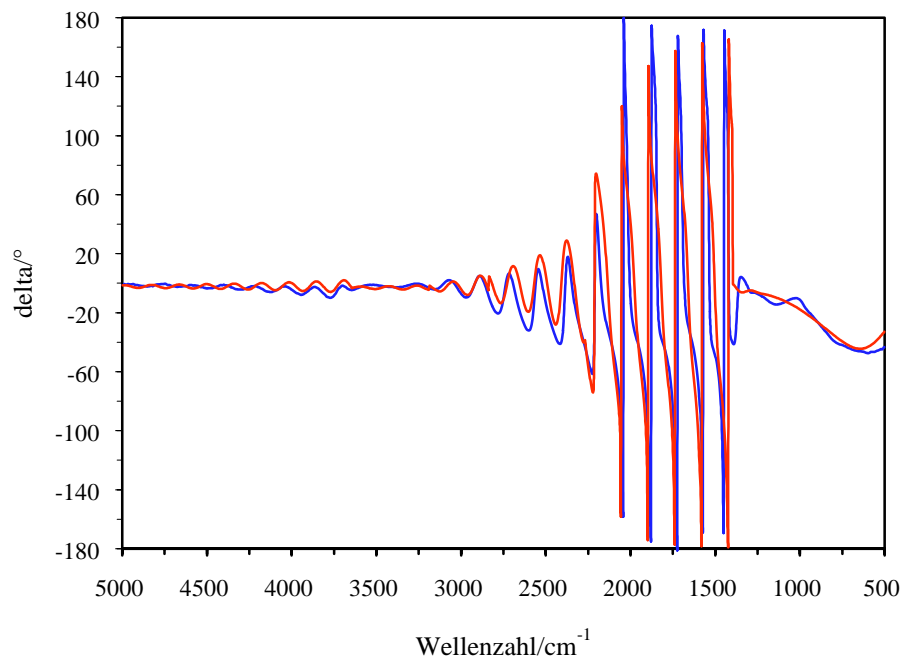


Abbildung 11-84: Experimentelles (blau) und berechnetes (rot) Δ -Spektrum der Probe Color-C.

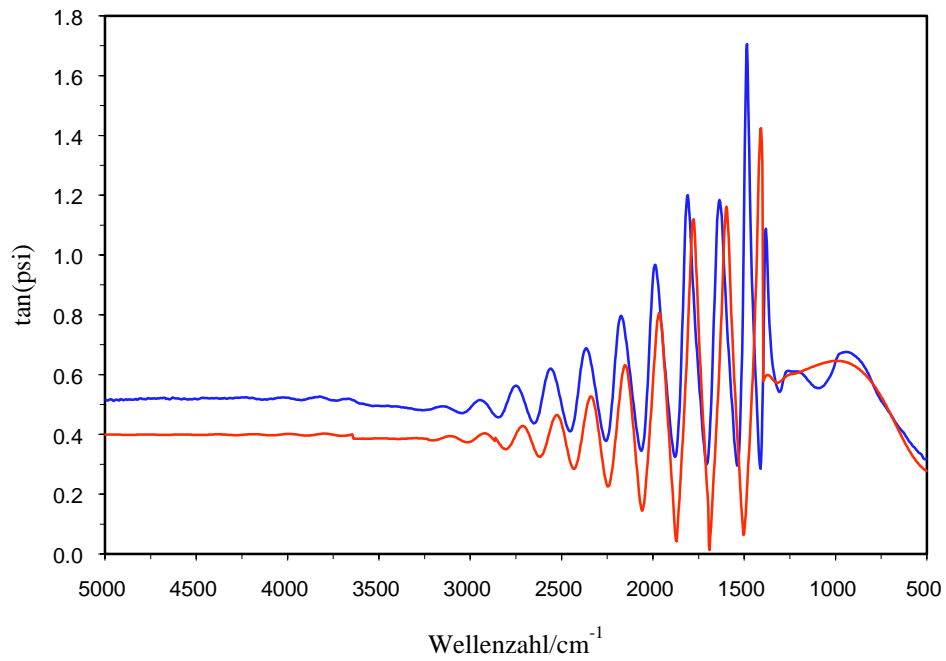


Abbildung 11-85: Experimentelles (blau) und berechnetes (rot) $\tan\Psi$ -Spektrum der Probe Color-D.

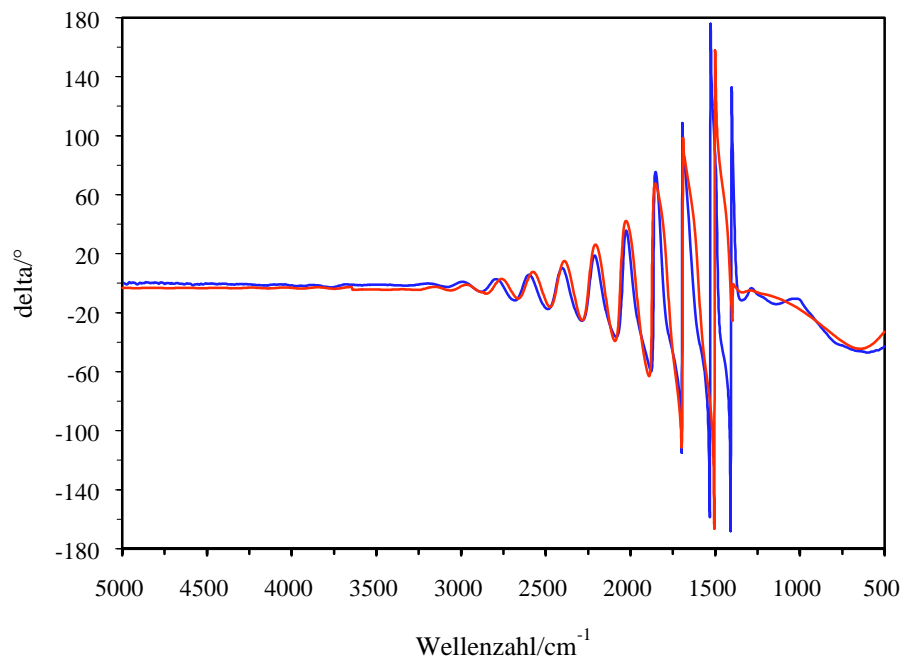


Abbildung 11-86: Experimentelles (blau) und berechnetes (rot) Δ -Spektrum der Probe Color-D.

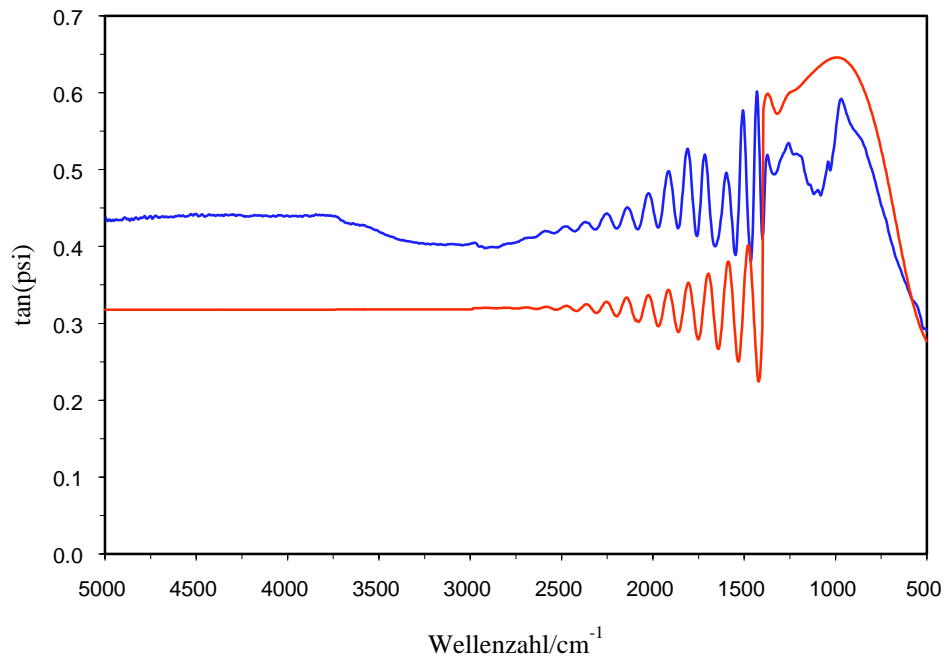


Abbildung 11-87: Experimentelles (blau) und berechnetes (rot) $\tan\Psi$ -Spektrum der Probe Color-E.

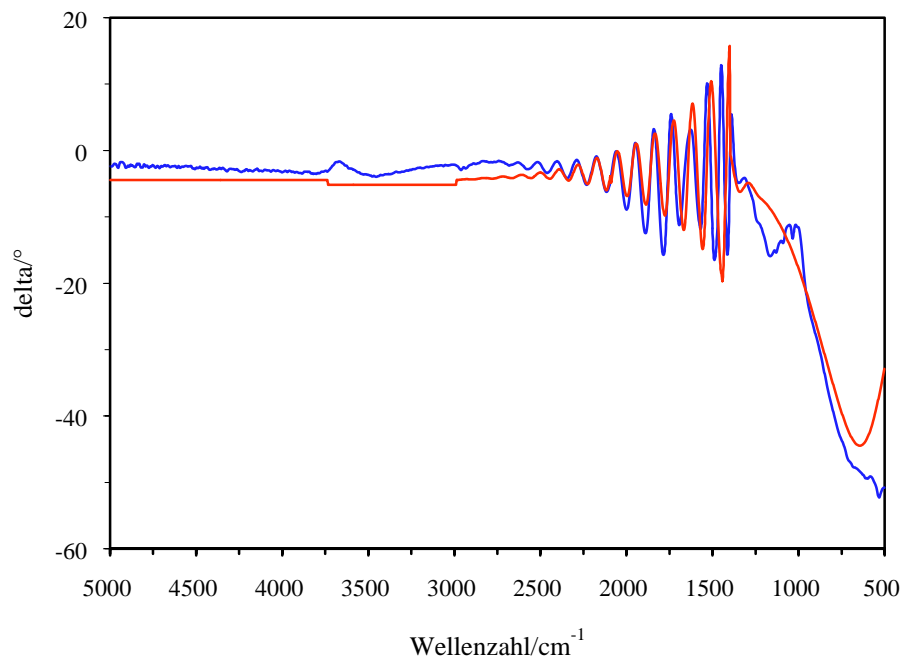


Abbildung 11-88: Experimentelles (blau) und berechnetes (rot) Δ -Spektrum der Probe Color-E.

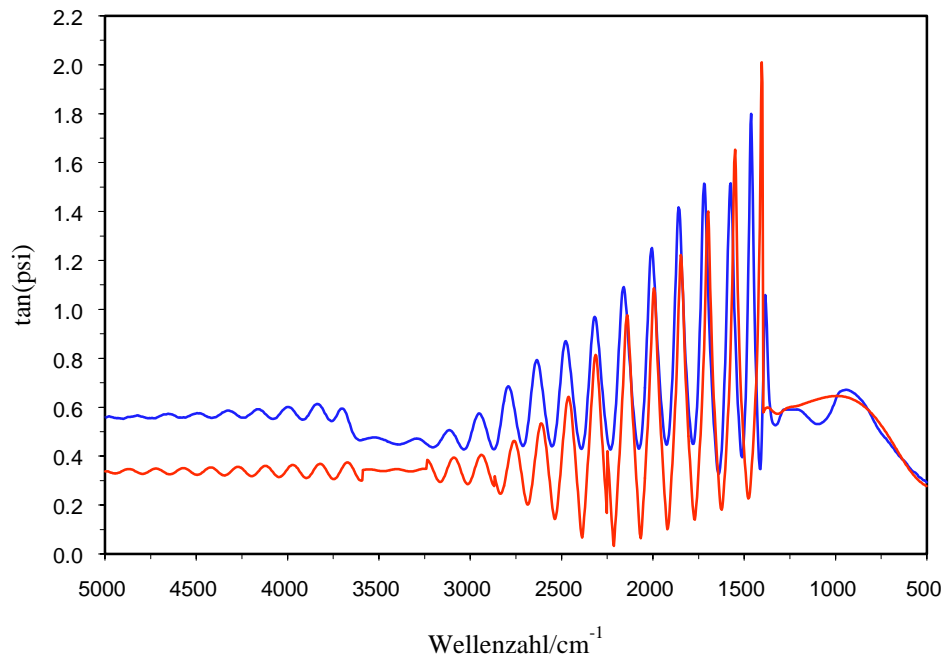


Abbildung 11-89: Experimentelles (blau) und berechnetes (rot) $\tan\Psi$ -Spektrum der Probe Color-0.

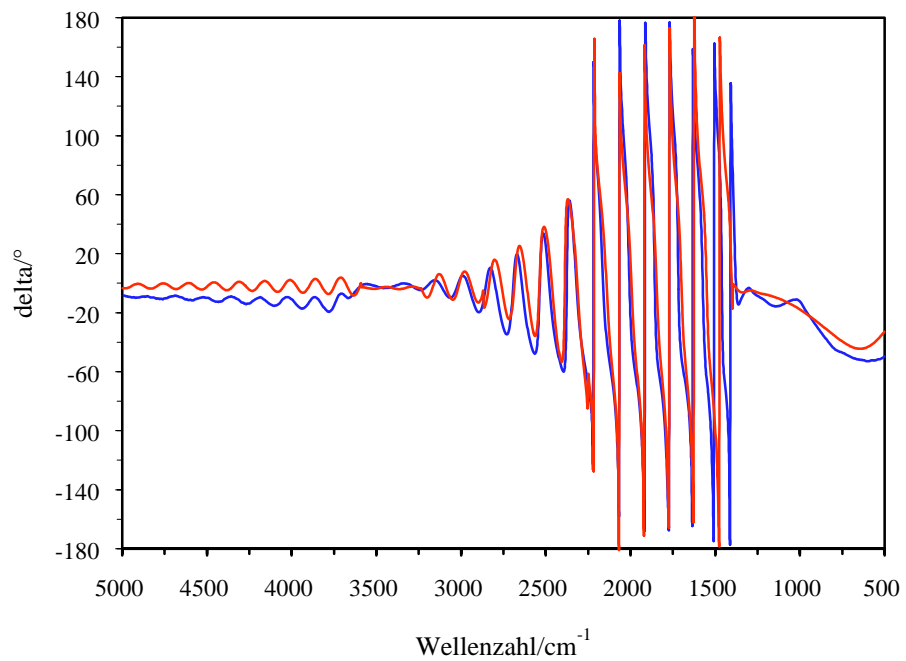


Abbildung 11-90: Experimentelles (blau) und berechnetes (rot) Δ -Spektrum der Probe Color-0.

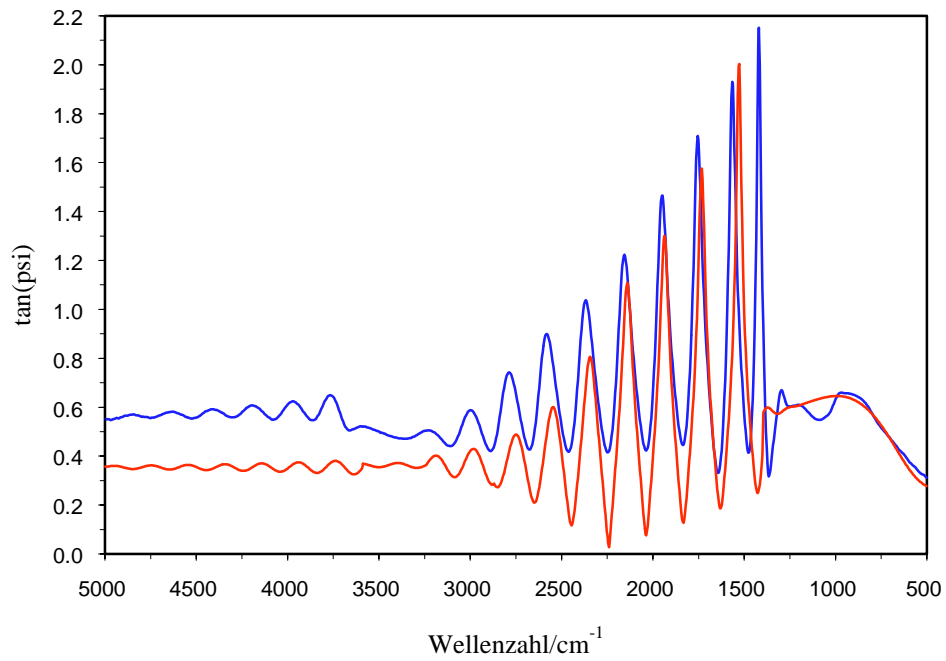


Abbildung 11-61: Experimentelles (blau) und berechnetes (rot) $\tan\Psi$ -Spektrum der Probe Color-1.

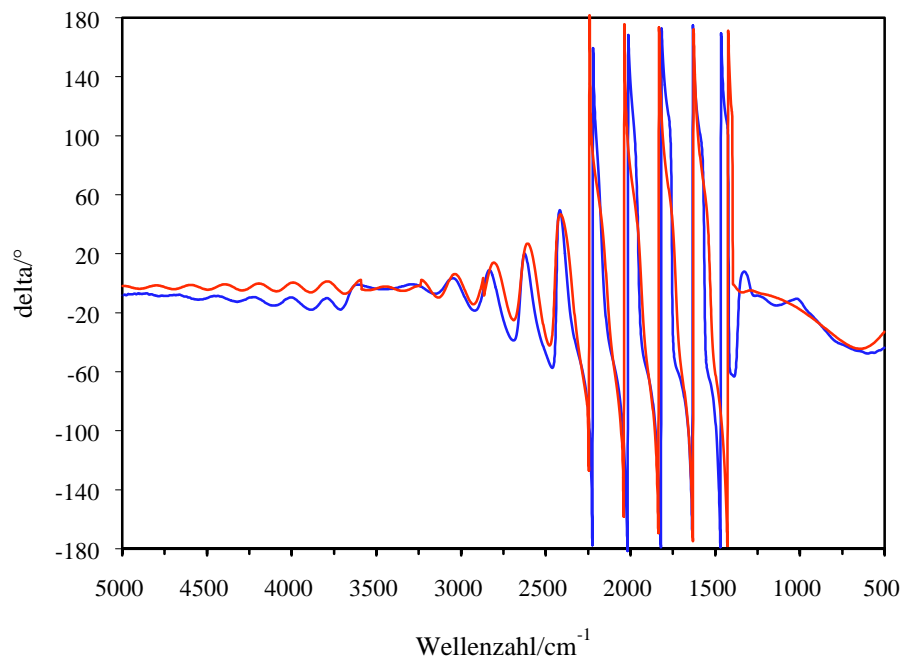


Abbildung 11-62: Experimentelles (blau) und berechnetes (rot) Δ -Spektrum der Probe Color-1.

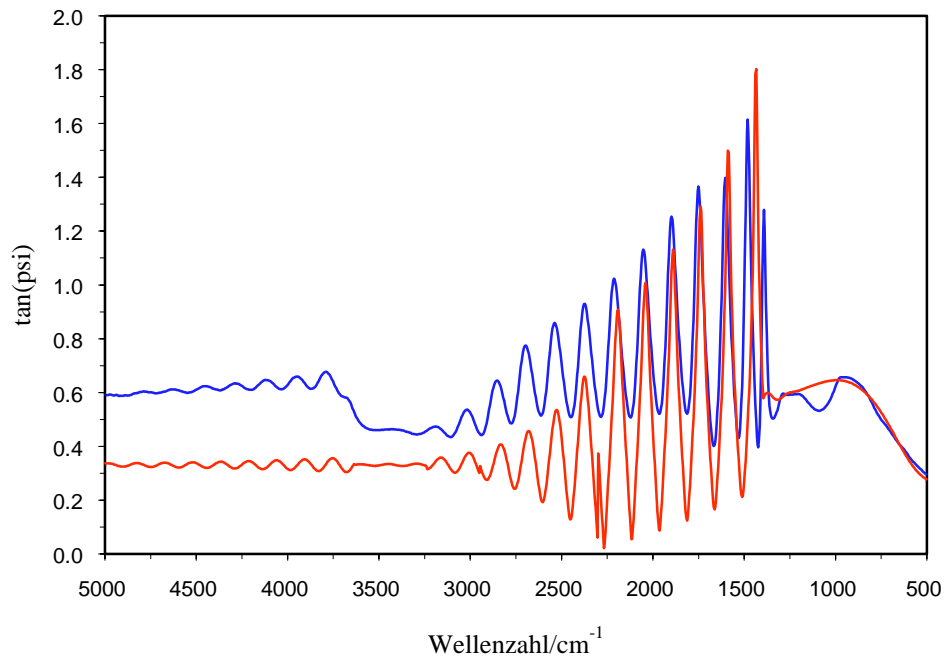


Abbildung 11-63: Experimentelles (blau) und berechnetes (rot) $\tan\Psi$ -Spektrum der Probe Color-2.

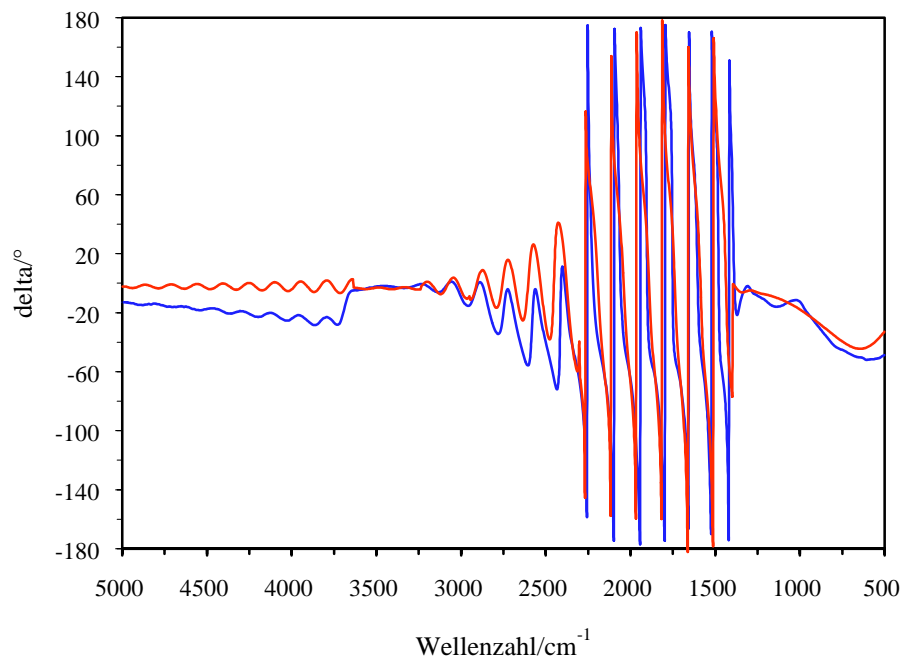


Abbildung 11-64: Experimentelles (blau) und berechnetes (rot) Δ -Spektrum der Probe Color-2.

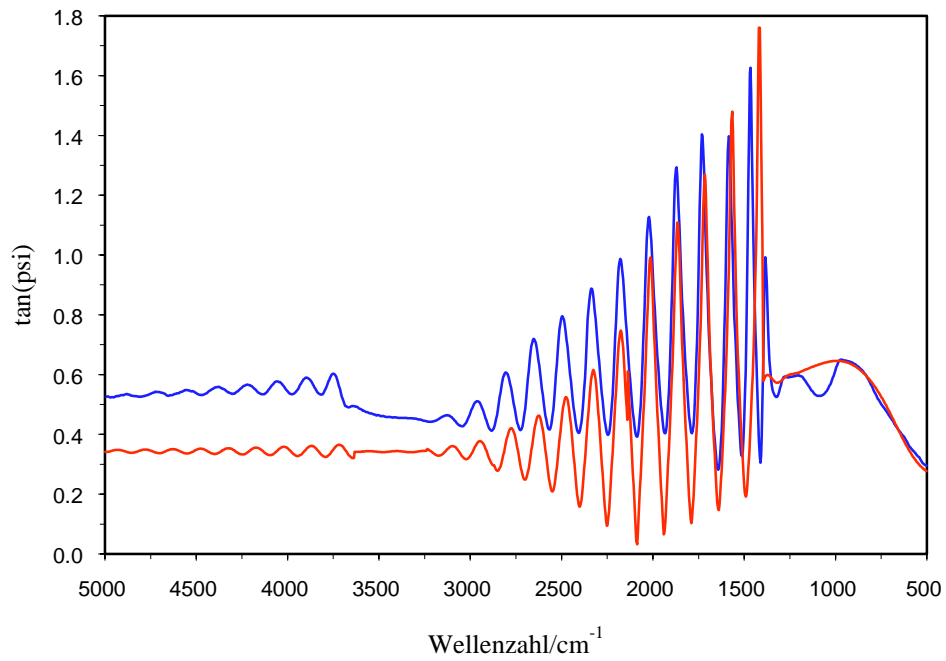


Abbildung 11-65: Experimentelles (blau) und berechnetes (rot) $\tan\Psi$ -Spektrum der Probe Color-3.

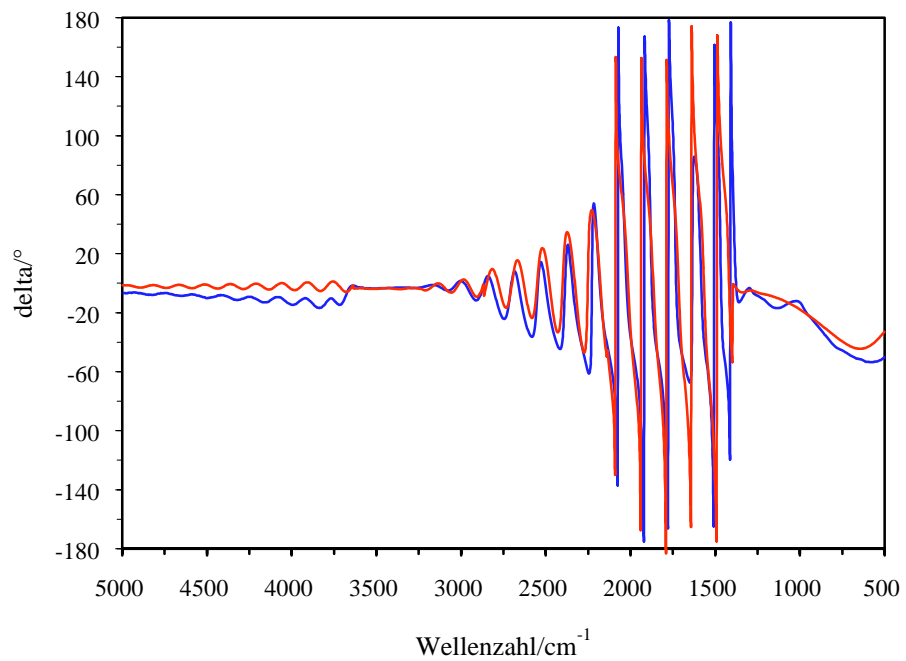


Abbildung 11-66: Experimentelles (blau) und berechnetes (rot) Δ -Spektrum der Probe Color-3.

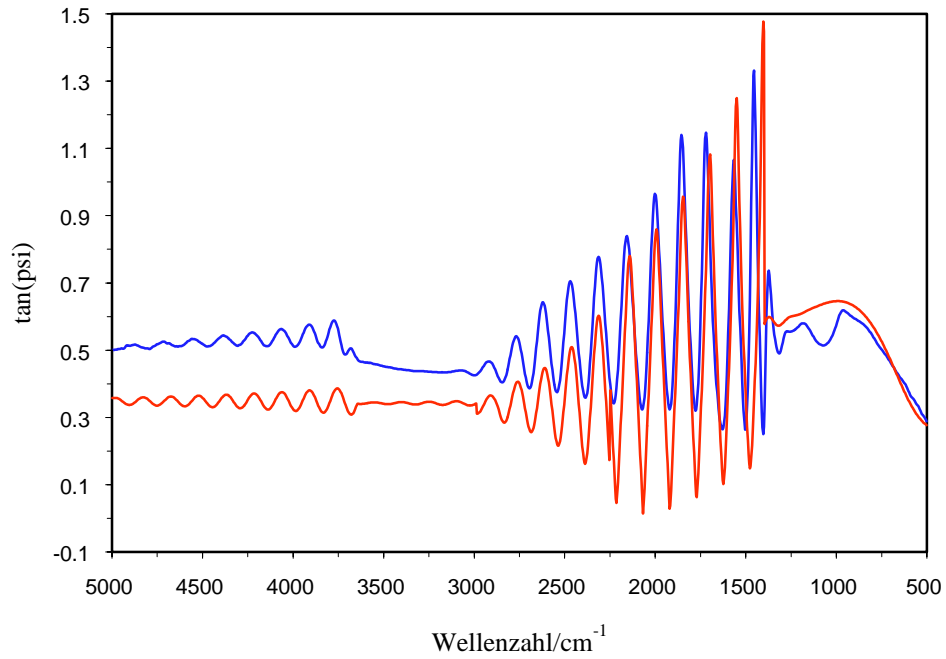


Abbildung 11-67: Experimentelles (blau) und berechnetes (rot) $\tan\Psi$ -Spektrum der Probe Color-3v.

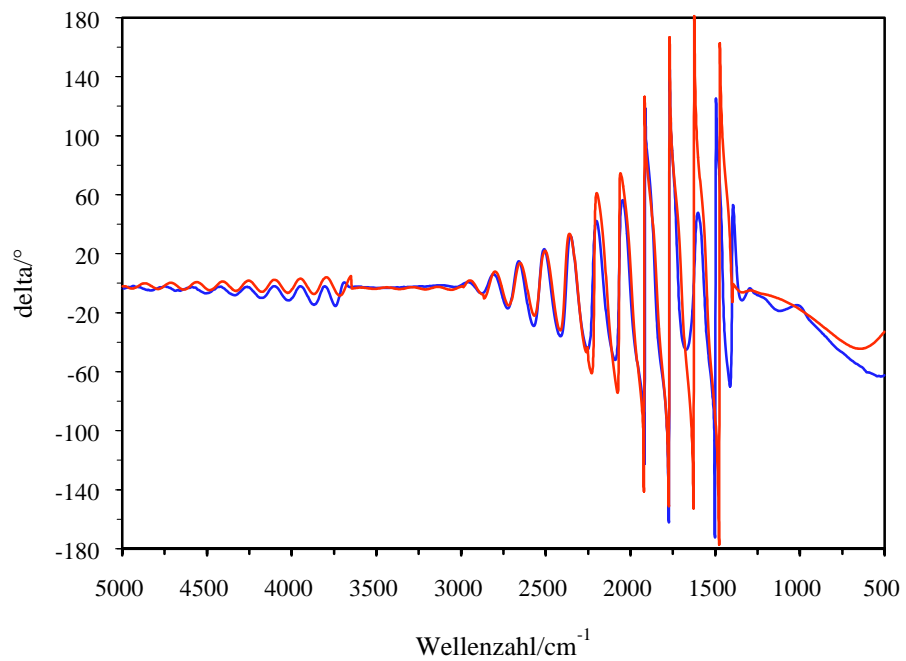


Abbildung 11-68: Experimentelles (blau) und berechnetes (rot) Δ -Spektrum der Probe Color-3v.

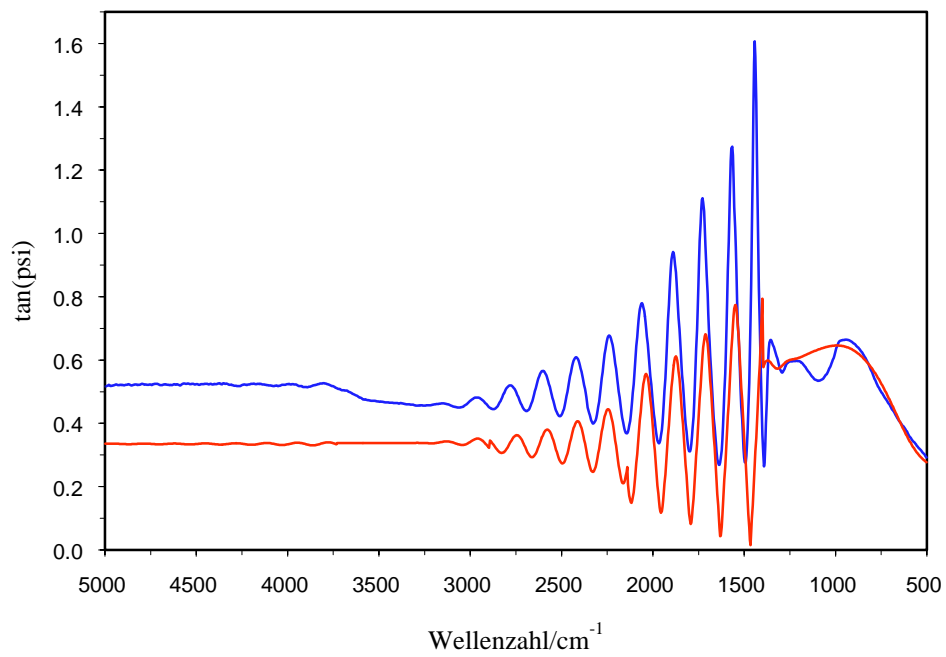


Abbildung 11-69: Experimentelles (blau) und berechnetes (rot) $\tan\Psi$ -Spektrum der Probe Color-4.

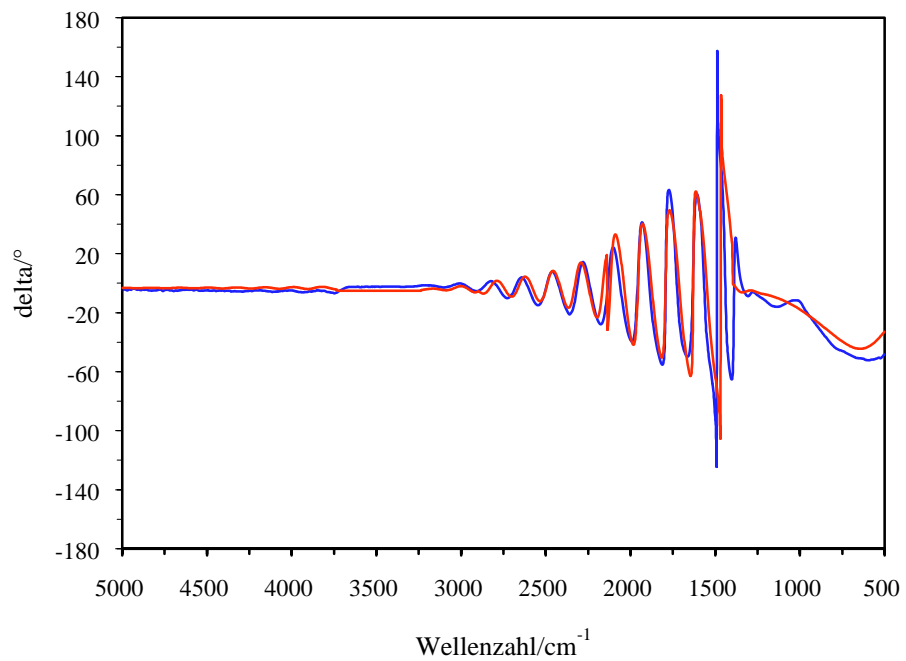


Abbildung 11-70: Experimentelles (blau) und berechnetes (rot) Δ -Spektrum der Probe Color-4.

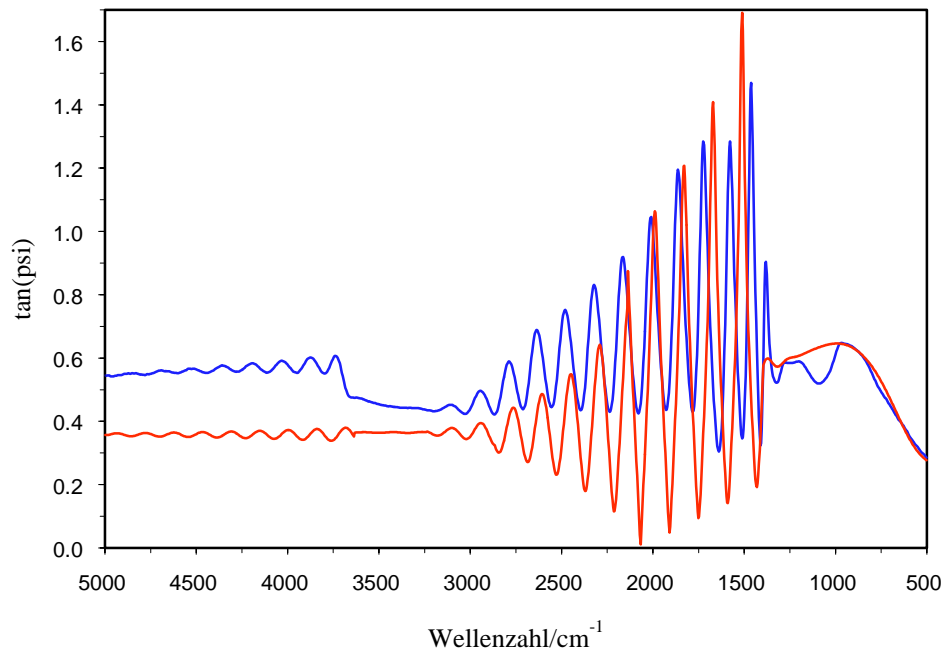


Abbildung 11-71: Experimentelles (blau) und berechnetes (rot) $\tan\Psi$ -Spektrum der Probe Color-5.

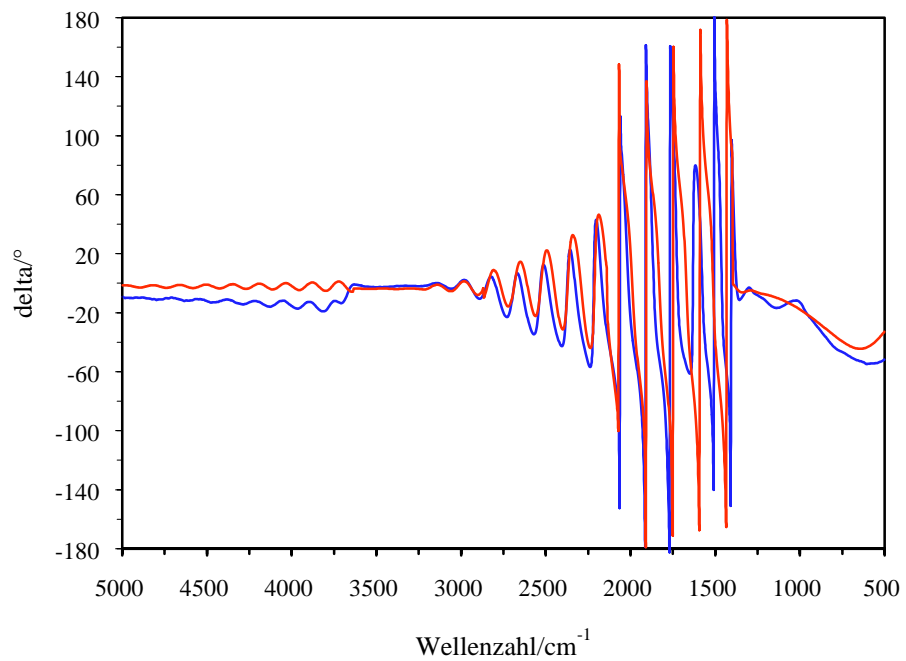


Abbildung 11-72: Experimentelles (blau) und berechnetes (rot) Δ -Spektrum der Probe Color-5.

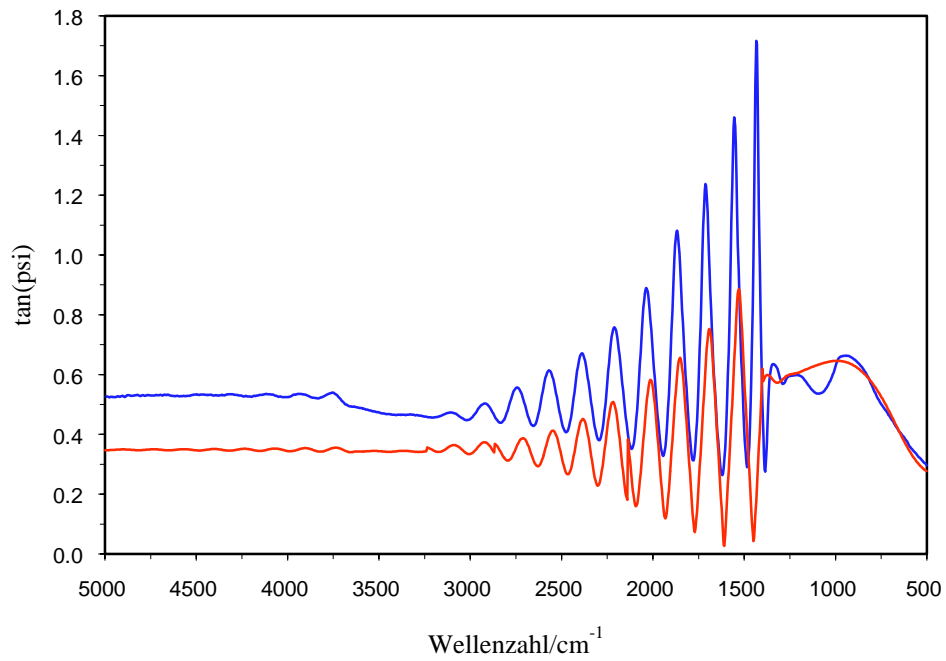


Abbildung 11-73: Experimentelles (blau) und berechnetes (rot) $\tan\Psi$ -Spektrum der Probe Color-6.

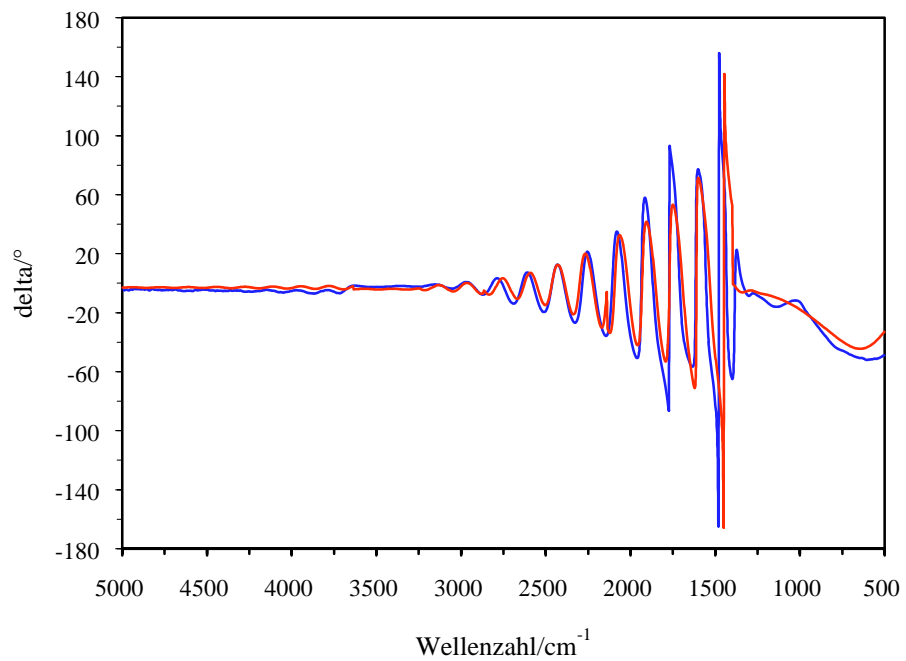


Abbildung 11-74: Experimentelles (blau) und berechnetes (rot) Δ -Spektrum der Probe Color-6.

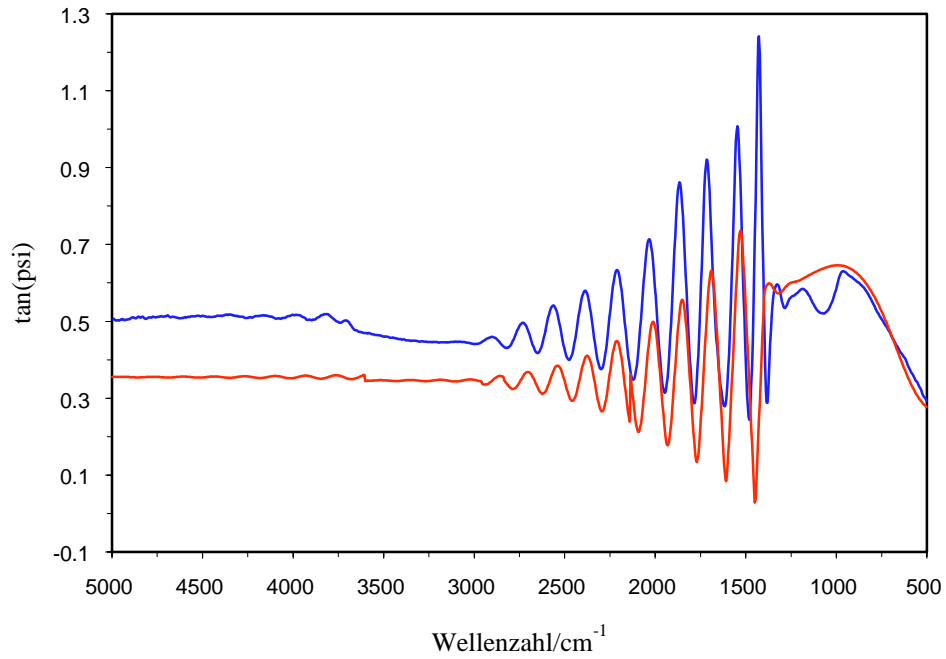


Abbildung 11-75: Experimentelles (blau) und berechnetes (rot) $\tan\Psi$ -Spektrum der Probe Color-6v.

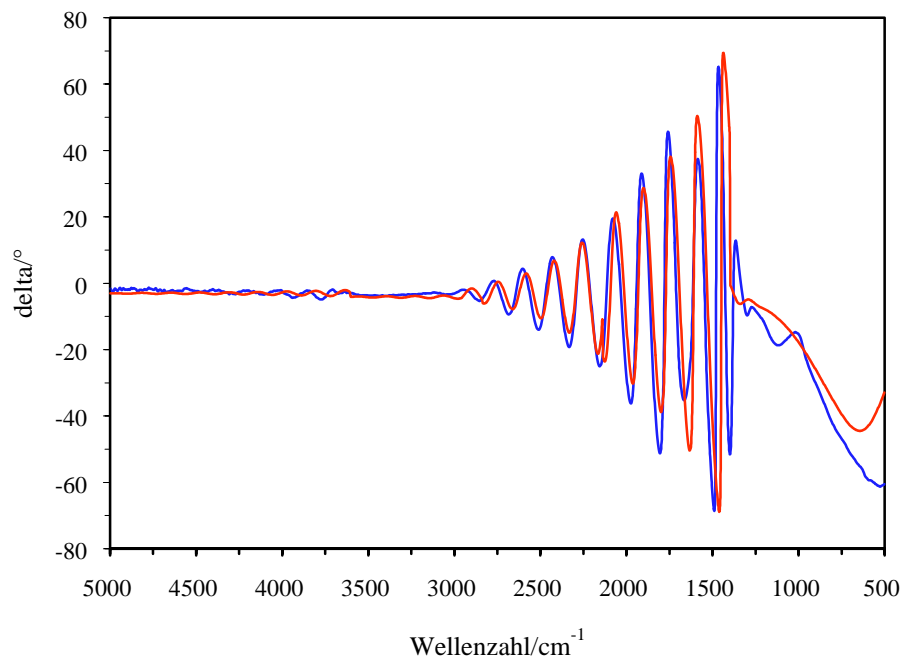


Abbildung 11-76: Experimentelles (blau) und berechnetes (rot) Δ -Spektrum der Probe Color-6v.

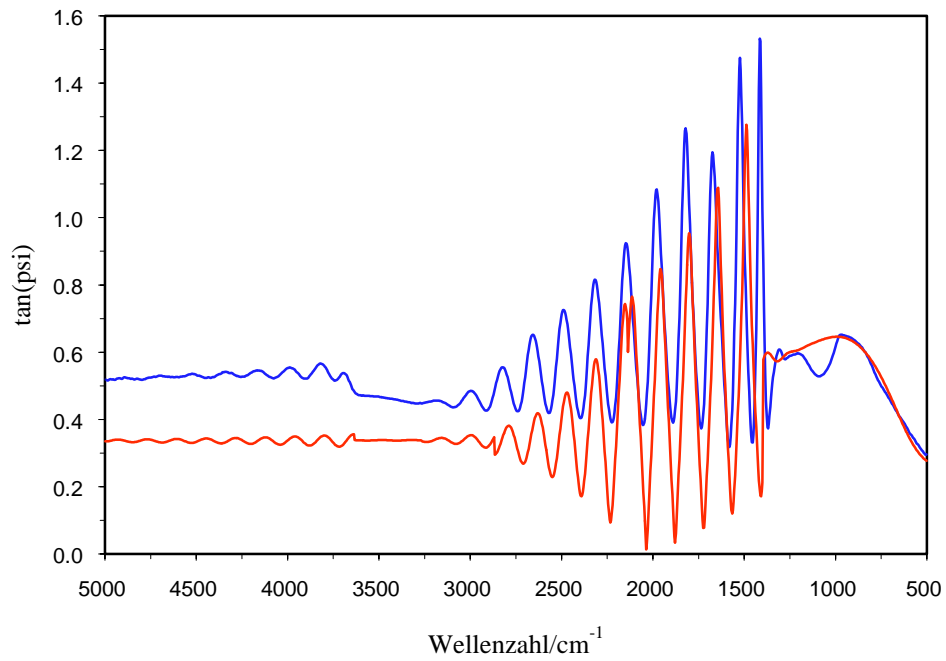


Abbildung 11-77: Experimentelles (blau) und berechnetes (rot) $\tan\Psi$ -Spektrum der Probe Color-7.

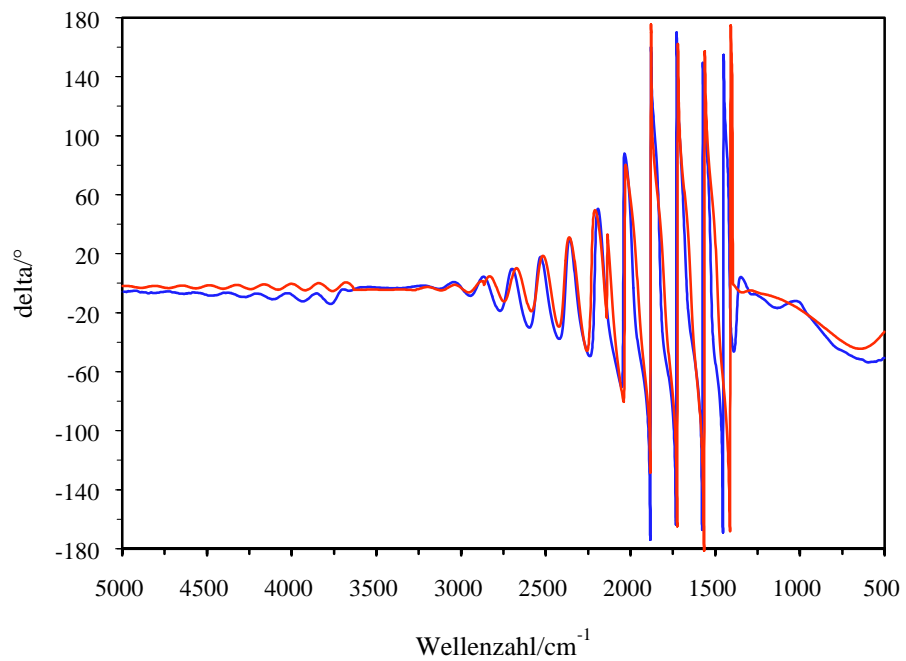


Abbildung 11-78: Experimentelles (blau) und berechnetes (rot) Δ -Spektrum der Probe Color-7.

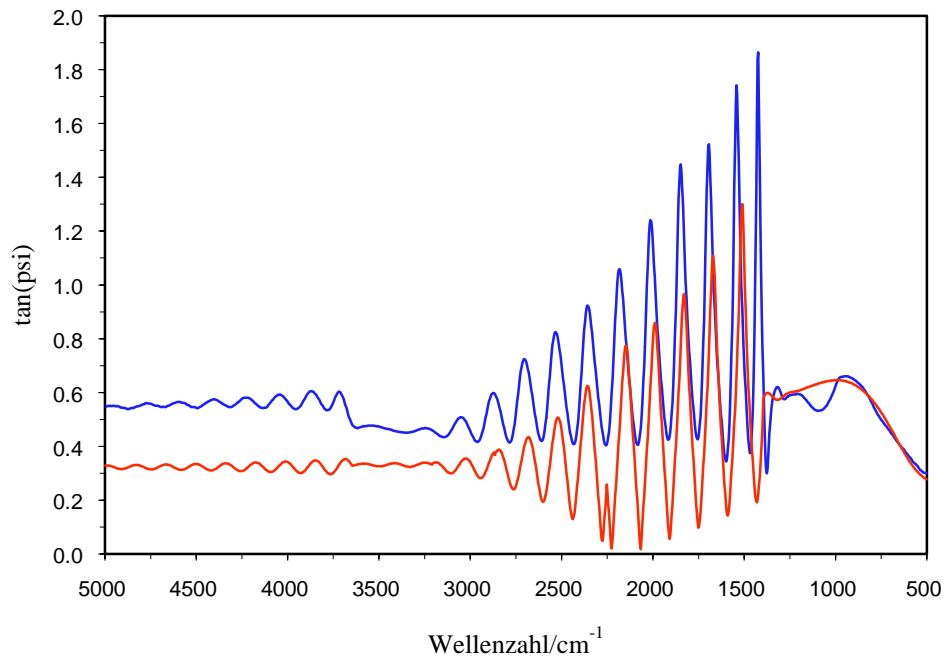


Abbildung 11-79: Experimentelles (blau) und berechnetes (rot) $\tan\Psi$ -Spektrum der Probe Color-8.

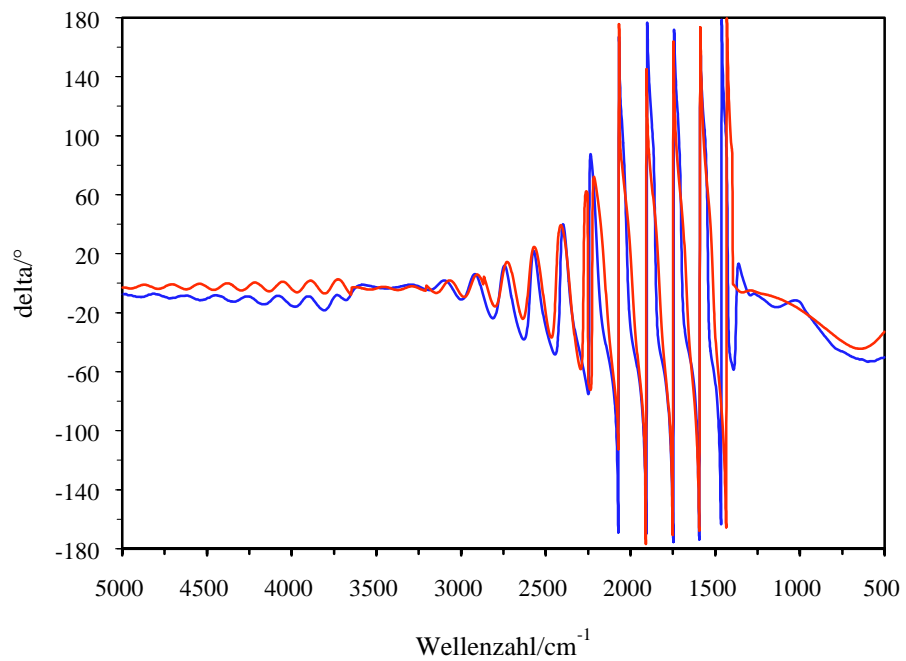


Abbildung 11-80: Experimentelles (blau) und berechnetes (rot) Δ -Spektrum der Probe Color-8.

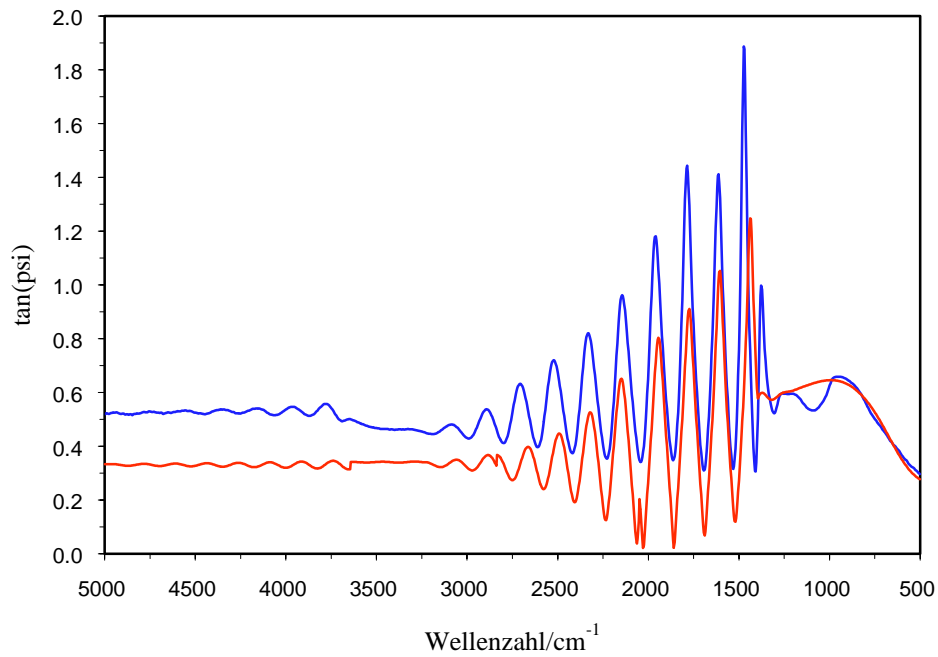


Abbildung 11-81: Experimentelles (blau) und berechnetes (rot) $\tan\Psi$ -Spektrum der Probe Color-9.

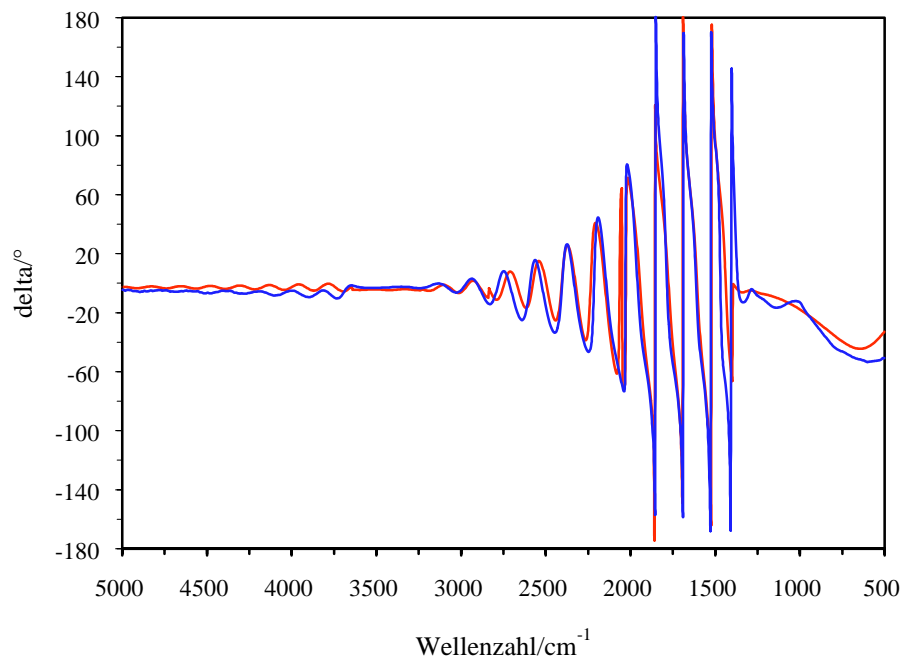


Abbildung 11-82: Experimentelles (blau) und berechnetes (rot) Δ -Spektrum der Probe Color-9.

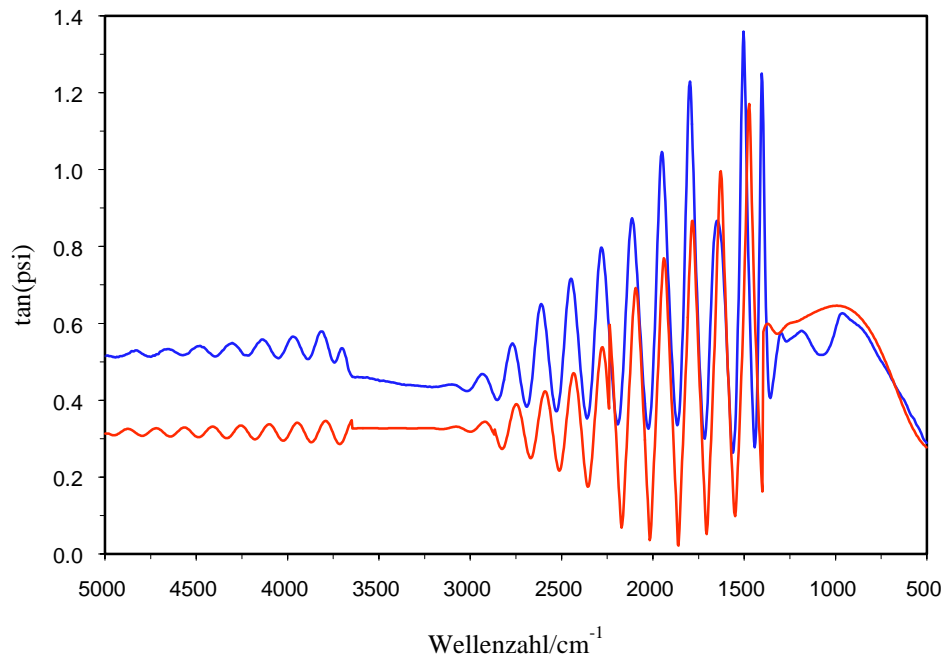


Abbildung 11-83: Experimentelles (blau) und berechnetes (rot) $\tan\Psi$ -Spektrum der Probe Color-9v.

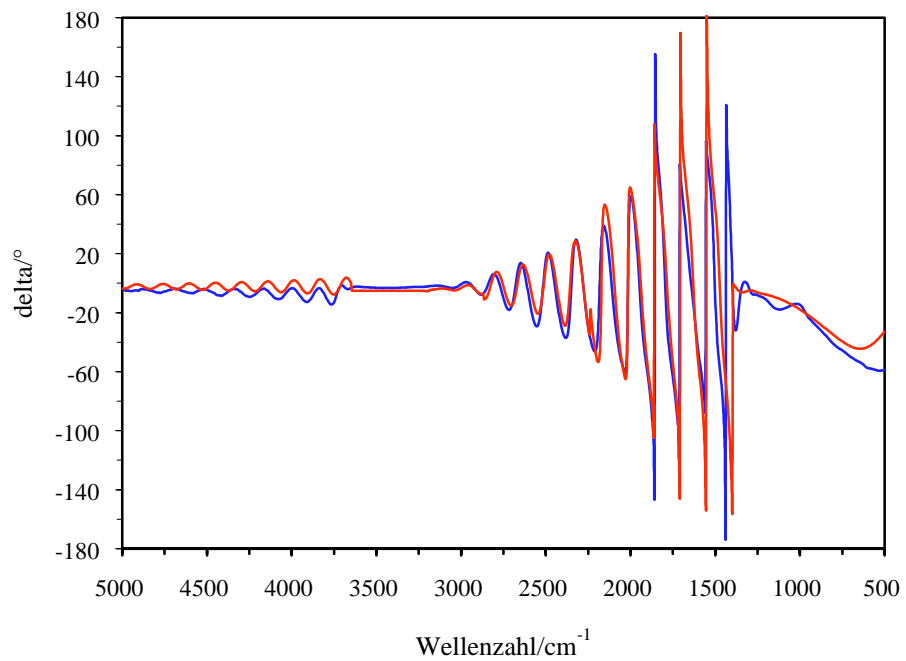


Abbildung 11-84: Experimentelles (blau) und berechnetes (rot) Δ -Spektrum der Probe Color-9v.

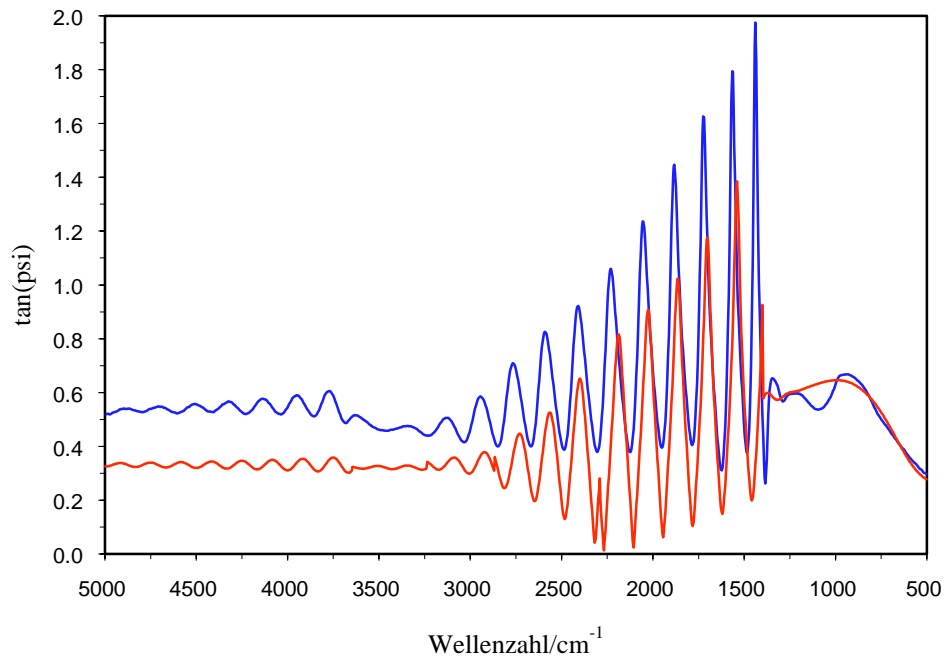


Abbildung 11-85: Experimentelles (blau) und berechnetes (rot) $\tan\Psi$ -Spektrum der Probe Color-10.

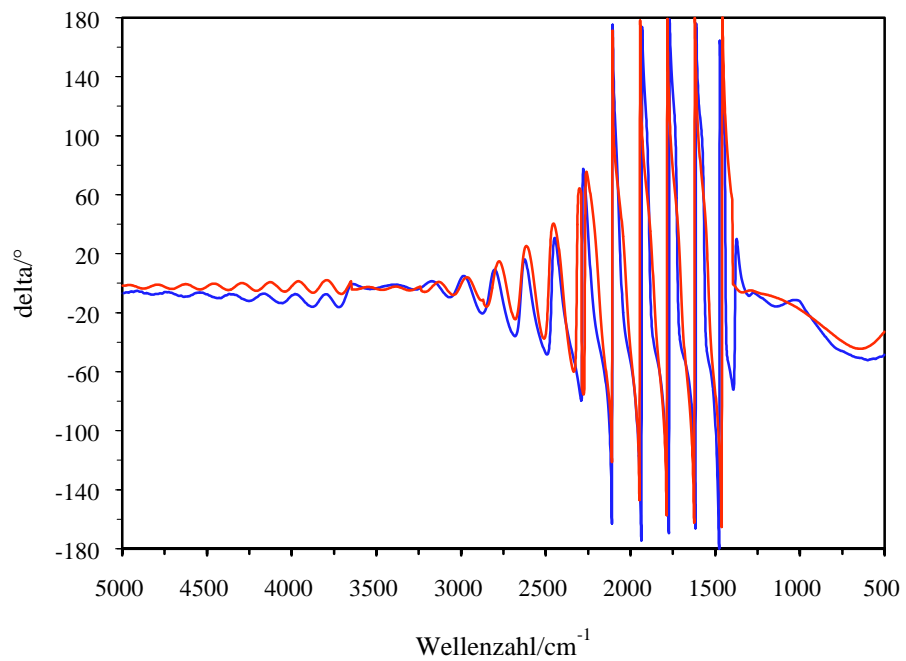


Abbildung 11-86: Experimentelles (blau) und berechnetes (rot) Δ -Spektrum der Probe Color-10.

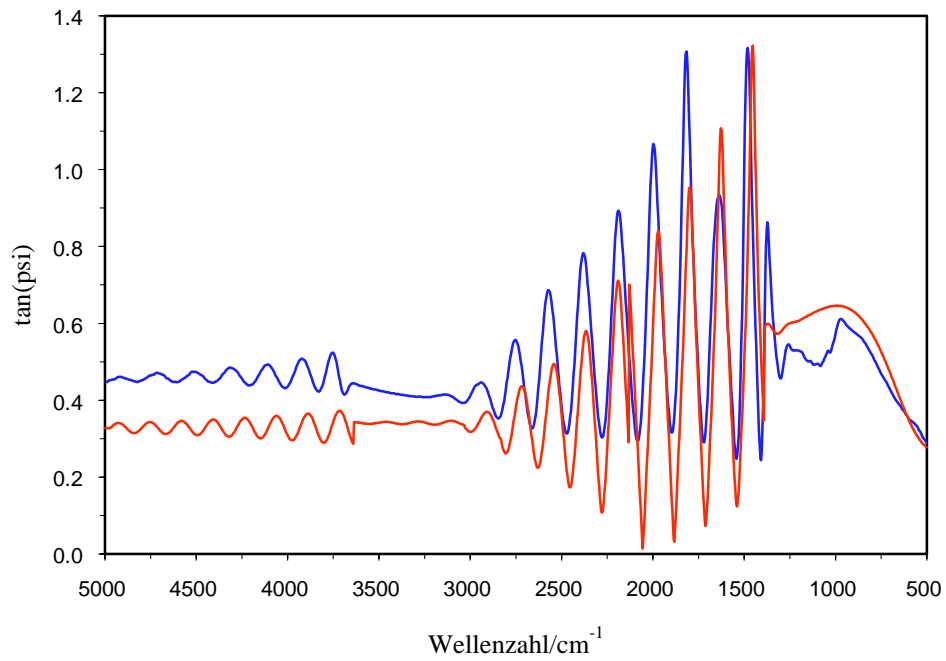


Abbildung 11-87: Experimentelles (blau) und berechnetes (rot) $\tan\Psi$ -Spektrum der Probe Color-11.

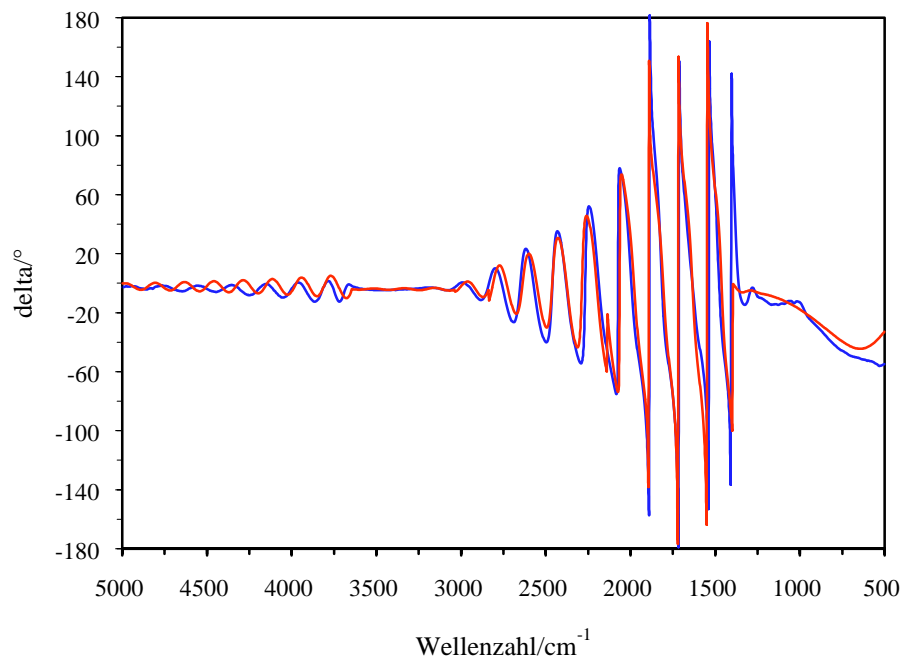


Abbildung 11-88: Experimentelles (blau) und berechnetes (rot) Δ -Spektrum der Probe Color-11.

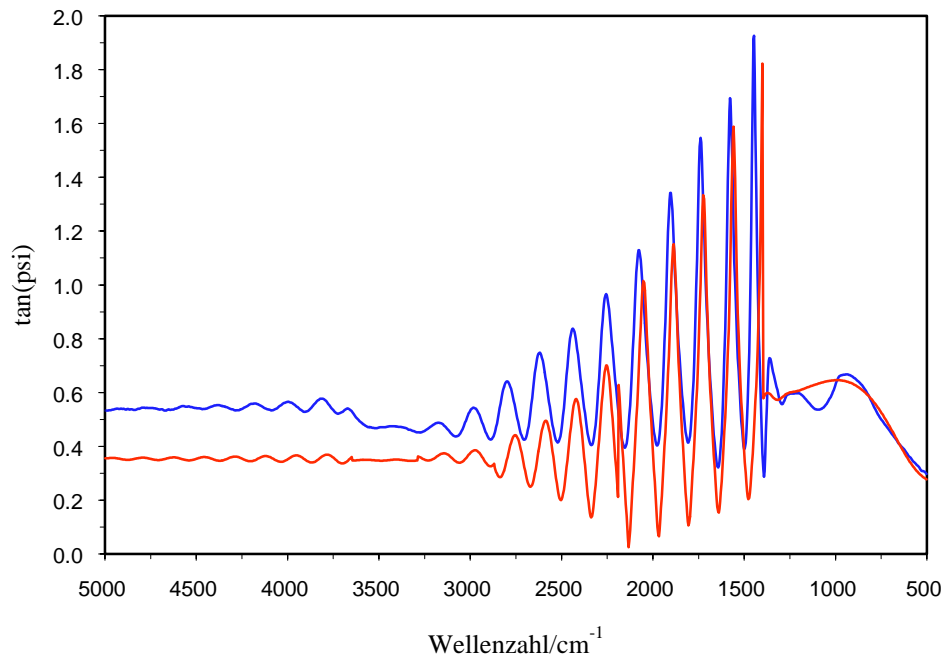


Abbildung 11-89: Experimentelles (blau) und berechnetes (rot) $\tan\Psi$ -Spektrum der Probe Color-12.

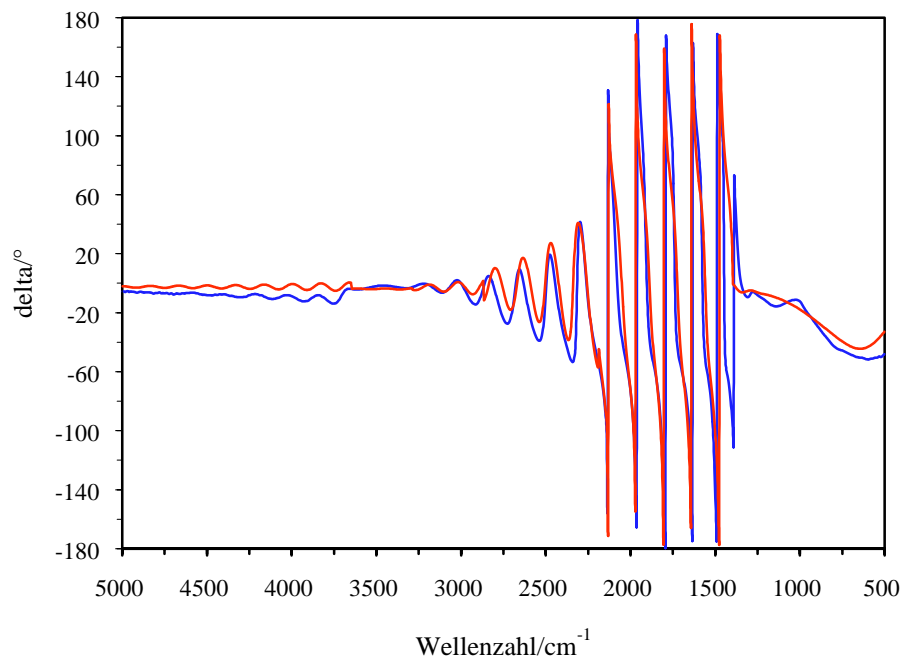


Abbildung 11-90: Experimentelles (blau) und berechnetes (rot) Δ -Spektrum der Probe Color-12.

11.2 Tabellen

11.2.1 Schichtdickenbestimmung

Tabelle 11-1: Schichtdickenbestimmung der untersuchten Proben, ermittelt nach dem Wirbelstromverfahren.

Probe	d / μm					\bar{d} / μm	σ_d / μm
	1	2	3	4	5		
Dün-1	7	6	7	7	8	7	0,7
GS-1	19	20	19	19	19	19	0,4
GS-2	19	19	18	20	19	19	0,7
GS-3	19	19	19	18	18	19	0,5
GS-4	19	19	18	20	19	19	0,7
GS-5	19	19	19	20	19	19	0,4
Weiß-1	39	38	38	39	39	39	0,5
Weiß-2	36	37	37	37	37	37	0,4
Weiß-3	39	39	39	40	39	39	0,4
Color-A	17	16	17	19	17	17	1,1
Color-B	27	28	27	27	27	27	0,4
Color-C	25	25	25	25	25	25	0,0
Color-D	23	22	23	23	23	23	0,4
Color-E	34	36	34	34	34	34	0,9
Color-0	26	26	24	26	26	26	0,9
Color-1	20	19	21	20	20	20	0,7
Color-2	25	25	25	25	24	25	0,4
Color-3	25	26	25	26	26	26	0,5
Color-3v	26	26	26	26	27	26	0,4
Color-4	22	23	23	23	24	23	0,9
Color-5	27	26	26	26	26	26	0,4
Color-6	24	24	24	23	23	24	0,5
Color-6v	25	24	24	24	24	24	0,4
Color-7	22	24	24	25	24	24	1,1
Color-8	21	23	23	23	23	23	0,9
Color-9	21	20	23	22	22	22	1,1
Color-9v	23	23	24	24	24	24	0,5
Color-10	23	23	22	23	23	23	0,4
Color-11	21	22	23	22	22	22	0,7
Color-12	22	24	24	24	24	24	0,9
Color-AlMgSi1	20	20	21	20	20	20	0,4
Color-Al99,5	19	20	20	20	20	20	0,4
Color-AC120	21	21	20	20	21	21	0,5

11.2.2 IR-Reflexionsspektren: Bandenzuordnung und Brechungsindexverlauf

Die kursiv gedruckten Werte wurden bei der Mittelwertberechnung nicht berücksichtigt.

Tabelle 11-2: Bandenzuordnung und Brechungsindexverlauf der 30°-Spektren der Probe Dün-1.

Bandenzuordnung	Bandenlage / cm ⁻¹			<i>n</i>		
	30	30p	30s	30	30p	30s
v(OH)	3088	3118	3117			
Interferenz	2456	2451	2452			
Interferenz	1844	1854	1842	1.27	1.30	1.27
v(AIO), δ(AIOH)	1142	1141	1148			
v(AIO), δ(AIOH)	956	951	958	\bar{n}	-	-

Tabelle 11-3: Bandenzuordnung und Brechungsindexverlauf der 80°-Spektren der Probe Dün-1.

Bandenzuordnung	Bandenlage / cm ⁻¹			<i>n</i>		
	80	80p	80s	80	80p	80s
v(OH)	3100	3100	3100			
Interferenz	2226	2510	2217			
Interferenz	1816	1828		2.00	1.44	
Interferenz	1548	1558	1537	2.84	2.82	
v(AIO), δ(AIOH)	1251	1283	1243			
v(AIO), δ(AIOH)	1008	1018	1004	\bar{n}	-	-

Tabelle 11-4: Bandenzuordnung und Brechungsindexverlauf der 30°-Spektren der Probe GS-1.

Bandenzuordnung	Bandenlage / cm ⁻¹			<i>n</i>		
	30	30p	30s	30	30p	30s
v(OH)	3345	3119	3345			
Interferenz	2124	2171	2125			
Interferenz	1933	1998	1941	1.47	1.60	1.52
Interferenz	1748	1829	1749	1.51	1.64	1.46
Interferenz	1575	1653	1578	1.60	1.58	1.62
v(AIO), δ(AIOH)	1284	1258	1287			
v(AIO), δ(AIOH)	980	992	982	\bar{n}	1.52	1.60

Tabelle 11-5: Bandenzuordnung und Brechungsindexverlauf der 80°-Spektren der Probe GS-1.

Bandenzuordnung	Bandenlage / cm ⁻¹			<i>n</i>		
	80	80p	80s	80	80p	80s
v(OH)	1937	1990	1930			
Interferenz	1737	1770	1712	1.64	1.55	1.56
Interferenz	1514	1575	1514	1.54	1.67	1.65
v(AIO), δ(AIOH)	1384	1417	1384			
v(AIO), δ(AIOH)	1276	1283	1274	\bar{n}	1.59	1.61

Tabelle 11-6: Bandenzuordnung und Brechungsindexverlauf der 30°-Spektren der Probe GS-2.

Bandenzuordnung	Bandenlage / cm ⁻¹			<i>n</i>			
	30	30p	30s	30	30p	30s	
Interferenz	2166	2171	2125				
Interferenz	1991	1998	1941	1.58	1.60	1.52	
Interferenz	1823	1829	1843	1.64	1.64	2.73	
Interferenz	1652	1653	1749	1.75	1.58	2.84	
Interferenz	1495	1496	1575				
Interferenz			1559				
v(AIO), δ(AIOH)	1359	1351					
v(AIO), δ(AIOH)	1251	1258	1287				
v(AIO), δ(AIOH)	991	989	1017				
v(AIO), δ(AIOH)			983	\bar{n}	1.66	1.60	1.52

Tabelle 11-7: Bandenzuordnung und Brechungsindexverlauf der 80°-Spektren der Probe GS-2.

Bandenzuordnung	Bandenlage / cm ⁻¹			<i>n</i>			
	80	80p	80s	80	80p	80s	
Interferenz	1979	2055	1981				
Interferenz	1788	1867	1788	1.69	1.71	1.68	
Interferenz	1575	1683	1583	1.58	1.74	1.62	
Interferenz	1442	1489	1435				
v(AIO), δ(AIOH)	1251	1262	1251				
v(AIO), δ(AIOH)	997	1002	993	\bar{n}	1.64	1.72	1.65

Tabelle 11-8: Bandenzuordnung und Brechungsindexverlauf der 30°-Spektren der Probe GS-3.

Bandenzuordnung	Bandenlage / cm ⁻¹			<i>n</i>			
	30	30p	30s	30	30p	30s	
v(OH)	3200	3200	3200				
Interferenz	2439	2442	2450				
Interferenz	2253	2253	2263	1.52	1.52	1.45	
Interferenz	2070	2069	2070	1.54	1.54	1.54	
Interferenz	1889	1888	1889	1.47	1.49	1.60	
Interferenz	1699	1700	1716	1.72	1.72	1.58	
Interferenz	1539	1540	1540				
Interferenz	1368		1388				
v(AIO), δ(AIOH)	1268	1268	1271				
v(AIO), δ(AIOH)	984	985	988	\bar{n}	1.56	1.56	1.54

Tabelle 11-9: Bandenzuordnung und Brechungsindexverlauf der 80°-Spektren der Probe GS-3.

Bandenzuordnung	Bandenlage / cm ⁻¹			<i>n</i>			
	80	80p	80s	80	80p	80s	
Interferenz	2059	2178	2053				
Interferenz	1853	1931	1841	1.61	1.45	1.58	
Interferenz	1660	1733	1659	1.68	1.65	1.75	
Interferenz	1469	1539	1463	1.69	1.68	1.67	
v(AIO), δ(AIOH)	1353	1386	1355				
v(AIO), δ(AIOH)	1345						
v(AIO), δ(AIOH)	1252	1260	1250				
v(AIO), δ(AIOH)	997	1001	993	\bar{n}	1.66	1.59	1.67

Tabelle 11-10: Bandenzuordnung und Brechungsindexverlauf der 30°-Spektren der Probe GS-4.

Bandenzuordnung	Bandenlage / cm ⁻¹			<i>n</i>			
	30	30p	30s	30	30p	30s	
v(OH)	3094	3150	3208				
Interferenz	2090	2102	2100				
Interferenz	1908	1908	1910	1.53	1.45	1.47	
Interferenz	1716	1717	1732	1.46	1.47	1.56	
Interferenz	1540	1559	1559	1.58	1.74	1.60	
v(AIO), δ(AIOH)	1393	-	1397	1.58	1.74	1.60	
v(AIO), δ(AIOH)	1271	1267	1272				
v(AIO), δ(AIOH)	1111	1116	1009				
v(AIO), δ(AIOH)	981	976	981	\bar{n}	1.54	1.60	1.56

Tabelle 11-11: Bandenzuordnung und Brechungsindexverlauf der 80°-Spektren der Probe GS-4.

Bandenzuordnung	Bandenlage / cm ⁻¹			<i>n</i>			
	80	80p	80s	80	80p	80s	
Interferenz	2137	2168	2108				
Interferenz	1900	1953	1887	1.48	1.57	1.55	
Interferenz	1693	1749	1694	1.61	1.62	1.68	
Interferenz	1485	1558	1485	1.60	1.69	1.60	
v(AIO), δ(AIOH)	1367	1400	1367				
v(AIO), δ(AIOH)	1257	1260	1253				
v(AIO), δ(AIOH)	1007	1006	1000	\bar{n}	1.57	1.63	1.61

Tabelle 11-12: Bandenzuordnung und Brechungsindexverlauf der 30°-Spektren der Probe GS-5.

Bandenzuordnung	Bandenlage / cm ⁻¹			<i>n</i>			
	30	30p	30s	30	30p	30s	
v(OH)	2922	3079	3118				
Interferenz	2198	2206	2202				
Interferenz	2017	2021	2023	1.54	1.51	1.55	
Interferenz	1843	1843	1843	1.59	1.56	1.55	
Interferenz	1668	1653	1670	1.58	1.47	1.60	
Interferenz	1506	1507	1507	1.70	1.87	1.69	
v(AIO), δ(AIOH)	1362	1361	1368				
v(AIO), δ(AIOH)	1256	1259	1259				
v(AIO), δ(AIOH)	994	993	993	\bar{n}	1.60	1.60	1.60

Tabelle 11-13: Bandenzuordnung und Brechungsindexverlauf der 80°-Spektren der Probe GS-5.

Bandenzuordnung	Bandenlage / cm ⁻¹			<i>n</i>			
	80	80p	80s	80	80p	80s	
Interferenz	2115	2038	2014				
Interferenz	1816	1905	1820	1.32	2.21	1.68	
Interferenz	1613	1714	1605	1.63	1.69	1.57	
v(AIO), δ(AIOH)	1445	1505	1446				
v(AIO), δ(AIOH)	1326	1379	1323				
v(AIO), δ(AIOH)	1251	1258	1245				
v(AIO), δ(AIOH)	1007	1013	999	\bar{n}	1.47	-	1.62

Tabelle 11-14: Bandenzuordnung und Brechungsindexverlauf der 30°-Spektren der Probe Weiß-1.

Bandenzuordnung	Bandenlage / cm ⁻¹			<i>n</i>			
	30	30p	30s	30	30p	30s	
v(OH)	3437	3410	3411				
Interferenz	1688	1688	1688				
Interferenz	1582	1583	1584	1.31	1.32	1.33	
Interferenz	1487	1484	1487	1.44	1.39	1.41	
v(AlO), δ(AlOH)	1380-800	1380-800	1380-800	\bar{n}	1.37	1.35	1.37

Tabelle 11-15: Bandenzuordnung und Brechungsindexverlauf der 80°-Spektren der Probe Weiß-1.

Bandenzuordnung	Bandenlage / cm ⁻¹			<i>n</i>			
	80	80p	80s	80	80p	80s	
Interferenz	3501	3627	3469				
Interferenz	3362	3502	3342	1.35	1.42	1.41	
Interferenz	3236	3370	3217	1.42	1.38	1.42	
Interferenz	3115	3245	3096	1.45	1.42	1.45	
Interferenz	3000	3125	2981	1.49	1.45	1.49	
Interferenz	2884	3009	2864	1.48	1.48	1.47	
Interferenz	2770	2893	2752	1.49	1.48	1.51	
Interferenz	2654	2778	2637	1.48	1.49	1.49	
Interferenz	2540	2663	2523	1.49	1.49	1.49	
Interferenz	2426	2549	2410	1.49	1.49	1.50	
Interferenz	2314	2436	2299	1.51	1.50	1.52	
Interferenz	2203	2324	2189	1.52	1.51	1.53	
Interferenz	2092	2212	2079	1.52	1.51	1.53	
Interferenz	1982	2102	1968	1.53	1.53	1.52	
Interferenz	1876	1993	1866	1.56	1.53	1.60	
Interferenz	1778	1889	1770	1.64	1.58	1.66	
Interferenz		1791			1.64		
Interferenz	1705	1713	1668				
Interferenz	1574	1593	1558	1.39	1.45	1.53	
Interferenz	1471	1488	1456	1.59	1.57	1.60	
Interferenz	1384	1394	1377				
v(AlO), δ(AlOH)	1312	1328	1304				
v(AlO), δ(AlOH)	1210	1210	1209				
v(AlO), δ(AlOH)	1065	1049	1049	\bar{n}	1.52	1.52	1.52

Tabelle 11-16: Bandenzuordnung und Brechungsindexverlauf der 30°-Spektren der Probe Weiß-2.

Bandenzuordnung	Bandenlage / cm ⁻¹			<i>n</i>			
	30	30p	30s	30	30p	30s	
v(OH)	3397	3408	3397				
Interferenz		2217	2256				
Interferenz		2127	2153		1.58	1.40	
Interferenz		2027	2052		1.44	1.43	
Interferenz		1954	1952		1.92	1.44	
Interferenz			1856			1.49	
Interferenz	1584	1564	1594				
Interferenz	1463	1457	1468				
v(AIO), δ(AIOH)	1296	1294	1299				
v(AIO), δ(AIOH)	1219		1226				
v(AIO), δ(AIOH)	1157	1155	1162				
v(AIO), δ(AIOH)	1062		1062				
				\bar{n}	-	1.51	1.44

Tabelle 11-17: Bandenzuordnung und Brechungsindexverlauf der 80°-Spektren der Probe Weiß-2.

Bandenzuordnung	Bandenlage / cm ⁻¹			<i>n</i>			
	80	80p	80s	80	80p	80s	
Interferenz	3543	3916	3915				
Interferenz	3412	3795	3790	1.43	1.49	1.46	
Interferenz	3282	3674	3668	1.43	1.49	1.48	
Interferenz	3157	3545	3543	1.46	1.44	1.46	
Interferenz	3030	3416	3409	1.45	1.44	1.41	
Interferenz	2907	3289	3278	1.48	1.45	1.43	
Interferenz	2784	3161	3149	1.48	1.44	1.44	
Interferenz	2662	3036	3024	1.48	1.46	1.46	
Interferenz	2540	2915	2900	1.48	1.49	1.47	
Interferenz	2419	2794	2777	1.49	1.49	1.48	
Interferenz	2298	2674	2654	1.49	1.50	1.48	
Interferenz	2179	2554	2533	1.50	1.50	1.49	
Interferenz	2063	2435	2412	1.53	1.50	1.49	
Interferenz	1950	2317	2293	1.55	1.51	1.50	
Interferenz	1843	2203	2175	1.60	1.54	1.51	
Interferenz	1747	2089	2060	1.72	1.54	1.53	
Interferenz		1979	1947		1.57	1.55	
Interferenz		1873	1842		1.61	1.62	
Interferenz		1772	1746		1.66	1.72	
Interferenz							
Interferenz	1373	1328	1372				
Interferenz	1303	1259	1302	2.17	2.19	2.17	
Interferenz	1235		1235	2.22		2.24	
v(AIO), δ(AIOH)	1177		1177	2.53		2.53	
v(AIO), δ(AIOH)	1064	1063	1063	\bar{n}	1.52	1.52	1.52

Tabelle 11-18: Bandenzuordnung und Brechungsindexverlauf der 30°-Spektren der Probe Weiß-3.

Bandenzuordnung	Bandenlage / cm ⁻¹			<i>n</i>			
	30	30p	30s	30	30p	30s	
v(OH)	3565	3544	3541				
Interferenz	2248	2269	2269				
Interferenz	2167	2186	2185	1.66	1.62	1.61	
Interferenz	2088	2103	2103	1.70	1.62	1.64	
Interferenz	2008	2019	2021	1.68	1.61	1.64	
Interferenz	1929	1941	1941	1.70	1.72	1.68	
Interferenz	1854	1862	1863	1.78	1.70	1.72	
Interferenz	1779	1790	1790	1.78	1.85	1.83	
Interferenz	1369	1373	1373				
Interferenz	1311	1342	1315	2.27	4.17	2.27	
Interferenz	1257	1260	1261	2.43	1.64	2.43	
v(AIO), δ(AIOH)	1205	1209	1208				
v(AIO), δ(AIOH)	585	590	590	\bar{n}	1.72	1.69	1.69

Tabelle 11-19: Bandenzuordnung und Brechungsindexverlauf der 80°-Spektren der Probe Weiß-3.

Bandenzuordnung	Bandenlage / cm ⁻¹			<i>n</i>			
	80	80p	80s	80	80p	80s	
v(OH)	3647	3647	3648				
Interferenz	2210	2525	2752				
Interferenz	2116	2434	2663	1.68	1.72	1.74	
Interferenz	2016	2155	2577	1.62		1.79	
Interferenz	1927	2058	2489	1.74	1.65	1.76	
Interferenz	1842	1966	2399	1.80	1.71	1.73	
Interferenz	1767	1879	2303	1.97	1.77	1.66	
Interferenz		1799	2212		1.88	1.72	
Interferenz			2113			1.63	
Interferenz			2016			1.65	
Interferenz			1928			1.76	
Interferenz			1843			1.80	
Interferenz			1766			1.93	
Interferenz							
Interferenz	1313		1314	2.61		2.61	
Interferenz	1260		1261				
v(AIO), δ(AIOH)			1210				
v(AIO), δ(AIOH)	1180	1180	1174				
v(AIO), δ(AIOH)		1145					
v(AIO), δ(AIOH)	1009	1012	976	\bar{n}	1.68	1.71	1.71

Tabelle 11-20: Bandenzuordnung und Brechungsindexverlauf der 30°-Spektren der Probe Color-A.

Bandenzuordnung	Bandenlage / cm ⁻¹			<i>n</i>			
	30	30p	30s	30	30p	30s	
v(OH)	3565	3191	3584				
Interferenz	2394	2185	2605				
Interferenz	2190	1990	2402	1.53	1.59	1.53	
Interferenz	1990	1791	2197	1.55	1.56	1.52	
Interferenz	1797	1615	1995	1.60	1.74	1.54	
Interferenz	1606	1435	1800	1.62	1.71	1.59	
Interferenz	1435		1615	1.79		1.67	
Interferenz			1437			1.73	
v(AIO), δ(AIOH)	1301	1299	1304				
v(AIO), δ(AIOH)			984	\bar{n}	1.62	1.65	1.60

Tabelle 11-21: Bandenzuordnung und Brechungsindexverlauf der 80°-Spektren der Probe Color-A.

Bandenzuordnung	Bandenlage / cm ⁻¹			<i>n</i>			
	80	80p	80s	80	80p	80s	
Interferenz	2149	2246	2361				
Interferenz	1916	2006	2143	1.60	1.57	1.67	
Interferenz	1649	1790	1907	1.48	1.68	1.59	
Interferenz	1494	1558	1698	2.14	1.61	1.72	
Interferenz		1410	1495		2.22	1.75	
v(AIO), δ(AIOH)	1367		1368				
v(AIO), δ(AIOH)	1266	1279	1263				
v(AIO), δ(AIOH)	997	1000	994	\bar{n}	1.54	1.62	1.68

Tabelle 11-22: Bandenzuordnung und Brechungsindexverlauf der 30°-Spektren der Probe Color-B.

Bandenzuordnung	Bandenlage / cm ⁻¹			<i>n</i>			
	30	30p	30s	30	30p	30s	
v(OH)	3627	3544	3626				
Interferenz	1922	1941	2171				
Interferenz	1808	1823	2052	1.70	1.65	1.63	
Interferenz	1693		1932	1.69		1.62	
Interferenz	1582	1592	1851	1.74		2.34	
Interferenz	1481	1488	1699	1.90	1.85	1.32	
Interferenz			1586			1.71	
Interferenz			1487			1.94	
Interferenz			1395			2.07	
v(AIO), δ(AIOH)	1304	1311	1308				
v(AIO), δ(AIOH)	982	982	980	\bar{n}	1.76	1.75	1.81

Tabelle 11-23: Bandenzuordnung und Brechungsindexverlauf der 80°-Spektren der Probe Color-B.

Bandenzuordnung	Bandenlage / cm ⁻¹			<i>n</i>			
	80	80p	80s	80	80p	80s	
Interferenz	1916	2098	2192				
Interferenz	1790	1952	2049	1.77	1.61	1.63	
Interferenz	1660	1823	1906	1.73	1.74	1.63	
Interferenz	1531	1689	1771	1.74	1.70	1.69	
Interferenz	1428	1557	1651	2.05	1.71	1.83	
Interferenz		1455	1515		2.07	1.68	
Interferenz			1423			2.24	
v(AIO), δ(AIOH)	1276	1279	1275				
v(AIO), δ(AIOH)	992	998	991	\bar{n}	1.75	1.69	1.69

Tabelle 11-24: Bandenzuordnung und Brechungsindexverlauf der 30°-Spektren der Probe Color-C.

Bandenzuordnung	Bandenlage / cm ⁻¹			<i>n</i>			
	30	30p	30s	30	30p	30s	
v(OH)	3471	3307	3468				
Interferenz	2388	2541	2838				
Interferenz	2238	2393	2690	1.42	1.44	1.44	
Interferenz	2092	2239	2537	1.46	1.39	1.40	
Interferenz	1946	2093	2390	1.46	1.46	1.45	
Interferenz	1803	1948	2239	1.49	1.47	1.42	
Interferenz	1657	1807	2092	1.46	1.50	1.45	
Interferenz	1532	1652	1948	1.68	1.38	1.48	
Interferenz		1539	1807		1.84	1.50	
Interferenz			1660			1.45	
Interferenz			1538			1.71	
Interferenz			1417			1.73	
v(AIO), δ(AIOH)	1315	1315	1319				
v(AIO), δ(AIOH)	995	999	992				
				\bar{n}	1.49	1.50	1.50

Tabelle 11-25: Bandenzuordnung und Brechungsindexverlauf der 80°-Spektren der Probe Color-C.

Bandenzuordnung	Bandenlage / cm ⁻¹			<i>n</i>			
	80	80p	80s	80	80p	80s	
v(OH)		3814	3799				
v(OH)		3667	3647				
Interferenz	3184	3192	3167				
Interferenz	3000	2986	2965	1.47	1.38	1.40	
Interferenz	2811	2805	2785	1.45	1.48	1.48	
Interferenz	2633	2628	2607	1.49	1.50	1.49	
Interferenz	2453	2448	2426	1.48	1.48	1.48	
Interferenz	2269	2269	2243	1.47	1.49	1.47	
Interferenz	2089	2092	2064	1.48	1.50	1.49	
Interferenz	1915	1922	1893	1.51	1.53	1.53	
Interferenz	1747	1760	1732	1.55	1.58	1.59	
Interferenz	1587	1603	1574	1.59	1.61	1.60	
Interferenz	1455	1471	1449	1.81	1.81	1.88	
Interferenz	1377	1383	1371	2.75	2.48	2.75	
v(AIO), δ(AIOH)	1277	1279	1270				
v(AIO), δ(AIOH)	997	1002	997				
				\bar{n}	1.53	1.54	1.54

Tabelle 11-26: Bandenzuordnung und Brechungsindexverlauf der 30°-Spektren der Probe Color-D.

Bandenzuordnung	Bandenlage / cm ⁻¹			<i>n</i>			
	30	30p	30s	30	30p	30s	
v(OH)	3501	3306	3341				
Interferenz	2638	2469	2811				
Interferenz	2469	2302	2645	1.38	1.39	1.40	
Interferenz	2305	2138	2477	1.42	1.42	1.39	
Interferenz	2138	1977	2309	1.39	1.44	1.39	
Interferenz	1976	1822	2145	1.43	1.49	1.42	
Interferenz	1817	1652	1982	1.46	1.37	1.42	
Interferenz	1659	1520	1823	1.46	1.72	1.46	
Interferenz	1519		1661	1.63		1.43	
Interferenz			1520			1.62	
v(AIO), δ(AIOH)	1283	1286	1287				
v(AIO), δ(AIOH)	986	987	986	\bar{n}	1.45	1.47	1.44

Tabelle 11-27: Bandenzuordnung und Brechungsindexverlauf der 80°-Spektren der Probe Color-D.

Bandenzuordnung	Bandenlage / cm ⁻¹			<i>n</i>			
	80	80p	80s	80	80p	80s	
v(OH)	2890	2895	2883				
Interferenz	2680	2689	2686				
Interferenz	2483	2489	2479	1.43	1.44	1.48	
Interferenz	2282	2294	2274	1.48	1.47	1.44	
Interferenz	2077	2098	2073	1.46	1.49	1.45	
Interferenz	1886	1908	1881	1.45	1.48	1.46	
Interferenz	1704	1732	1699	1.51	1.51	1.50	
Interferenz	1531	1557	1531	1.55	1.58	1.55	
Interferenz	1410	1423	1409	1.60	1.59	1.63	
Interferenz	1295	1306	1288	2.05	1.90	2.04	
v(AIO), δ(AIOH)	1003	1003	999				
				\bar{n}	1.50	1.51	1.50

Tabelle 11-28: Bandenzuordnung und Brechungsindexverlauf der 30°-Spektren der Probe Color-E.

Bandenzuordnung	Bandenlage / cm ⁻¹			<i>n</i>			
	30	30p	30s	30	30p	30s	
Interferenz	1955	2108	1965				
Interferenz	1867	2004	1867	1.74	1.50	1.58	
Interferenz	1770	1901	1771	1.60	1.51	1.61	
Interferenz	1651	1799	1682	1.33	1.53	1.73	
Interferenz	1591		1594	2.50		1.74	
Interferenz	1505	1607		1.78			
Interferenz	1430	1507	1507	2.02	1.55		
Interferenz	1372	1428	1435	2.58	1.93	2.10	
Interferenz		1363	1375				
v(AIO), δ(AIOH)	1260	1259	1260				
v(AIO), δ(AIOH)	980	980	980	\bar{n}	1.56	1.52	1.67

Tabelle 11-29: Bandenzuordnung und Brechungsindexverlauf der 80°-Spektren der Probe Color-E.

Bandenzuordnung	Bandenlage / cm ⁻¹			<i>n</i>			
	80	80p	80s	80	80p	80s	
Interferenz	1728	1652	1715				
Interferenz	1633	1557	1615	1.83	1.83	1.77	
Interferenz	1515	1456	1515	1.59	1.76	1.77	
Interferenz	1446	1398	1435	2.35	2.72	2.09	
v(AIO), δ(AIOH)	1276	1277	1270				
v(AIO), δ(AIOH)	988	992	988	\bar{n}	1.71	1.80	1.77

Tabelle 11-30: Bandenzuordnung und Brechungsindexverlauf der 30°-Spektren der Probe Color-0.

Bandenzuordnung	Bandenlage / cm ⁻¹			<i>n</i>		
	30	30p	30s	30	30p	30s
v(OH)	3471	3468	3469			
Interferenz	2621	2629	2770			
Interferenz	2482	2487	2630	1.47	1.44	1.46
Interferenz	2350	2351	2491	1.54	1.50	1.47
Interferenz	2210	2216	2352	1.46	1.51	1.47
Interferenz	2077	2082	2218	1.53	1.52	1.52
Interferenz	1946	1950	2083	1.55	1.54	1.51
Interferenz	1815	1818	1951	1.55	1.54	1.54
Interferenz	1682	1683	1823	1.53	1.51	1.58
Interferenz	1574	1575	1694	1.85	1.85	1.57
Interferenz	1462	1464	1575	1.79	1.80	1.69
Interferenz			1463			1.79
v(AIO), δ(AIOH)			1368			
v(AIO), δ(AIOH)	1279	1283	1279			
v(AIO), δ(AIOH)	991	988	991	\bar{n}	1.59	1.58
					1.56	

Tabelle 11-31: Bandenzuordnung und Brechungsindexverlauf der 80°-Spektren der Probe Color-0.

Bandenzuordnung	Bandenlage / cm ⁻¹			<i>n</i>		
	80	80p	80s	80	80p	80s
v(OH)	3800	3814	3941			
v(OH)	3647	3647	3800			
v(OH)			3647			
Interferenz	3062	3074	3218			
Interferenz	2890	2908	3047	1.49	1.52	1.49
Interferenz	2725	2745	2874	1.53	1.54	1.49
Interferenz	2562	2587	2711	1.54	1.57	1.54
Interferenz	2395	2424	2549	1.52	1.54	1.54
Interferenz	2231	2264	2385	1.53	1.55	1.53
Interferenz	2066	2109	2220	1.53	1.58	1.53
Interferenz	1909	1957	2060	1.57	1.60	1.55
Interferenz	1761	1810	1906	1.63	1.64	1.59
Interferenz	1622	1668	1760	1.70	1.67	1.64
Interferenz	1495	1539	1615	1.81	1.79	1.65
Interferenz	1404	1496	1494	2.33	4.58	1.87
Interferenz		1435	1404		3.30	2.35
v(AIO), δ(AIOH)	1283	1279	1280			
v(AIO), δ(AIOH)	1002	1002	999	\bar{n}	1.58	1.60
					1.58	

Tabelle 11-32: Bandenzuordnung und Brechungsindexverlauf der 30°-Spektren der Probe Color-1.

Bandenzuordnung	Bandenlage / cm ⁻¹			<i>n</i>		
	30	30p	30s	30	30p	30s
v(OH)	3495	3468	3469			
Interferenz	2518	2517	2714			
Interferenz	2350	2334	2525	1.57	1.45	1.41
Interferenz	2155	2153	2351	1.38	1.47	1.52
Interferenz	1976	1975	2156	1.48	1.49	1.38
Interferenz	1798	1799	1977	1.49	1.51	1.48
Interferenz	1634	1635	1800	1.60	1.60	1.50
Interferenz	1470	1472	1634	1.60	1.61	1.59
Interferenz			1472			1.62
v(AIO), δ(AIOH)	1339		1343			
v(AIO), δ(AIOH)	1243	1242	1248			
v(AIO), δ(AIOH)	993	995	994	\bar{n}	1.52	1.50

Tabelle 11-33: Bandenzuordnung und Brechungsindexverlauf der 80°-Spektren der Probe Color-1.

Bandenzuordnung	Bandenlage / cm ⁻¹			<i>n</i>		
	80	80p	80s	80	80p	80s
v(OH)	3915	3930	3898			
v(OH)	3709	3709	3688			
v(OH)	3516	3480				
Interferenz	3149	3169	3133			
Interferenz	2917	2917	2896	1.46	1.40	1.44
Interferenz	2695	2712	2677	1.50	1.57	1.51
Interferenz	2475	2498	2455	1.50	1.53	1.50
Interferenz	2248	2279	2230	1.48	1.51	1.48
Interferenz	2024	2070	2014	1.49	1.55	1.52
Interferenz	1815	1867	1806	1.55	1.58	1.55
Interferenz	1615	1674	1607	1.59	1.63	1.60
Interferenz	1455	1505	1450	1.85	1.78	1.87
v(AIO), δ(AIOH)	1353	1379	1338			
v(AIO), δ(AIOH)		1272				
v(AIO), δ(AIOH)	1001	1002	998	\bar{n}	1.55	1.56

Tabelle 11-34: Bandenzuordnung und Brechungsindexverlauf der 30°-Spektren der Probe Color-2.

Bandenzuordnung	Bandenlage / cm ⁻¹			<i>n</i>			
	30	30p	30s	30	30p	30s	
v(OH)	3437	3469	3469				
Interferenz	2553	2449	2600				
Interferenz	2413	2307	2457	1.51	1.49	1.49	
Interferenz	2271	2162	2319	1.49	1.47	1.53	
Interferenz	2131	2025	2170	1.51	1.54	1.43	
Interferenz	1997	1885	2030	1.57	1.51	1.51	
Interferenz	1858	1747	1888	1.52	1.53	1.49	
Interferenz	1714	1627	1749	1.48	1.74	1.52	
Interferenz	1603	1497	1627	1.87	1.62	1.71	
Interferenz	1480		1505	1.70		1.71	
v(AIO), δ(AIOH)	1291	1295	1300				
v(AIO), δ(AIOH)	991	993	995	\bar{n}	1.58	1.56	1.55

Tabelle 11-35: Bandenzuordnung und Brechungsindexverlauf der 80°-Spektren der Probe Color-2.

Bandenzuordnung	Bandenlage / cm ⁻¹			<i>n</i>			
	80	80p	80s	80	80p	80s	
v(OH)	3814	3830	3815				
v(OH)	3668	3668	3669				
v(OH)	3471	3479	3446				
Interferenz	3219	3230	3217				
Interferenz	3037	3042	3024	1.48	1.45	1.43	
Interferenz	2857	2870	2846	1.48	1.52	1.49	
Interferenz	2686	2700	2675	1.53	1.53	1.53	
Interferenz	2513	2530	2501	1.52	1.53	1.51	
Interferenz	2350	2363	2323	1.57	1.55	1.49	
Interferenz	2165	2191	2155	1.46	1.52	1.55	
Interferenz	1996	2028	1987	1.54	1.57	1.55	
Interferenz	1834	1869	1828	1.58	1.60	1.60	
Interferenz	1682	1716	1679	1.64	1.64	1.66	
Interferenz	1538	1575	1533	1.70	1.73	1.69	
Interferenz	1427	1456	1425	2.05	1.95	2.10	
v(AIO), δ(AIOH)	1276	1372	1270				
v(AIO), δ(AIOH)	1003	1003	999	\bar{n}	1.55	1.57	1.55

Tabelle 11-36: Bandenzuordnung und Brechungsindexverlauf der 30°-Spektren der Probe Color-3.

Bandenzuordnung	Bandenlage / cm ⁻¹			<i>n</i>			
	30	30p	30s	30	30p	30s	
v(OH)	3536	3370	3468				
Interferenz	2516	2517	2665				
Interferenz	2383	2382	2521	1.53	1.51	1.43	
Interferenz	2239	2239	2383	1.43	1.43	1.48	
Interferenz	2104	2103	2246	1.51	1.50	1.49	
Interferenz	1970	1967	2108	1.52	1.50	1.48	
Interferenz	1836	1842	1974	1.52	1.62	1.52	
Interferenz	1694	1695	1843	1.44	1.40	1.55	
Interferenz	1585	1586	1705	1.83	1.83	1.48	
Interferenz	1469	1471	1587	1.73	1.75	1.70	
Interferenz			1471			1.73	
v(AIO), δ(AIOH)	1283	1283	1284				
v(AIO), δ(AIOH)	988	988	988	\bar{n}	1.56	1.57	1.54

Tabelle 11-37: Bandenzuordnung und Brechungsindexverlauf der 80°-Spektren der Probe Color-3

Bandenzuordnung	Bandenlage / cm ⁻¹			<i>n</i>			
	80	80p	80s	80	80p	80s	
v(OH)	3879	3898	3879				
v(OH)	3732	3731	3734				
v(OH)	3627	3606	3618				
Interferenz	3086	3105	3090				
Interferenz	2918	2945	2916	1.51	1.55	1.48	
Interferenz	2758	2770	2750	1.55	1.48	1.52	
Interferenz	2597	2611	2587	1.55	1.56	1.54	
Interferenz	2430	2447	2420	1.52	1.53	1.52	
Interferenz	2265	2285	2255	1.53	1.54	1.53	
Interferenz	2098	2123	2090	1.52	1.54	1.53	
Interferenz	1939	1965	1932	1.56	1.57	1.57	
Interferenz	1789	1818	1780	1.62	1.64	1.60	
Interferenz	1645	1668	1634	1.66	1.62	1.64	
Interferenz	1505	1538	1505	1.69	1.78	1.79	
Interferenz	1409	1428	1408	2.23	2.01	2.21	
v(AIO), δ(AIOH)	1271	1276	1270				
v(AIO), δ(AIOH)	999	1003	994	\bar{n}	1.57	1.58	1.57

Tabelle 11-38: Bandenzuordnung und Brechungsindexverlauf der 30°-Spektren der Probe Color-3v.

Bandenzuordnung	Bandenlage / cm ⁻¹			<i>n</i>			
	30	30p	30s	30	30p	30s	
v(OH)	3627	3269	3584				
Interferenz	2648	2509	2651				
Interferenz	2510	2378	2514	1.48	1.55	1.49	
Interferenz	2381	2237	2377	1.57	1.45	1.49	
Interferenz	2238	1967	2242	1.43	0.87	1.51	
Interferenz	2103	1842	2106	1.51	1.62	1.50	
Interferenz	1970		1972	1.53		1.52	
Interferenz	1838		1842	1.54		1.56	
Interferenz	1705		1715	1.53		1.59	
Interferenz	1583	1586	1586	1.65		1.57	
Interferenz	1470	1471	1472	1.77	1.75	1.76	
v(AIO), δ(AIOH)	1373		1376				
v(AIO), δ(AIOH)	1286	1287	1287				
v(AIO), δ(AIOH)	989	986	988				
				\bar{n}	1.56	1.54	1.56

Tabelle 11-39: Bandenzuordnung und Brechungsindexverlauf der 80°-Spektren der Probe Color-.3v

Bandenzuordnung	Bandenlage / cm ⁻¹			<i>n</i>			
	80	80p	80s	80	80p	80s	
v(OH)		3899					
v(OH)		3749	3734				
v(OH)		3668	3647				
Interferenz	2697	2729	2846	1.58	1.59	1.60	
Interferenz	2542	2575	2694	1.58	1.57	1.58	
Interferenz	2387	2417	2539	1.54	1.56	1.56	
Interferenz	2224	2258	2380	1.55	1.58	1.54	
Interferenz	2063	2102	2218	1.58	1.60	1.55	
Interferenz	1907	1950	2058	1.64	1.62	1.58	
Interferenz	1760	1800	1903	1.65	1.63	1.67	
Interferenz	1615	1652	1761	1.79	1.76	1.59	
Interferenz	1486	1520	1607	2.33	2.11	1.87	
Interferenz	1395	1417	1486			2.35	
v(AIO), δ(AIOH)	1259	1260	1263				
v(AIO), δ(AIOH)	1001	1011	997				
				\bar{n}	1.61	1.61	1.62

Tabelle 11-40: Bandenzuordnung und Brechungsindexverlauf der 30°-Spektren der Probe Color-4.

Bandenzuordnung	Bandenlage / cm ⁻¹			<i>n</i>		
	30	30p	30s	30	30p	30s
v(OH)	3500	3307	3307			
Interferenz	2667	2506	2670			
Interferenz	2507	2353	2511	1.45	1.51	1.46
Interferenz	2351	2193	2352	1.48	1.45	1.46
Interferenz	2195	2040	2198	1.48	1.51	1.50
Interferenz	2041	1889	2044	1.50	1.52	1.50
Interferenz	1888	1733	1889	1.51		1.49
Interferenz	1793	1607	1746	2.34		1.60
Interferenz	1600	1472	1603	1.23		1.60
Interferenz	1469		1472	1.73		1.73
v(AIO), δ(AIOH)			1363			
v(AIO), δ(AIOH)	1267	1268	1268			
v(AIO), δ(AIOH)	987		985	\bar{n}	1.52	1.50
					1.54	1.54

Tabelle 11-41: Bandenzuordnung und Brechungsindexverlauf der 80°-Spektren der Probe Color-4.

Bandenzuordnung	Bandenlage / cm ⁻¹			<i>n</i>		
	80	80p	80s	80	80p	80s
v(OH)		3627				
Interferenz	2714	2739	2696			
Interferenz	2531	2550	2512	1.54	1.51	1.54
Interferenz	2317	2365	2317	1.41	1.53	1.49
Interferenz	2149	2179	2135	1.63	1.53	1.55
Interferenz	1965	1997	1952	1.54	1.55	1.54
Interferenz	1790	1828	1780	1.59	1.62	1.60
Interferenz	1615	1667	1615	1.59	1.67	1.64
Interferenz	1480	1520	1472	1.89	1.78	1.81
Interferenz	1385	1404	1385	2.49	2.12	2.69
v(AIO), δ(AIOH)	1283	1285	1280			
v(AIO), δ(AIOH)	1004	1006	999	\bar{n}	1.60	1.60
					1.60	1.60

Tabelle 11-42: Bandenzuordnung und Brechungsindexverlauf der 30°-Spektren der Probe Color-5.

Bandenzuordnung	Bandenlage / cm ⁻¹			<i>n</i>			
	30	30p	30s	30	30p	30s	
v(OH)	3502	3369	3544				
Interferenz	2529	2518	2661				
Interferenz	2391	2384	2518	1.48	1.52	1.43	
Interferenz	2249	2245	2384	1.44	1.47	1.52	
Interferenz	2115	1974	2243	1.52	0.87	1.45	
Interferenz	1978	1843	2107	1.49	1.55	1.50	
Interferenz	1842	1695	1973	1.50	1.39	1.52	
Interferenz	1704	1590	1842	1.48	1.90	1.55	
Interferenz	1591	1474	1704	1.77	1.73	1.48	
Interferenz	1471		1587	1.68		1.72	
Interferenz			1471			1.73	
v(AIO), δ(AIOH)	1284	1287	1287				
v(AIO), δ(AIOH)	991	992	991	\bar{n}	1.55	1.59	1.55

Tabelle 11-43: Bandenzuordnung und Brechungsindexverlauf der 80°-Spektren der Probe Color-5.

Bandenzuordnung	Bandenlage / cm ⁻¹			<i>n</i>			
	80	80p	80s	80	80p	80s	
v(OH)	3879	3862	3862				
v(OH)	3732	3709	3710				
Interferenz	2919	2915	3074				
Interferenz	2759	2759	2896	1.55	1.58	1.46	
Interferenz	2598	2600	2735	1.55	1.56	1.55	
Interferenz	2432	2436	2571	1.52	1.53	1.53	
Interferenz	2266	2276	2406	1.52	1.55	1.53	
Interferenz	2098	2115	2242	1.51	1.55	1.53	
Interferenz	1940	1961	2081	1.57	1.59	1.55	
Interferenz	1790	1815	1922	1.62	1.64	1.56	
Interferenz	1645	1668	1772	1.65	1.64	1.62	
Interferenz	1505	1538	1627	1.69	1.78	1.65	
Interferenz	1410	1428	1505	2.25	2.01	1.86	
Interferenz			1406			2.18	
v(AIO), δ(AIOH)	1272	1278	1270				
v(AIO), δ(AIOH)	1002	1003	998	\bar{n}	1.58	1.60	1.58

Tabelle 11-44: Bandenzuordnung und Brechungsindexverlauf der 30°-Spektren der Probe Color-6.

Bandenzuordnung	Bandenlage / cm ⁻¹			<i>n</i>		
	30	30p	30s	30	30p	30s
v(OH)	3437	3271	3436			
Interferenz	2470	2469	2633			
Interferenz	2314	2316	2477	1.43	1.45	1.43
Interferenz	2162	2164	2319	1.46	1.46	1.41
Interferenz	2012	2016	2168	1.48	1.49	1.47
Interferenz	1863	1867	2016	1.48	1.48	1.46
Interferenz	1713	1716	1867	1.48	1.47	1.48
Interferenz	1582	1585	1716	1.67	1.67	1.47
Interferenz	1454	1456	1583	1.70	1.69	1.64
Interferenz			1456			1.71
v(AIO), δ(AIOH)	1347		1355			
v(AIO), δ(AIOH)		1260	1264			
v(AIO), δ(AIOH)	987	981	988	\bar{n}	1.53	1.51

Tabelle 11-45: Bandenzuordnung und Brechungsindexverlauf der 80°-Spektren der Probe Color-6.

Bandenzuordnung	Bandenlage / cm ⁻¹			<i>n</i>		
	80	80p	80s	80	80p	80s
Interferenz	2849	2878	2845			
Interferenz	2677	2698	2663	1.56	1.52	1.51
Interferenz	2489	2515	2477	1.48	1.51	1.49
Interferenz	2298	2327	2288	1.47	1.48	1.48
Interferenz	2115	2154	2106	1.51	1.56	1.51
Interferenz	1940	1975	1922	1.55	1.52	1.50
Interferenz	1761	1809	1760	1.52	1.60	1.62
Interferenz	1600	1651	1595	1.63	1.65	1.60
Interferenz	1464	1505	1463	1.82	1.73	1.86
Interferenz	1380	1403	1378	2.67	2.27	2.64
v(AIO), δ(AIOH)	1283	1285	1279			
v(AIO), δ(AIOH)	1003	1005	998	\bar{n}	1.57	1.57

Tabelle 11-46: Bandenzuordnung und Brechungsindexverlauf der 30°-Spektren der Probe Color-6v.

Bandenzuordnung	Bandenlage / cm ⁻¹			<i>n</i>		
	30	30p	30s	30	30p	30s
v(OH)	3585	3154	3584			
Interferenz	2487	2486	2624			
Interferenz	2335	2335	2474	1.52	1.52	1.53
Interferenz	2179	2181	2317	1.48	1.50	1.47
Interferenz	2030	2031	2168	1.54	1.53	1.54
Interferenz	1881	1883	2017	1.54	1.55	1.52
Interferenz	1731	1733	1868	1.53	1.53	1.54
Interferenz	1594	1601	1728	1.66	1.72	1.63
Interferenz	1464	1464	1585	1.75	1.66	1.60
Interferenz			1457			1.77
v(AIO), δ(AIOH)	1359		1359			
v(AIO), δ(AIOH)	1267	1268	1261			
v(AIO), δ(AIOH)	987		988	\bar{n}	1.57	1.58

Tabelle 11-47: Bandenzuordnung und Brechungsindexverlauf der 80°-Spektren der Probe Color-6v.

Bandenzuordnung	Bandenlage / cm ⁻¹			<i>n</i>		
	80	80p	80s	80	80p	80s
v(OH)		3647				
Interferenz	2441	2672	2596			
Interferenz	2259	2498	2421	1.55	1.59	1.59
Interferenz	2076	2327	2246	1.54	1.61	1.59
Interferenz	1900	2143	2064	1.58	1.54	1.55
Interferenz	1746	1965	1893	1.72	1.57	1.61
Interferenz	1574	1800	1738	1.60	1.64	1.71
Interferenz	1446	1651	1567	1.96	1.76	1.61
Interferenz		1495	1446		1.71	2.05
Interferenz		1393			2.35	
v(AIO), δ(AIOH)			1360			
v(AIO), δ(AIOH)	1266	1270	1267			
v(AIO), δ(AIOH)	1003	1010	993	\bar{n}	1.60	1.61

Tabelle 11-48: Bandenzuordnung und Brechungsindexverlauf der 30°-Spektren der Probe Color-7.

Bandenzuordnung	Bandenlage / cm ⁻¹			<i>n</i>		
	30	30p	30s	30	30p	30s
v(OH)	3500	3305	3544			
Interferenz	2534	2534	2551			
Interferenz	2389	2388	2402	1.52	1.51	1.48
Interferenz	2237	2237	2252	1.46	1.47	1.48
Interferenz	2093	2093	2104	1.53	1.53	1.49
Interferenz	1948	1948	1959	1.52	1.52	1.52
Interferenz	1807	1808	1816	1.56	1.57	1.54
Interferenz	1661	1653	1673	1.51	1.43	1.54
Interferenz	1537	1539	1540	1.75	1.89	1.64
Interferenz			1428			1.93
v(AIO), δ(AIOH)	1319	1323	1328			
v(AIO), δ(AIOH)	991		990	\bar{n}	1.55	1.56
						1.58

Tabelle 11-49: Bandenzuordnung und Brechungsindexverlauf der 80°-Spektren der Probe Color-7.

Bandenzuordnung	Bandenlage / cm ⁻¹			<i>n</i>		
	80	80p	80s	80	80p	80s
v(OH)	3777	3799	3941			
v(OH)	3646	3646	3749			
v(OH)			3647			
Interferenz	2919	2954	2914			
Interferenz	2753	2773	2742	1.60	1.51	1.56
Interferenz	2581	2605	2566	1.56	1.58	1.54
Interferenz	2401	2428	2388	1.52	1.53	1.53
Interferenz	2225	2253	2211	1.54	1.55	1.53
Interferenz	2046	2081	2035	1.52	1.56	1.54
Interferenz	1878	1961	1867	1.58	2.00	1.58
Interferenz	1722	1760	1715	1.66	1.43	1.69
Interferenz	1564	1603	1557	1.65	1.65	1.65
Interferenz	1442	1472	1436	1.97	1.87	1.98
v(AIO), δ(AIOH)		1381	1361			
v(AIO), δ(AIOH)	1276	1278	1270			
v(AIO), δ(AIOH)	1002	1003	997	\bar{n}	1.62	1.63
						1.62

Tabelle 11-50: Bandenzuordnung und Brechungsindexverlauf der 30°-Spektren der Probe Color-8.

Bandenzuordnung	Bandenlage / cm ⁻¹			<i>n</i>			
	30	30p	30s	30	30p	30s	
v(OH)	3392	3400	3400				
Interferenz	2599	2599	2761				
Interferenz	2445	2445	2607	1.50	1.50	1.50	
Interferenz	2291	2293	2453	1.50	1.52	1.50	
Interferenz	2140	2142	2298	1.52	1.52	1.49	
Interferenz	1991	1991	2147	1.54	1.52	1.52	
Interferenz	1842	1843	1998	1.54	1.55	1.54	
Interferenz	1693	1694	1852	1.54	1.54	1.57	
Interferenz	1567	1568	1699	1.80	1.80	1.51	
Interferenz	1443	1445	1574		1.84	1.81	
Interferenz			1447				
v(AIO), δ(AIOH)	1343	1342	1350				
v(AIO), δ(AIOH)							
v(AIO), δ(AIOH)	985		984	\bar{n}	1.56	1.60	1.55

Tabelle 11-51: Bandenzuordnung und Brechungsindexverlauf der 80°-Spektren der Probe Color-8.

Bandenzuordnung	Bandenlage / cm ⁻¹			<i>n</i>			
	80	80p	80s	80	80p	80s	
v(OH)	3851	3862	3852				
v(OH)	3686	3687	3688				
v(OH)	3534	3543					
Interferenz	3008	3024	3011				
Interferenz	2827	2840	2820	1.55	1.54	1.51	
Interferenz	2645	2662	2638	1.55	1.57	1.55	
Interferenz	2463	2483	2454	1.55	1.56	1.54	
Interferenz	2279	2301	2270	1.54	1.55	1.54	
Interferenz	2094	2124	2089	1.53	1.57	1.55	
Interferenz	1916	1953	1915	1.57	1.61	1.59	
Interferenz	1748	1791	1748	1.63	1.66	1.63	
Interferenz	1589	1633	1588	1.68	1.69	1.68	
Interferenz	1461	1495	1456	1.96	1.86	1.92	
Interferenz	1378	1392	1374	2.80	2.33	2.83	
v(AIO), δ(AIOH)	1277	1284	1279				
v(AIO), δ(AIOH)	1002	1004	998	\bar{n}	1.62	1.62	1.61

Tabelle 11-52: Bandenzuordnung und Brechungsindexverlauf der 30°-Spektren der Probe Color-9.

Bandenzuordnung	Bandenlage / cm ⁻¹			<i>n</i>			
	30	30p	30s	30	30p	30s	
v(OH)	3500	3271	3468				
Interferenz	2449	2449	2621				
Interferenz	2285	2290	2456	1.47	1.51	1.47	
Interferenz	2123	2124	2290	1.49	1.46	1.46	
Interferenz	1964	1965	2129	1.51	1.51	1.50	
Interferenz	1806	1808	1966	1.52	1.53	1.48	
Interferenz	1650	1652	1809	1.54	1.54	1.53	
Interferenz	1513	1506	1652	1.73	1.63	1.53	
Interferenz			1515			1.73	
v(AlO), δ(AlOH)	1286	1286	1287				
v(AlO), δ(AlOH)			998	\bar{n}	1.55	1.53	1.53

Tabelle 11-53: Bandenzuordnung und Brechungsindexverlauf der 80°-Spektren der Probe Color-9.

Bandenzuordnung	Bandenlage / cm ⁻¹			<i>n</i>			
	80	80p	80s	80	80p	80s	
v(OH)		3749	3929				
v(OH)		3585	3777				
v(OH)			3668				
Interferenz	2817	2836	2855				
Interferenz	2624	2651	2692	1.54	1.57	1.61	
Interferenz	2426	2459	2526	1.51	1.54	1.60	
Interferenz	2226	2264	2350	1.50	1.53	1.54	
Interferenz	2031	2079	2180	1.53	1.57	1.57	
Interferenz	1842	1897	2008	1.55	1.59	1.56	
Interferenz	1668	1731	1847	1.64	1.69	1.63	
Interferenz	1505	1557	1699	1.71	1.64	1.72	
Interferenz	1397	1429	1538	2.32	2.03	1.63	
Interferenz			1427			2.12	
v(AlO), δ(AlOH)	1286	1301	1263				
v(AlO), δ(AlOH)	1002	1006	997	\bar{n}	1.57	1.59	1.61

Tabelle 11-54: Bandenzuordnung und Brechungsindexverlauf der 30°-Spektren der Probe Color-9v.

Bandenzuordnung	Bandenlage / cm ⁻¹			<i>n</i>		
	30	30p	30s	30	30p	30s
v(OH)	3606	3118	3584			
Interferenz	2537	2535	2527			
Interferenz	2390	2390	2386	1.50	1.52	1.56
Interferenz	2243	2240	2237	1.50	1.48	1.48
Interferenz	2097	2096	2092	1.51	1.53	1.52
Interferenz	1954	1953	1948	1.54	1.54	1.53
Interferenz	1814	1810	1808	1.57	1.54	1.57
Interferenz	1668	1668	1669	1.51	1.55	1.58
Interferenz	1543	1540	1539	1.74	1.70	1.68
Interferenz	1427	1424	1424	1.86	1.86	1.88
v(AIO), δ(AIOH)	1327	1327	1328			
v(AIO), δ(AIOH)	986		990	\bar{n}	1.59	1.60

Tabelle 11-55: Bandenzuordnung und Brechungsindexverlauf der 80°-Spektren der Probe Color-9v.

Bandenzuordnung	Bandenlage / cm ⁻¹			<i>n</i>		
	80	80p	80s	80	80p	80s
v(OH)		3799	3929			
v(OH)		3687	3777			
v(OH)			3668			
Interferenz	2856	2894	2855			
Interferenz	2692	2734	2692	1.61	1.63	1.61
Interferenz	2531	2571	2526	1.63	1.61	1.60
Interferenz	2352	2404	2350	1.52	1.59	1.54
Interferenz	2182	2231	2180	1.57	1.56	1.57
Interferenz	2008	2063	2008	1.55	1.58	1.56
Interferenz	1842	1901	1847	1.60	1.62	1.63
Interferenz	1694	1748	1699	1.72	1.68	1.72
Interferenz	1538	1587	1538	1.66	1.63	1.63
Interferenz	1427	1463	1427	2.12	1.95	2.12
v(AIO), δ(AIOH)		1372				
v(AIO), δ(AIOH)	1265	1270	1263			
v(AIO), δ(AIOH)	1003	1003	997	\bar{n}	1.61	1.61

Tabelle 11-56: Bandenzuordnung und Brechungsindexverlauf der 30°-Spektren der Probe Color-10.

Bandenzuordnung	Bandenlage / cm ⁻¹			<i>n</i>		
	30	30p	30s	30	30p	30s
v(OH)	3438	3271	3468			
Interferenz	2631	2478	2647			
Interferenz	2474	2318	2490	1.47	1.45	1.47
Interferenz	2317	2169	2334	1.47	1.54	1.48
Interferenz	2165	2016	2178	1.52	1.51	1.48
Interferenz	2015	1867	2027	1.53	1.54	1.52
Interferenz	1864	1715	1876	1.52	1.52	1.52
Interferenz	1711	1587	1728	1.51	1.77	1.55
Interferenz	1583	1456	1590	1.77	1.73	1.65
Interferenz	1453		1463	1.75		1.78
v(AIO), δ(AIOH)			1356			
v(AIO), δ(AIOH)	1260	1263				
v(AIO), δ(AIOH)	985		984	\bar{n}	1.58	1.60
					1.60	1.57

Tabelle 11-57: Bandenzuordnung und Brechungsindexverlauf der 80°-Spektren der Probe Color-10.

Bandenzuordnung	Bandenlage / cm ⁻¹			<i>n</i>		
	80	80p	80s	80	80p	80s
v(OH)	3898	3915	3901			
v(OH)	3708	3742	3773			
v(OH)		3564	3565			
Interferenz	3061	3082	3266			
Interferenz	2866	2895	3066	1.49	1.52	1.47
Interferenz	2678	2705	2872	1.52	1.51	1.49
Interferenz	2494	2520	2684	1.54	1.53	1.52
Interferenz	2309	2335	2496	1.53	1.53	1.52
Interferenz	2118	2155	2307	1.51	1.56	1.51
Interferenz	1939	1979	2121	1.56	1.58	1.53
Interferenz	1769	1810	1941	1.61	1.62	1.56
Interferenz	1605	1651	1771	1.65	1.68	1.61
Interferenz	1470	1505	1607	1.89	1.79	1.65
Interferenz	1383	1394	1471	2.69	2.19	1.88
Interferenz			1383			2.66
v(AIO), δ(AIOH)	1283	1285	1280			
v(AIO), δ(AIOH)	1003	1004	998	\bar{n}	1.60	1.60
					1.60	1.59

Tabelle 11-58: Bandenzuordnung und Brechungsindexverlauf der 30°-Spektren der Probe Color-11.

Bandenzuordnung	Bandenlage / cm ⁻¹			<i>n</i>			
	30	30p	30s	30	30p	30s	
v(OH)	3585	3233	3544				
Interferenz	2537	2540	2712				
Interferenz	2377	2375	2544	1.51	1.47	1.44	
Interferenz	2198	2201	2377	1.36	1.40	1.45	
Interferenz	2032	2035	2205	1.46	1.46	1.41	
Interferenz	1866	1868	2039	1.46	1.45	1.46	
Interferenz	1703	1699	1874	1.48	1.43	1.47	
Interferenz	1554	1558	1715	1.61	1.69	1.51	
Interferenz	1417	1418	1558	1.73	1.70	1.53	
Interferenz	1304		1422	2.07		1.74	
Interferenz			1307			2.04	
v(AIO), δ(AIOH)		1303					
v(AIO), δ(AIOH)	984	1000	985	\bar{n}	1.51	1.51	1.50

Tabelle 11-59: Bandenzuordnung und Brechungsindexverlauf der 80°-Spektren der Probe Color-11.

Bandenzuordnung	Bandenlage / cm ⁻¹			<i>n</i>			
	80	80p	80s	80	80p	80s	
v(OH)	3851	3851	3851				
v(OH)	3708	3708	3700				
Interferenz	2837	2881	2829				
Interferenz	2659	2696	2645	1.61	1.57	1.58	
Interferenz	2461	2506	2451	1.51	1.55	1.53	
Interferenz	2260	2311	2253	1.50	1.53	1.51	
Interferenz	2062	2117	2052	1.51	1.53	1.50	
Interferenz	1866	1928	1866	1.52	1.55	1.57	
Interferenz	1694	1748	1695	1.65	1.60	1.65	
Interferenz	1515	1557	1515	1.61	1.54	1.60	
Interferenz	1397	1423	1395	2.16	1.96	2.13	
v(AIO), δ(AIOH)	1284	1302	1280				
v(AIO), δ(AIOH)	996	1000	992	\bar{n}	1.56	1.55	1.56

Tabelle 11-60: Bandenzuordnung und Brechungsindexverlauf der 30°-Spektren der Probe Color-12.

Bandenzuordnung	Bandenlage / cm ⁻¹			<i>n</i>			
	30	30p	30s	30	30p	30s	
v(OH)	3460	3306	3468				
Interferenz	2505	2351	2517				
Interferenz	2350	2198	2352	1.43	1.45	1.36	
Interferenz	2193	2041	2203	1.42	1.42	1.48	
Interferenz	2038	1888	2048	1.43	1.45	1.43	
Interferenz	1886	1732	1894	1.46	1.43	1.44	
Interferenz	1737	1615	1747	1.48	1.85	1.50	
Interferenz	1599	1471	1606	1.59	1.53	1.56	
Interferenz	1468		1471	1.67		1.62	
v(AlO), δ(AlOH)	1264	1267	1271				
v(AlO), δ(AlOH)	984		986	\bar{n}	1.50	1.52	1.49

Tabelle 11-61: Bandenzuordnung und Brechungsindexverlauf der 80°-Spektren der Probe Color-12.

Bandenzuordnung	Bandenlage / cm ⁻¹			<i>n</i>			
	80	80p	80s	80	80p	80s	
v(OH)		3777	3777				
v(OH)		3626	3617				
Interferenz	3107	3120	3110				
Interferenz	2910	2945	2905	1.45	1.55	1.42	
Interferenz	2720	2744	2717	1.47	1.43	1.48	
Interferenz	2532	2558	2528	1.48	1.49	1.48	
Interferenz	2350	2374	2336	1.51	1.50	1.47	
Interferenz	2150	2185	2146	1.43	1.48	1.47	
Interferenz	1965	2006	1963	1.50	1.52	1.51	
Interferenz	1789	1835	1790	1.54	1.57	1.56	
Interferenz	1621	1673	1622	1.58	1.62	1.58	
Interferenz	1480	1525	1481	1.78	1.72	1.78	
Interferenz	1385	1408	1386	2.40	2.03	2.40	
v(AlO), δ(AlOH)	1283	1290	1280				
v(AlO), δ(AlOH)	1002	1005	999	\bar{n}	1.53	1.54	1.53

11.2.3 Ellipsometriespektren: Bandenzuordnung und Brechungsindexverlauf

Die kursiv gedruckten Werte wurden bei der Mittelwertberechnung nicht berücksichtigt.

Tabelle 11-62: Bandenzuordnung und Brechungsindexverlauf der $\tan\Psi$ - und Δ -Spektren der Probe Dün-1.

Bandenzuordnung	Bandenlage / cm^{-1}		n	
	$\tan\Psi$	Δ	$\tan\Psi$	Δ
Interferenz	2846	3042		
Interferenz	2135	2339	1.38	1.38
Interferenz	1505	1774	1.47	1.58
Interferenz		1426		
$\nu(\text{AlO})$, $\delta(\text{AlOH})$	1182	1264		
$\nu(\text{AlO})$, $\delta(\text{AlOH})$	994	1026	\bar{n}	1.42

Tabelle 11-63: Bandenzuordnung und Brechungsindexverlauf der $\tan\Psi$ - und Δ -Spektren der Probe GS-1.

Bandenzuordnung	Bandenlage / cm^{-1}		n	
	$\tan\Psi$	Δ	$\tan\Psi$	Δ
Interferenz	2779	2833		
Interferenz	2549	2601	1.48	1.47
Interferenz	2312	2363	1.46	1.45
Interferenz	2080	2133	1.47	1.48
Interferenz	1860	1912	1.52	1.51
Interferenz	1657	1709	1.60	1.60
Interferenz	1470	1517	1.69	1.66
Interferenz	1354	1386	2.45	2.22
$\nu(\text{AlO})$, $\delta(\text{AlOH})$	1207	1262		
$\nu(\text{AlO})$, $\delta(\text{AlOH})$	944	1036	\bar{n}	1.54

Tabelle 11-64: Bandenzuordnung und Brechungsindexverlauf der $\tan\Psi$ - und Δ -Spektren der Probe GS-2.

Bandenzuordnung	Bandenlage / cm^{-1}		n	
	$\tan\Psi$	Δ	$\tan\Psi$	Δ
Interferenz	2399	2451		
Interferenz	2187	2237	1.56	1.55
Interferenz	1972	2024	1.54	1.55
Interferenz	1775	1823	1.63	1.61
Interferenz	1569	1615	1.59	1.58
Interferenz	1423	1458	2.03	1.92
Interferenz	1303	1340	2.39	2.41
$\nu(\text{AlO})$, $\delta(\text{AlOH})$	1182	1244		
$\nu(\text{AlO})$, $\delta(\text{AlOH})$	960	1018	\bar{n}	1.58

Tabelle 11-65: Bandenzuordnung und Brechungsindexverlauf der $\tan\Psi$ - und Δ -Spektren der Probe GS-3.

Bandenzuordnung	Bandenlage / cm^{-1}		n	
	$\tan\Psi$	Δ	$\tan\Psi$	Δ
Interferenz	2222	2273		
Interferenz	2001	2052	1.51	1.52
Interferenz	1797	1846	1.60	1.58
Interferenz	1588	1660	1.57	1.70
Interferenz	1432	1471	1.93	1.69
Interferenz	1309	1351	2.34	2.38
$\nu(\text{AlO})$, $\delta(\text{AlOH})$	1181	1244		
$\nu(\text{AlO})$, $\delta(\text{AlOH})$	959	1018	\bar{n}	1.55

Tabelle 11-66: Bandenzuordnung und Brechungsindexverlauf der $\tan\Psi$ - und Δ -Spektren der Probe GS-4.

Bandenzuordnung	Bandenlage / cm^{-1}		n	
	$\tan\Psi$	Δ	$\tan\Psi$	Δ
Interferenz	2505	2556		
Interferenz	2279	2327	1.49	1.48
Interferenz	2050	2105	1.48	1.51
Interferenz	1834	1886	1.54	1.52
Interferenz	1620	1692	1.55	1.65
Interferenz	1451	1492	1.82	1.62
Interferenz	1324	1368	2.27	2.32
$\nu(\text{AlO})$, $\delta(\text{AlOH})$	1171	1250		
$\nu(\text{AlO})$, $\delta(\text{AlOH})$	963	1035	\bar{n}	1.58

Tabelle 11-67: Bandenzuordnung und Brechungsindexverlauf der $\tan\Psi$ - und Δ -Spektren der Probe GS-5.

Bandenzuordnung	Bandenlage / cm^{-1}		n	
	$\tan\Psi$	Δ	$\tan\Psi$	Δ
Interferenz	2574	2627		
Interferenz	2363	2411	1.56	1.54
Interferenz	2153	2204	1.56	1.58
Interferenz	1942	1993	1.56	1.56
Interferenz	1752	1798	1.67	1.65
Interferenz	1552	1595	1.62	1.60
Interferenz	1410	1445	2.08	1.99
$\nu(\text{AlO})$, $\delta(\text{AlOH})$	1291	1322		
$\nu(\text{AlO})$, $\delta(\text{AlOH})$	1171	1024		
$\nu(\text{AlO})$, $\delta(\text{AlOH})$	962	483	\bar{n}	1.60

Tabelle 11-68: Bandenzuordnung und Brechungsindexverlauf der $\tan\Psi$ - und Δ -Spektren der Probe Weiß-1.

Bandenzuordnung	Bandenlage / cm^{-1}		n	
	$\tan\Psi$	Δ	$\tan\Psi$	Δ
Interferenz	3813	3604		
Interferenz	3711	3490	1.57	1.46
Interferenz	3471	3358	1.08	1.36
Interferenz	3342	3236	1.36	1.41
Interferenz	3225	3114	1.45	1.41
Interferenz	3113	2993	1.48	1.42
Interferenz	3003	2875	1.50	1.43
Interferenz	2892	2762	1.49	1.47
Interferenz	2782	2650	1.50	1.48
Interferenz	2673	2538	1.50	1.48
Interferenz	2563	2425	1.50	1.47
Interferenz	2451	2314	1.48	1.49
Interferenz	2340	2206	1.49	1.52
Interferenz	2232	2101	1.51	1.54
Interferenz	2127	1997	1.53	1.54
Interferenz	2021	1893	1.54	1.55
Interferenz	1916	1794	1.54	1.60
Interferenz	1816	1686	1.59	1.51
Interferenz	1729	1639	1.74	2.91
Interferenz	1621	1525	1.52	1.46
Interferenz	1509	1427	1.48	1.61
Interferenz	1410	1363	1.59	2.23
Interferenz	1350			
$\nu(\text{AlO}), \delta(\text{AlOH})$	1275	1291		
$\nu(\text{AlO}), \delta(\text{AlOH})$	1022	1230		
$\nu(\text{AlO}), \delta(\text{AlOH})$	895		\bar{n}	1.50

Tabelle 11-69: Bandenzuordnung und Brechungsindexverlauf der $\tan\Psi$ - und Δ -Spektren der Probe Weiß-2.

Bandenzuordnung	Bandenlage / cm^{-1}		n	
	$\tan\Psi$	Δ	$\tan\Psi$	Δ
Interferenz	3908	3889		
Interferenz	3792	3766	1.49	1.45
Interferenz	3681	3632	1.54	1.38
Interferenz	3546	3534	1.38	1.66
Interferenz	3410	3418	1.37	1.50
Interferenz	3284	3292	1.43	1.43
Interferenz	3163	3165	1.46	1.42
Interferenz	3043	3039	1.47	1.42
Interferenz	2922	2919	1.46	1.47
Interferenz	2806	2790	1.50	1.41
Interferenz	2688	2670	1.48	1.47
Interferenz	2571	2551	1.49	1.47
Interferenz	2454	2433	1.49	1.48
Interferenz	2337	2316	1.49	1.49
Interferenz	2223	2201	1.51	1.50
Interferenz	2109	2087	1.52	1.52
Interferenz	1999	1976	1.54	1.54
Interferenz	1891	1870	1.57	1.58
Interferenz	1790	1772	1.64	1.66
Interferenz	1706	1726	1.85	3.10
Interferenz	1597	1625		
Interferenz	1410	1434		
Interferenz	1342	1358	2.20	2.01
$\nu(\text{AlO}), \delta(\text{AlOH})$	1272	1291		
$\nu(\text{AlO}), \delta(\text{AlOH})$	1209	1225		
$\nu(\text{AlO}), \delta(\text{AlOH})$	1152	1165		
$\nu(\text{AlO}), \delta(\text{AlOH})$	1102	1114		
$\nu(\text{AlO}), \delta(\text{AlOH})$	987	1074		
			\bar{n}	
			1.51	1.50

Tabelle 11-70: Bandenzuordnung und Brechungsindexverlauf der $\tan\Psi$ - und Δ -Spektren der Probe Weiß-3.

Bandenzuordnung	Bandenlage / cm^{-1}		n	
	$\tan\Psi$	Δ	$\tan\Psi$	Δ
Interferenz	3912	3937		
Interferenz	3831	3850	1.83	1.75
Interferenz	3759	3771	2.02	1.88
Interferenz	3706	3709	2.61	2.27
Interferenz	3652	3661	2.54	2.80
Interferenz	2793	3008		
Interferenz	2705	2895	1.73	1.48
Interferenz	2618	2809	1.76	1.76
Interferenz	2532	2722	1.76	1.75
Interferenz	2445	2637	1.74	1.77
Interferenz	2354	2552	1.70	1.78
Interferenz	2262	2465	1.68	1.76
Interferenz	2168	2375	1.66	1.71
Interferenz	2071	2284	1.62	1.69
Interferenz	1978	2191	1.67	1.67
Interferenz	1891	2094	1.75	1.62
Interferenz	1809	2000	1.83	1.65
Interferenz	1738	1912	2.03	1.74
Interferenz	1651	1830	1.75	1.82
Interferenz	1541	1754	1.49	1.93
Interferenz	1429	1676	1.48	1.90
Interferenz	1348	1565	1.84	1.48
Interferenz		1452		1.47
Interferenz		1362		1.71
$\nu(\text{AlO}), \delta(\text{AlOH})$	1295	1309		
$\nu(\text{AlO}), \delta(\text{AlOH})$	1244	1257		
$\nu(\text{AlO}), \delta(\text{AlOH})$	1194	1210		
$\nu(\text{AlO}), \delta(\text{AlOH})$	1103	1018		
$\nu(\text{AlO}), \delta(\text{AlOH})$	851		\bar{n}	1.71
				1.70

Tabelle 11-71: Bandenzuordnung und Brechungsindexverlauf der $\tan\Psi$ - und Δ -Spektren der Probe Color-A.

Bandenzuordnung	Bandenlage / cm^{-1}		n	
	$\tan\Psi$	Δ	$\tan\Psi$	Δ
Interferenz	3742	3768		
Interferenz	2777	3654	0.99	2.74
Interferenz	2557	2829	1.64	1.01
Interferenz	2326	2609	1.58	1.63
Interferenz	2090	2381	1.56	1.60
Interferenz	1864	2151	1.61	1.58
Interferenz	1669	1925	1.78	1.61
Interferenz	1463	1726	1.71	1.75
Interferenz	1335	1517	2.48	1.69
Interferenz		1380		2.35
$\nu(\text{AlO}), \delta(\text{AlOH})$	1195	1260		
$\nu(\text{AlO}), \delta(\text{AlOH})$	967	1047		
$\nu(\text{AlO}), \delta(\text{AlOH})$		1015		
			\bar{n}	1.65
				1.64

Tabelle 11-72: Bandenzuordnung und Brechungsindexverlauf der $\tan\Psi$ - und Δ -Spektren der Probe Color-B.

Bandenzuordnung	Bandenlage / cm^{-1}		n	
	$\tan\Psi$	Δ	$\tan\Psi$	Δ
Interferenz	2669	2709		
Interferenz	2536	2572	1.68	1.64
Interferenz	2396	2434	1.62	1.63
Interferenz	2256	2292	1.62	1.61
Interferenz	2115	2152	1.61	1.62
Interferenz	1976	2011	1.63	1.62
Interferenz	1845	1878	1.69	1.68
Interferenz	1725	1753	1.81	1.76
Interferenz	1583	1617	1.61	1.65
Interferenz	1480	1506	2.01	1.92
Interferenz	1398	1414	2.47	2.22
$\nu(\text{AlO}), \delta(\text{AlOH})$	1301	1332		
$\nu(\text{AlO}), \delta(\text{AlOH})$	1257	1099		
$\nu(\text{AlO}), \delta(\text{AlOH})$	1040	1056		
$\nu(\text{AlO}), \delta(\text{AlOH})$	971	1017		
			\bar{n}	1.66
				1.65

Tabelle 11-73: Bandenzuordnung und Brechungsindexverlauf der $\tan\Psi$ - und Δ -Spektren der Probe Color-C.

Bandenzuordnung	Bandenlage / cm^{-1}		n	
	$\tan\Psi$	Δ	$\tan\Psi$	Δ
Interferenz	3830	3865		
Interferenz	3687	3700	1.69	1.53
Interferenz	3214	3535	1.03	1.53
Interferenz	3022	3270	1.40	1.20
Interferenz	2844	3071	1.47	1.38
Interferenz	2680	2891	1.54	1.46
Interferenz	2510	2716	1.51	1.48
Interferenz	2337	2544	1.49	1.49
Interferenz	2165	2370	1.50	1.48
Interferenz	1997	2200	1.51	1.51
Interferenz	1835	2034	1.55	1.52
Interferenz	1683	1867	1.62	1.52
Interferenz	1531	1713	1.62	1.60
Interferenz	1418	1562	2.01	1.63
Interferenz	1306	1439	2.02	1.88
Interferenz		1347		2.36
$\nu(\text{AlO}), \delta(\text{AlOH})$	1211			
$\nu(\text{AlO}), \delta(\text{AlOH})$	965	1025	\bar{n}	1.53
				1.52

Tabelle 11-74: Bandenzuordnung und Brechungsindexverlauf der $\tan\Psi$ - und Δ -Spektren der Probe Color-D.

Bandenzuordnung	Bandenlage / cm^{-1}		n	
	$\tan\Psi$	Δ	$\tan\Psi$	Δ
Interferenz	3846	3676		
Interferenz	3155	2990	0.99	0.99
Interferenz	2946	2794	1.40	1.45
Interferenz	2750	2599	1.46	1.46
Interferenz	2560	2404	1.48	1.46
Interferenz	2365	2212	1.46	1.47
Interferenz	2174	2026	1.48	1.50
Interferenz	1988	1852	1.50	1.57
Interferenz	1810	1686	1.54	1.61
Interferenz	1635	1521	1.56	1.62
Interferenz	1486	1397	1.73	1.99
Interferenz	1381		2.28	
$\nu(\text{AlO}), \delta(\text{AlOH})$	1258	1286		
$\nu(\text{AlO}), \delta(\text{AlOH})$	940	1036	\bar{n}	1.51
				1.52

Tabelle 11-75: Bandenzuordnung und Brechungsindexverlauf der $\tan\Psi$ - und Δ -Spektren der Probe Color-E.

Bandenzuordnung	Bandenlage / cm^{-1}		n	
	$\tan\Psi$	Δ	$\tan\Psi$	Δ
Interferenz	2371	3681		
Interferenz	2254	2517	1.56	0.95
Interferenz	2140	2404	1.60	1.60
Interferenz	2024	2289	1.58	1.58
Interferenz	1915	2175	1.64	1.59
Interferenz	1810	2059	1.69	1.58
Interferenz	1716	1947	1.82	1.62
Interferenz	1598	1840	1.56	1.66
Interferenz	1507	1740	1.88	1.74
Interferenz	1430	1627	2.13	1.61
Interferenz	1373	1530	2.73	1.79
Interferenz		1449		2.04
Interferenz		1388		2.61
$\nu(\text{AlO}), \delta(\text{AlOH})$	1258	1102		
$\nu(\text{AlO}), \delta(\text{AlOH})$	1041	1055		
$\nu(\text{AlO}), \delta(\text{AlOH})$	969	1016		
			\bar{n}	1.64
				1.64

Tabelle 11-76: Bandenzuordnung und Brechungsindexverlauf der $\tan\Psi$ - und Δ -Spektren der Probe Color-0.

Bandenzuordnung	Bandenlage / cm^{-1}		n	
	$\tan\Psi$	Δ	$\tan\Psi$	Δ
Interferenz	3837	3864		
Interferenz	3702	3706	1.71	1.54
Interferenz	3527	3559	1.45	1.61
Interferenz	3295	3339	1.25	1.29
Interferenz	3114	3154	1.42	1.40
Interferenz	2951	2990	1.51	1.50
Interferenz	2792	2827	1.53	1.51
Interferenz	2635	2670	1.55	1.54
Interferenz	2477	2515	1.54	1.55
Interferenz	2318	2359	1.53	1.56
Interferenz	2161	2212	1.54	1.61
Interferenz	2006	2057	1.56	1.56
Interferenz	1858	1906		1.58
Interferenz	1719	1763		
Interferenz	1575	1625		
Interferenz	1463	1497		
Interferenz	1384	1401		
$\nu(\text{AlO}), \delta(\text{AlOH})$	1278	1302		
$\nu(\text{AlO}), \delta(\text{AlOH})$	941	1022		
			\bar{n}	1.54
				1.55

Tabelle 11-77: Bandenzuordnung und Brechungsindexverlauf der $\tan\Psi$ - und Δ -Spektren der Probe Color-1.

Bandenzuordnung	Bandenlage / cm^{-1}		n	
	$\tan\Psi$	Δ	$\tan\Psi$	Δ
Interferenz	3766	3793		
Interferenz	3598	3615	1.76	1.69
Interferenz	3228	3289	1.16	1.21
Interferenz	2998	3050	1.44	1.41
Interferenz	2787	2833	1.51	1.49
Interferenz	2581	2624	1.54	1.52
Interferenz	2367	2417	1.50	1.53
Interferenz	2156	2214	1.51	1.55
Interferenz	1949	2006	1.53	1.52
Interferenz	1754	1809	1.59	1.58
Interferenz	1565	1624	1.62	1.65
Interferenz	1420	1458	1.97	1.78
$\nu(\text{AlO}), \delta(\text{AlOH})$	1296	1328		
$\nu(\text{AlO}), \delta(\text{AlOH})$	968	1020		
			\bar{n}	1.54
				1.55

Tabelle 11-78: Bandenzuordnung und Brechungsindexverlauf der $\tan\Psi$ - und Δ -Spektren der Probe Color-2.

Bandenzuordnung	Bandenlage / cm^{-1}		n	
	$\tan\Psi$	Δ	$\tan\Psi$	Δ
Interferenz	3790	3793		
Interferenz	3191	3622	1.00	1.50
Interferenz	3018	3488	1.49	1.76
Interferenz	2853	3237	1.53	1.23
Interferenz	2697	3058	1.59	1.46
Interferenz	2538	2889	1.57	1.51
Interferenz	2374	2724	1.54	1.53
Interferenz	2212	2561	1.55	1.55
Interferenz	2052	2402	1.56	1.56
Interferenz	1898	2247	1.60	1.60
Interferenz	1751	2087	1.65	1.56
Interferenz	1603	1933	1.65	1.60
Interferenz	1481	1786	1.89	1.66
Interferenz	1392	1648	2.44	1.73
Interferenz		1513		1.75
Interferenz		1409		2.14
$\nu(\text{AlO}), \delta(\text{AlOH})$	1286	1309		
$\nu(\text{AlO}), \delta(\text{AlOH})$	967	1024		
			\bar{n}	1.60
				1.61

Tabelle 11-79: Bandenzuordnung und Brechungsindexverlauf der $\tan\Psi$ - und Δ -Spektren der Probe Color-3.

Bandenzuordnung	Bandenlage / cm^{-1}		n	
	$\tan\Psi$	Δ	$\tan\Psi$	Δ
Interferenz	3898	3921		
Interferenz	3749	3767	1.60	1.57
Interferenz	3127	3638	0.99	1.76
Interferenz	2961	3166	1.49	1.02
Interferenz	2805	3002	1.55	1.50
Interferenz	2652	2842	1.57	1.53
Interferenz	2496	2684	1.55	1.54
Interferenz	2336	2528	1.53	1.55
Interferenz	2178	2369	1.54	1.53
Interferenz	2022	2216	1.55	1.57
Interferenz	1872	2065	1.59	1.59
Interferenz	1730	1910	1.65	1.55
Interferenz	1584	1767	1.62	1.64
Interferenz	1467	1622	1.89	1.62
Interferenz	1384	1497	2.50	1.81
Interferenz		1403		2.26
$\nu(\text{AlO}), \delta(\text{AlOH})$	1276	1300		
$\nu(\text{AlO}), \delta(\text{AlOH})$	969	1023		
			\bar{n}	1.56

Tabelle 11-80: Bandenzuordnung und Brechungsindexverlauf der $\tan\Psi$ - und Δ -Spektren der Probe Color-3v.

Bandenzuordnung	Bandenlage / cm^{-1}		n	
	$\tan\Psi$	Δ	$\tan\Psi$	Δ
Interferenz	3910	3805		
Interferenz	3774	3689	1.70	1.91
Interferenz	3682	2959	2.27	0.98
Interferenz	2918	2808	0.97	1.58
Interferenz	2768	2659	1.59	1.60
Interferenz	2621	2510	1.61	1.59
Interferenz	2469	2354	1.58	1.55
Interferenz	2313	2201	1.55	1.57
Interferenz	2157	2047	1.55	1.56
Interferenz	2001	1906	1.55	1.66
Interferenz	1855	1763	1.61	1.65
Interferenz	1720	1601	1.71	1.51
Interferenz	1566	1394	1.56	1.32
Interferenz	1455		1.97	
Interferenz	1373		2.52	
Interferenz	1270	1295		
$\nu(\text{AlO}), \delta(\text{AlOH})$	1183	1019		
$\nu(\text{AlO}), \delta(\text{AlOH})$	962			
			\bar{n}	1.59

Tabelle 11-81: Bandenzuordnung und Brechungsindexverlauf der $\tan\Psi$ - und Δ -Spektren der Probe Color-4.

Bandenzuordnung	Bandenlage / cm^{-1}		n	
	$\tan\Psi$	Δ	$\tan\Psi$	Δ
Interferenz	3803	3656		
Interferenz	2963	3007	0.97	1.00
Interferenz	2780	2822	1.51	1.51
Interferenz	2603	2643	1.54	1.53
Interferenz	2421	2461	1.52	1.52
Interferenz	2239	2280	1.52	1.53
Interferenz	2061	2102	1.54	1.54
Interferenz	1889	1932	1.58	1.58
Interferenz	1728	1773	1.64	1.66
Interferenz	1567	1607	1.64	1.62
Interferenz	1442	1483	1.98	1.99
Interferenz	1355	1379	2.66	2.29
$\nu(\text{AlO})$, $\delta(\text{AlOH})$	1243	1277		
$\nu(\text{AlO})$, $\delta(\text{AlOH})$	944	1027		
			\bar{n}	1.56

Tabelle 11-82: Bandenzuordnung und Brechungsindexverlauf der $\tan\Psi$ - und Δ -Spektren der Probe Color-5.

Bandenzuordnung	Bandenlage / cm^{-1}		n	
	$\tan\Psi$	Δ	$\tan\Psi$	Δ
Interferenz	3875	3894		
Interferenz	3738	3744	1.69	1.59
Interferenz	3106	3629	0.99	1.92
Interferenz	2945	3143	1.52	1.02
Interferenz	2788	2981	1.54	1.51
Interferenz	2636	2823	1.58	1.54
Interferenz	2480	2668	1.55	1.55
Interferenz	2322	2512	1.53	1.55
Interferenz	2165	2355	1.55	1.55
Interferenz	2010	2202	1.56	1.57
Interferenz	1862	1902	1.60	1.14
Interferenz	1723	1759	1.67	1.64
Interferenz	1578	1615	1.62	1.63
Interferenz	1463	1498	1.92	1.89
Interferenz	1382		2.55	
$\nu(\text{AlO})$, $\delta(\text{AlOH})$	1275	1301		
$\nu(\text{AlO})$, $\delta(\text{AlOH})$	967	1024		
			\bar{n}	1.57

Tabelle 11-83: Bandenzuordnung und Brechungsindexverlauf der $\tan\Psi$ - und Δ -Spektren der Probe Color-6.

Bandenzuordnung	Bandenlage / cm^{-1}		n	
	$\tan\Psi$	Δ	$\tan\Psi$	Δ
Interferenz	3754	3788		
Interferenz	3107	3635	0.99	1.65
Interferenz	2921	3154	1.46	1.04
Interferenz	2743	2968	1.50	1.46
Interferenz	2569	2787	1.52	1.48
Interferenz	2388	2609	1.49	1.50
Interferenz	2211	2431	1.50	1.50
Interferenz	2036	2253	1.52	1.50
Interferenz	1868	2079	1.56	1.52
Interferenz	1711	1915	1.63	1.58
Interferenz	1554	1763	1.62	1.66
Interferenz	1433	1599	1.97	1.58
Interferenz	1341	1471	2.44	1.87
Interferenz		1372		2.32
$\nu(\text{AlO}), \delta(\text{AlOH})$	1212	1274		
$\nu(\text{AlO}), \delta(\text{AlOH})$	941	1028		
			\bar{n}	1.53

Tabelle 11-84: Bandenzuordnung und Brechungsindexverlauf der $\tan\Psi$ - und Δ -Spektren der Probe Color-6v.

Bandenzuordnung	Bandenlage / cm^{-1}		n	
	$\tan\Psi$	Δ	$\tan\Psi$	Δ
Interferenz	3823	3856		
Interferenz	2901	3707	0.97	1.74
Interferenz	2731	2948	1.59	0.98
Interferenz	2563	2770	1.60	1.54
Interferenz	2387	2603	1.55	1.60
Interferenz	2211	2429	1.55	1.56
Interferenz	2033	2254	1.54	1.56
Interferenz	1866	2078	1.60	1.55
Interferenz	1715	1911	1.72	1.60
Interferenz	1547	1758	1.60	1.70
Interferenz	1428	1585	2.06	1.57
Interferenz	1327	1465	2.34	2.04
Interferenz		1365		2.37
$\nu(\text{AlO}), \delta(\text{AlOH})$	1186	1271		
$\nu(\text{AlO}), \delta(\text{AlOH})$	962	1018		
			\bar{n}	1.59

Tabelle 11-85: Bandenzuordnung und Brechungsindexverlauf der $\tan\Psi$ - und Δ -Spektren der Probe Color-7.

Bandenzuordnung	Bandenlage / cm^{-1}		n		
	$\tan\Psi$	Δ	$\tan\Psi$	Δ	
Interferenz	3821	3851			
Interferenz	3695	3695	1.90	1.63	
Interferenz	2996	3582	0.99	2.06	
Interferenz	2823	3279	1.53	1.16	
Interferenz	2657	3043	1.57	1.29	
Interferenz	2489	2869	1.55	1.52	
Interferenz	2317	2699	1.53	1.54	
Interferenz	2147	2530	1.55	1.55	
Interferenz	1980	2359	1.56	1.54	
Interferenz	1821	2192	1.61	1.56	
Interferenz	1673	2034	1.69	1.62	
Interferenz	1524	1871	1.68	1.59	
Interferenz	1414	1721	2.12	1.68	
Interferenz	1307	1566	2.17	1.64	
Interferenz		1443		1.94	
$\nu(\text{AlO}), \delta(\text{AlOH})$	1207	1348			
$\nu(\text{AlO}), \delta(\text{AlOH})$	968	1025			
			\bar{n}	1.59	1.58

Tabelle 11-86: Bandenzuordnung und Brechungsindexverlauf der $\tan\Psi$ - und Δ -Spektren der Probe Color-8.

Bandenzuordnung	Bandenlage / cm^{-1}		n		
	$\tan\Psi$	Δ	$\tan\Psi$	Δ	
Interferenz	3871	3898			
Interferenz	3718	3730	1.70	1.60	
Interferenz	3247	3581	1.05	1.73	
Interferenz	3050	3302	1.45	1.22	
Interferenz	2874	3100	1.55	1.43	
Interferenz	2704	2918	1.59	1.52	
Interferenz	2533	2743	1.58	1.56	
Interferenz	2357	2571	1.55	1.58	
Interferenz	2183	2398	1.57	1.57	
Interferenz	2012	2234	1.58	1.63	
Interferenz	1848	2060	1.62	1.56	
Interferenz	1694	1894	1.70	1.61	
Interferenz	1542	1736	1.71	1.66	
Interferenz	1425	1582	2.08	1.69	
Interferenz		1455		1.96	
$\nu(\text{AlO}), \delta(\text{AlOH})$	1318	1361			
$\nu(\text{AlO}), \delta(\text{AlOH})$	1208	1271			
$\nu(\text{AlO}), \delta(\text{AlOH})$	944	1028			
			\bar{n}	1.60	1.60

Tabelle 11-87: Bandenzuordnung und Brechungsindexverlauf der $\tan\Psi$ - und Δ -Spektren der Probe Color-9.

Bandenzuordnung	Bandenlage / cm^{-1}		n		
	$\tan\Psi$	Δ	$\tan\Psi$	Δ	
Interferenz	3779	3814			
Interferenz	3085	3646	1.00	1.65	
Interferenz	2892	3132	1.51	1.04	
Interferenz	2707	2936	1.55	1.49	
Interferenz	2522	2748	1.55	1.53	
Interferenz	2332	2563	1.52	1.54	
Interferenz	2144	2374	1.53	1.53	
Interferenz	1961	2191	1.55	1.55	
Interferenz	1787	2019	1.61	1.62	
Interferenz	1613	1845	1.61	1.61	
Interferenz	1472	1680	1.86	1.66	
Interferenz	1376	1517	2.55	1.68	
Interferenz		1398		2.13	
$\nu(\text{AlO}), \delta(\text{AlOH})$	1259	1285			
$\nu(\text{AlO}), \delta(\text{AlOH})$	952	1025			
			\bar{n}	1.55	1.58

Tabelle 11-88: Bandenzuordnung und Brechungsindexverlauf der $\tan\Psi$ - und Δ -Spektren der Probe Color-9v.

Bandenzuordnung	Bandenlage / cm^{-1}		n		
	$\tan\Psi$	Δ	$\tan\Psi$	Δ	
Interferenz	3814	3838			
Interferenz	3703	3704	2.09	1.82	
Interferenz	2934	3611	0.98	2.43	
Interferenz	2769	2970	1.57	0.99	
Interferenz	2611	2806	1.62	1.58	
Interferenz	2448	2647	1.58	1.61	
Interferenz	2281	2486	1.56	1.60	
Interferenz	2114	2321	1.56	1.57	
Interferenz	1951	2157	1.58	1.58	
Interferenz	1798	1997	1.65	1.60	
Interferenz	1648	1849	1.68	1.70	
Interferenz	1504	1547	1.73	1.17	
Interferenz	1403		2.27		
$\nu(\text{AlO}), \delta(\text{AlOH})$	1298	1324			
$\nu(\text{AlO}), \delta(\text{AlOH})$	1186				
$\nu(\text{AlO}), \delta(\text{AlOH})$	962	1019			
			\bar{n}	1.62	1.61

Tabelle 11-89: Bandenzuordnung und Brechungsindexverlauf der $\tan\Psi$ - und Δ -Spektren der Probe Color-10.

Bandenzuordnung	Bandenlage / cm^{-1}		n	
	$\tan\Psi$	Δ	$\tan\Psi$	Δ
Interferenz	3773	3798		
Interferenz	3632	3636	1.81	1.64
Interferenz	3361	3394	1.24	1.30
Interferenz	3128	3172	1.32	1.36
Interferenz	2944	2984	1.51	1.49
Interferenz	2766	2802	1.54	1.52
Interferenz	2590	2624	1.56	1.54
Interferenz	2410	2446	1.53	1.54
Interferenz	2231	2277	1.54	1.59
Interferenz	2054	2099	1.55	1.54
Interferenz	1883	1925	1.58	1.56
Interferenz	1723	1763	1.65	1.64
Interferenz	1564	1605	1.66	1.67
Interferenz	1439	1466	1.97	1.82
Interferenz	1345	1372	2.49	2.50
$\nu(\text{AlO}), \delta(\text{AlOH})$	1214	1274		
$\nu(\text{AlO}), \delta(\text{AlOH})$	940	1032		
			\bar{n}	1.57

Tabelle 11-90: Bandenzuordnung und Brechungsindexverlauf der $\tan\Psi$ - und Δ -Spektren der Probe Color-11.

Bandenzuordnung	Bandenlage / cm^{-1}		n	
	$\tan\Psi$	Δ	$\tan\Psi$	Δ
Interferenz	3921	3784		
Interferenz	3754	3662	1.65	2.09
Interferenz	3639	3187	2.19	1.05
Interferenz	2941	2992	0.99	1.50
Interferenz	2754	2798	1.53	1.50
Interferenz	2572	2617	1.56	1.57
Interferenz	2380	2430	1.51	1.54
Interferenz	2189	2244	1.51	1.54
Interferenz	1997	2061	1.51	1.56
Interferenz	1817	1880	1.58	1.56
Interferenz	1637	1706	1.57	1.61
Interferenz	1482	1528	1.74	1.59
Interferenz	1373	1398	2.29	1.98
$\nu(\text{AlO}), \delta(\text{AlOH})$	1258	1281		
$\nu(\text{AlO}), \delta(\text{AlOH})$	1040	1055		
$\nu(\text{AlO}), \delta(\text{AlOH})$	970	1018		
			\bar{n}	1.57

Tabelle 11-91: Bandenzuordnung und Brechungsindexverlauf der $\tan\Psi$ - und Δ -Spektren der Probe Color-12.

Bandenzuordnung	Bandenlage / cm^{-1}		n	
	$\tan\Psi$	Δ	$\tan\Psi$	Δ
Interferenz	3815	3841		
Interferenz	3672	3663	1.73	1.50
Interferenz	3173	3483	1.03	1.49
Interferenz	2982	3221	1.44	1.23
Interferenz	2798	3026	1.48	1.42
Interferenz	2620	2837	1.50	1.45
Interferenz	2438	2656	1.48	1.48
Interferenz	2256	2475	1.48	1.49
Interferenz	2077	2297	1.49	1.50
Interferenz	1903	2125	1.52	1.53
Interferenz	1739	1952	1.58	1.53
Interferenz	1577	1782	1.59	1.54
Interferenz	1448	1624	1.86	1.62
Interferenz	1360	1482	2.55	1.74
Interferenz		1382		2.29
$\nu(\text{AlO}), \delta(\text{AlOH})$	1235	1277		
$\nu(\text{AlO}), \delta(\text{AlOH})$	939	1025		
			\bar{n}	1.51
				1.52

11.3.4 Modelle

Tabelle 11-92: Schichtparameter der Probenmodelle. Dün-1, GS- 1 bis 5 und Weiß-1 bis 3.

Probe	1			2			3			4			5		
	n	k	$\Delta_{IF} / \text{cm}^{-1}$	n	k	$\Delta_{IF} / \text{cm}^{-1}$	n	k	$\Delta_{IF} / \text{cm}^{-1}$	n	k	$\Delta_{IF} / \text{cm}^{-1}$	n	k	$\Delta_{IF} / \text{cm}^{-1}$
Dün-1	1.51	0,046	605	1.49	0,077	615	1.46	0,077	640	1.40	0,1	690			
		1400-1900 cm^{-1}			1901-2600 cm^{-1}			2601-3350 cm^{-1}			3351-5000 cm^{-1}				
GS-1	1.59	0,045	205	1.52	0,04-0,054	220	1.51	0,054-0,071	222	1.51	0,07	222	1.51	0,071	222
		1300-1500 cm^{-1}			1501-2350 cm^{-1}			2351-3250 cm^{-1}			3251-3650 cm^{-1}			3651-5000 cm^{-1}	
GS-2	1.67	0,058	190	1.57	0,065-0,085	209	1.57	0,09	209	1.57	0,085	209			
		1400-1500 cm^{-1}			1501-3000 cm^{-1}			3001-3651 cm^{-1}			3651-5000 cm^{-1}				
GS-3	1.80	0,06	140	1.56	0,058-0,08	212	1.56	0,09	212	1.56	0,085	212			
		1400-1500 cm^{-1}			1501-3000 cm^{-1}			3001-3651 cm^{-1}			3651-5000 cm^{-1}				
GS-4	2.10	0,06	140	1.53	0,054-0,08	217,5	1.53	0,09	217,5	1.53	0,085	217,5			
		1400-1500 cm^{-1}			1501-3000 cm^{-1}			3001-3651 cm^{-1}			3651-5000 cm^{-1}				
GS-5	2.00	0,063	149	1.59	0,056-0,08	206	1.59	0,095	206	1.59	0,085	206			
		1400-1500 cm^{-1}			1501-3000 cm^{-1}			3001-3651 cm^{-1}			3651-5000 cm^{-1}				
Weiß 1	1.68	0,03	97	1.62	0,021	102	1.68	0,022-0,024	97	1.56	0,022-0,025	108	1.56	0,025	108
		1300-1730 cm^{-1}			1731-2050 cm^{-1}			2051-2500 cm^{-1}			2501-3700 cm^{-1}			3701-5000 cm^{-1}	
Weiß 2	2.73	0,071	50	2.73	0,09	50	1.57	0,01	101,5	1.52	0,014-0,019	107	1.58	0,02-0,023	100
		1150-1400 cm^{-1}			1401-1650 cm^{-1}			1651-1950 cm^{-1}			1951-3500			3501-5000 cm^{-1}	
Weiß 3	2.44	0,07	60	2.44	0,095	60	1.69	0,023	96	1.69	0,043	96	1.77	0,077-0,01	
		1200-1400 cm^{-1}			1401-1720 cm^{-1}			1721-2800 cm^{-1}			2801-3700 cm^{-1}			3701-5000 cm^{-1}	

Tabelle 11-92: Fortsetzung: Schichtparameter der Probenmodelle. Spectrocolorproben I.

Probe	1			2			3			4			5		
	n	k	$\Delta_{IF} / \text{cm}^{-1}$	n	k	$\Delta_{IF} / \text{cm}^{-1}$	n	k	$\Delta_{IF} / \text{cm}^{-1}$	n	k	$\Delta_{IF} / \text{cm}^{-1}$	n	k	$\Delta_{IF} / \text{cm}^{-1}$
Color A	1.62	0,047	222	1.62	0,046-0,058	222	1.62	0,065-0,08	222	1.62	0,085	223	1.67	0,055	213
		1400-1450 cm^{-1}			1451-2880 cm^{-1}			2881-3200 cm^{-1}			3201-3660 cm^{-1}			3661-5000 cm^{-1}	
Color B	1.65	0,044	137	1.65	0,044-0,046	137	1.65	0,045-0,06	137	1.65	0,06	137	1.65	0,06	137
		1400-1450 cm^{-1}			1451-2000 cm^{-1}			2001-3000 cm^{-1}			3001-3700 cm^{-1}			3701-5000 cm^{-1}	
Color C	1.57	0,019	159	1.55	0,024-0,032	161,5	1.54	0,032-0,04	163,5	1.53	0,045	166	1.55	0,03	163
		1400-2280 cm^{-1}			2281-2850 cm^{-1}			2851-3200 cm^{-1}			3201-3660 cm^{-1}			3661-5000 cm^{-1}	
Color D	1.49	0,0245	189	1.49	0,021-0,041	188,5	1.48	0,043-0,05	190	1.48	0,055	190	1.45	0,045	196
		1400-1705 cm^{-1}			1706-2880 cm^{-1}			2881-3250 cm^{-1}			3251-3660 cm^{-1}			3661-5000 cm^{-1}	
Color E	1.63	0,04	110	1.63	0,041-0,044	110	1.63	0,043-0,06	110,5	1.63	0,045	110	1.63	0,06	110
		1400-1450 cm^{-1}			1451-2100 cm^{-1}			2101-3000 cm^{-1}			3001-3750 cm^{-1}			3751-5000 cm^{-1}	

Tabelle 11-92: Fortsetzung: Schichtparameter der Probenmodelle. Spectrocolorproben II.

Probe	1			2			3			4			5		
	n	k	$\Delta_{IF} / \text{cm}^{-1}$	n	k	$\Delta_{IF} / \text{cm}^{-1}$	n	k	$\Delta_{IF} / \text{cm}^{-1}$	n	k	$\Delta_{IF} / \text{cm}^{-1}$	n	k	$\Delta_{IF} / \text{cm}^{-1}$
Color 0	1.60	0,017	148,5	1.59	0,017-0,027	150	1.58	0,029-0,034	151,5	1.58	0,038	152	1.59	0,027	150,5
		1400-2260 cm^{-1}			2261-2880 cm^{-1}			2881-3250 cm^{-1}			3251-3600 cm^{-1}			3601-5000 cm^{-1}	
Color 1	1.54	0,021	205	1.54	0,025-0,033	205	1.53	0,035-0,04	207	1.53	0,042	207	1.55	0,037	204
		1400-2260 cm^{-1}			2261-2880 cm^{-1}			2881-3250 cm^{-1}			3251-3600 cm^{-1}			3601-5000 cm^{-1}	
Color 2	1.62	0,018	152	1.60	0,02-0,032	154	1.60	0,032-0,037	155	1.60	0,055	154	1.60	0,03	154
		1400-2310 cm^{-1}			2311-2960 cm^{-1}			2961-3250 cm^{-1}			3251-3650 cm^{-1}			3651-5000 cm^{-1}	
Color 3	1.59	0,018	150	1.58	0,02-0,03	151	1.58	0,032-0,04	152	1.58	0,05	152	1.58	0,03	152,5
		1400-2150 cm^{-1}			2251-2880 cm^{-1}			2881-3250 cm^{-1}			3251-3650 cm^{-1}			3651-5000 cm^{-1}	
Color 3v	1.60	0,02	148,5	1.59	0,022-0,032	150	1.59	0,036	150	1.58	0,06	152	1.56	0,026	154
		1400-2260 cm^{-1}			2261-2880 cm^{-1}			2881-3250 cm^{-1}			3251-3660 cm^{-1}			3661-5000 cm^{-1}	
Color 4	1.62	0,031	164	1.60	0,025-0,044	167,5	1.58	0,044-0,06	170,5	1.61	0,06	170	1.59	0,044	169
		1400-2150 cm^{-1}			2151-2910 cm^{-1}			2911-3250 cm^{-1}			3251-3750 cm^{-1}			3751-5000 cm^{-1}	

Tabelle 11-92: Fortsetzung: Schichtparameter der Probenmodelle. Spectrocolorproben II.

Probe	1			2			3			4			5		
	n	k	$\Delta_{IF} / \text{cm}^{-1}$	n	k	$\Delta_{IF} / \text{cm}^{-1}$	n	k	$\Delta_{IF} / \text{cm}^{-1}$	n	k	$\Delta_{IF} / \text{cm}^{-1}$	n	k	$\Delta_{IF} / \text{cm}^{-1}$
Color 5	1.53	0,018	160	1.53	0,021-0,03	159	1.53	0,033-0,042	160	1.53	0,05	160	1.54	0,03	157,5
		1400-2260 cm^{-1}			2261-2880 cm^{-1}			2881-3250 cm^{-1}			3251-3650 cm^{-1}			3651-5000 cm^{-1}	
Color 6	1.59	0,022-0,03	162	1.57	0,03-0,04	165,5	1.56	0,04-0,045	168	1.57	0,055	165	1.56	0,04	167
		1400-2260 cm^{-1}			2261-2880 cm^{-1}			2881-3250 cm^{-1}			3251-3650 cm^{-1}			3651-5000 cm^{-1}	
Color 6v	1.59	0,024-0,035	162	1.57	0,035	165	1.57	0,047	166	1.57	0,06	166	1.55	0,042	169,5
		1400-2150 cm^{-1}			2151-2880 cm^{-1}			2881-3000 cm^{-1}			3001-3650 cm^{-1}			3651-5000 cm^{-1}	
Color 7	1.62	0,022	157,5	1.60	0,022-0,037	160,5	1.59	0,04-0,05	163	1.59	0,055	163	1.59	0,034	162,5
		1400-2150 cm^{-1}			2151-2880 cm^{-1}			2881-3280 cm^{-1}			3281-3650 cm^{-1}			3651-5000 cm^{-1}	
Color 8	1.65	0,022	160	1.63	0,022-0,034	163,5	1.63	0,035-0,042	164,5	1.60	0,05	167,5	1.62	0,032	164,5
		1400-2260 cm^{-1}			2261-2880 cm^{-1}			2881-3220 cm^{-1}			3221-3660 cm^{-1}			3661-5000 cm^{-1}	
Color 9	1.63	0,025	170	1.62	0,025-0,04	173	1.60	0,04-0,05	176	1.58	0,065	179	1.60	0,038	175
		1400-2260 cm^{-1}			2261-2850 cm^{-1}			2851-3250 cm^{-1}			3251-3660 cm^{-1}			3661-5000 cm^{-1}	
Color 9v	1.63	0,022-0,024	156	1.62	0,027-0,035	158	1.61	0,04-0,06	159	1.61	0,06	159	1.64	0,03	155,5
		1400-2250 cm^{-1}			2251-2880 cm^{-1}			2881-3200 cm^{-1}			3201-3660 cm^{-1}			3661-5000 cm^{-1}	
Color 10	1.63	0,021	163	1.61	0,021-0,032	166,5	1.60	0,035-0,042	168	1.62	0,047	164	1.60	0,032	167,5
		1400-2300 cm^{-1}			2301-2880 cm^{-1}			2881-3250 cm^{-1}			3251-3660 cm^{-1}			3661-5000 cm^{-1}	
Color 11	1.62	0,024	173	1.59	0,024-0,034	177	1.59	0,039-0,045	178	1.58	0,065	179	1.61	0,03	174
		1400-2150 cm^{-1}			2151-2850 cm^{-1}			2851-3050 cm^{-1}			3051-3660 cm^{-1}			3661-5000 cm^{-1}	
Color 12	1.57	0,019	165	1.56	0,022-0,032	168	1.54	0,037-0,043	171	1.56	0,045	167	1.55	0,034	169
		1400-2200 cm^{-1}			2201-2880 cm^{-1}			2881-3300 cm^{-1}			3001-3660 cm^{-1}			3661-5000 cm^{-1}	